



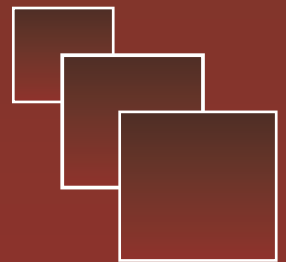
Вестник

Уральского
государственного
университета
путей сообщения

Научный журнал

Herald
of the Ural State University
of Railway Transport

Scientific journal



Научный журнал
«Вестник Уральского государственного
университета путей сообщения»
№ 4 (12), 2011 год

**Главный редактор,
научный редактор**
Василий Михайлович Сай

Литературный и выпускающий редактор
Людмила Станиславовна Барышниковна

Техническое редактирование и верстка
Андрей Викторович Трубин

Дизайн обложки
Ольга Петровна Игнатьева

Переводчики
Елена Владимировна Ершова
Анна Викторовна Бочкарева

Учредитель и издатель:
Уральский государственный
университет путей сообщения
(УрГУПС)

Адрес для корреспонденции:
620034, Екатеринбург,
ул. Колмогорова, 66, УрГУПС,
редакция журнала
«Вестник УрГУПС»

Телефон редакции: (342) 367-41-11.
Веб-сайт: www.vestnik.usurt.ru;
e-mail: vestnik@usurt.ru.

Журнал издается по решению
ученого совета университета
©УрГУПС

Свидетельство о регистрации
средства массовой информации
Роскомнадзора ПИ № ФС77–38188
от 30 ноября 2009 г.

Отпечатано в издательстве
Уральского государственного
университета путей сообщения,
620034, Екатеринбург,
ул. Колмогорова, 66.

Подписано в печать 31.10.2011.

Тираж 300. 1-й з-д.: 1–100.
Формат 70×100/16.
Заказ № 242.

Scientific journal «Herald of the
Ural State University
of Railway Transport»
№ 4 (12), 2011

**Editor-in-chief,
Science editor**
Vasily M. Say

Script and copy editor
Lyudmila S. Baryshnikova

Technical editing and make-up
Andrey V. Trubin

Cover design
Olga P. Ignatjeva

Translators:
Elena V. Ershova
Anna V. Bochkareva

Founder and publisher:
The Ural State University
of Railway Transport
(USURT)

Correspondence address:
«Herald of USURT» editorial office
The Ural State University of
Railway Transport»
66 Kolmogorov Street,
620034, Ekaterinburg,

Telephone: +7 (342) 367-41-11.
Web-site: www.vestnik.usurt.ru;
e-mail: vestnik@usurt.ru.

The journal is published by the decision of
University Academic Board
©USURT

Certificate of registration of mass media
by the Federal Service for Supervision
in the sphere of communications,
information technology and mass communications
(Roskomnadzor) PI № FS77–38188
of November 30, 2009.

Printed in the Publishing house
of the Ural State University of
Railway Transport
66 Kolmogorov Street,
620034, Ekaterinburg.

Passed for printing 31.10.2011.

Circulation 300. 1-й з-д.: 1–100.
Format 70×100/16.
Order № 242.

Международный редакционный совет

Кейт Бурнхам, профессор, Университет г. Ковентри, факультет машиностроения и вычислительной техники, Великобритания

Владимир Анциферов, д-р техн. наук, профессор академик РАН, Пермь, Россия

Петер Копачек, профессор, Венский технологический университет, Венский институт транспорта и робототехники, интеллектуальный транспорт и робототехника, Вена, Австрия

Владимир Цыганов, д-р техн. наук, профессор, Институт проблем управления Российской академии наук, Москва, Россия

Марек Ситаж, профессор, Силезский технический университет, транспортный факультет, кафедра «Железнодорожный транспорт», Польша

Клаус Беккер, профессор, Университет прикладных наук г. Кельна, Институт автомобильной техники, лаборатория NVH, Германия

Василий Сай, д-р техн. наук, профессор, Уральский государственный университет путей сообщения, Екатеринбург, Россия

Редколлегия

Вовк Алексей Александрович, д-р экон. наук, профессор, МГУПС, Москва

Воскресенская Тамара Петровна, д-р техн. наук, профессор, СибГИУ, Новокузнецк

Воробьев Александр Алексеевич, д-р техн. наук, профессор, МГУПС, Москва

Ефимов Александр Васильевич, канд. техн. наук, профессор, УрГУПС, Екатеринбург

Корнилов Сергей Николаевич, д-р техн. наук, профессор, МГТУ, Магнитогорск

Нестеров Валерий Леонидович, д-р техн. наук, профессор, УрГУПС, Екатеринбург

Сапожников Валерий Владимирович, д-р техн. наук, профессор, С.-ПГУПС, Санкт-Петербург

Черемисин Василий Титович, д-р техн. наук, профессор, ОмГУПС, Омск

Щурин Константин Владимирович, д-р техн. наук, профессор, ОГУ, Оренбург

Тимофеева Галина Адольфовна, д-р физ.-мат. наук, профессор, УрГУПС, Екатеринбург

International editorial board

Keith Burnham, professor, Coventry University, Faculty of Engineering and Computing, Great Britain

Vladimir Antsiferov, DSc, professor, academician of Russian Academy of Sciences, Perm, Russia

Peter Kopachek, professor, Vienna University of Technology, Vienna Institute of Transportation and Robotics, Intelligent Transportation and Robotics, Vienna, Austria

Vladimir Tsyganov, DSc, professor, Russian Academy of Sciences, Institute of Control Sciences, Moscow, Russia

Marek Sitarz, professor, Silesian University of Technology, Faculty of Transport, Railway Engineering Department, Poland

Klaus Becker, professor, Cologne University of Applied Science, Institute of Automotive Engineering, NVH Laboratory, Germany

Vasily Say, DSc, professor, The Ural State University of Railway Transport, Ekaterinburg, Russia

Editorial board

Vovk Alexei Aleksandrovich, DSc, professor, Moscow State University of Railway Transport, Moscow

Voskresenskaya Tamara Petrovna, DSc, professor, Siberian State Industrial University, Novokuznetsk

Vorobjev Alexander Alexeevich, DSc, professor, Moscow State University of Railway Transport, Moscow

Efimov Alexander Vasilievich, DSc, professor, The Ural State University of Railway Transport, Ekaterinburg

Kornilov Sergey Nikolaevich, DSc, professor, Magnitogorsk State Technical University, Magnitogorsk

Nesterov Valery Leonidovich, DSc, professor, The Ural State University of Railway Transport, Ekaterinburg

Sapozhnikov Valery Vladimirovich, DSc, professor, Saint-Petersburg State University of Railway Transport, Saint-Petersburg

Cheremisin Vasily Titovich, DSc, professor, Omsk State University of Railway Transport, Omsk

Shchurin Konstantin Vladimirovich, DSc, professor, Orenburg State University, Orenburg

Timofeeva Galina Adolfovna, DSc, professor, The Ural State University of Railway Transport, Ekaterinburg

Содержание

МАТЕМАТИЧЕСКИЕ МОДЕЛИ ТЕХНОЛОГИЧЕСКИХ ПРОЦЕССОВ

- 4 **Д. В. Ефанов.** Модифицированный код паритета в схемах функционального контроля

МЕХАНИКА МАШИН И РОБОТОВ

- 15 **А. А. Воробьев, А. В. Скребков, Д. В. Осипов.** Оценка эффективности плазменного упрочнения бандажей колесных пар локомотивов на Восточно-Сибирской железной дороге
- 23 **А. П. Буйносов, К. А. Стаценко, В. А. Тихонов.** Совершенствование методики контроля шероховатости посадочной поверхности бандажей колесных пар локомотивов
- 31 **И. С. Цихалевский, О. И. Ветлугина, М. М. Кудаяров.** Определение оптимальных параметров технологического процесса ремонта тягового подвижного состава

УПРАВЛЕНИЕ В ТЕХНИЧЕСКИХ СИСТЕМАХ

- 39 **А. А. Шапран, Н. Б. Новикова.** Задача построения системы двухканального управления электрическим приводом постоянного тока
- 45 **М. Хшан, К. Кишиштошек, Э. Шихта.** Возможность использования телекоммуникации третьего поколения 3G в железнодорожных беспроводных гетерогенных сетях

ОРГАНИЗАЦИЯ И ЛОГИСТИКА

- 50 **К. В. Корсаков.** Предупреждение преступных деяний корыстной направленности на железнодорожном транспорте в Российской Федерации

СТРОИТЕЛЬНЫЕ КОНСТРУКЦИИ

- 56 **С. М. Скоробогатов, А. А. Радько.** Проблемы прочности и деформативности монолитных железобетонных безбалочных перекрытий с отверстиями
- 62 **А. В. Гречаник, А. В. Замуховский, Б. В. Наумов.** Виброгасящие скрепления для метрополитена

АСПИРАНТСКАЯ ТЕТРАДЬ

- 70 **А. О. Грехов.** Причины и определение места вероятного обрыва проволок медного несущего троса контактной сети
- 77 **А. Р. Исламов.** Имитационное моделирование движения поезда по сопряженным элементам продольного профиля

Contents

MATHEMATIC MODELS OF TECHNOLOGICAL PROCESSES

- 4 **D. V. Efanov.** Modified equality code in functional control schemes

MECHANICS OF MACHINES AND ROBOTS

- 15 **A. A. Vorobjev, A. V. Skrebkov, D. V. Osipov.** Estimation of plasma reinforcement efficiency of wheel pairs treads of locomotives at East Siberian Railway
- 23 **A. P. Buinosov, K. A. Statsenko, V. A. Tikhonov.** Improvement of control technique of mounting surface roughness of engine wheel pairs tires
- 31 **I. S. Tsikhalevskiy, O. I. Vetlugina, M. M. Kudayarov.** Optimal parameters determination of technological process of traction electrical equipment repair

CONTROL IN ENGINEERING SYSTEMS

- 39 **A. A. Shapran, N. B. Novikova.** The task of two-channel system construction of direct current electric drive control
- 45 **M. Chrzan, K. Krzyszczoszek, E. Szychta.** Use of third generation 3G telecommunications in rail heterogeneous wireless networks

ORGANIZATION AND LOGISTICS

- 50 **K. V. Korsakov.** Prevention of criminal acts with a mercenary motive at Railway transport

BUILDING STRUCTURES

- 56 **S. M. Skorobogatov, A. A. Radjko.** Strength and deformation problems of monolithic ferron-concrete girderless floors with holes
- 62 **A. V. Grechanik, A. V. Zamukhovskiy, B. V. Naumov.** Vibration-absorbing fastenings for underground

RESEARCH OF YOUNG SCIENTISTS

- 70 **A. O. Grekhov.** Origins and detection of probable wire break of contact system copper messenger cable
- 77 **A. R. Islamov.** Simulation modeling of train movement on longitudinal grade transform

МАТЕМАТИЧЕСКИЕ МОДЕЛИ ТЕХНОЛОГИЧЕСКИХ ПРОЦЕССОВ

УДК 004.052.32

Д. В. Ефанов

Модифицированный код паритета в схемах функционального контроля

UDC 004.052.32

D. V. Efanov

Modified equality code in functional control schemes

Аннотация

В статье приведены исследования в области функциональной диагностики комбинационных дискретных устройств. Предложена модификация кодов паритета, позволяющая повысить обнаруживающие способности схем функционального контроля. Смысл модификации состоит в выделении двух функций паритета, образующих контрольный вектор кода. Дана структура схем функционального контроля по новым кодам.

Для модифицированных кодов паритета найдена формула расчета числа необнаруживаемых ошибок в информационных векторах при правильно формируемых контрольных векторах (это актуально для схем функционального контроля). С ее помощью установлен ряд предельных свойств модифицированных кодов паритета. Выведено выражение, характеризующее долю необнаруживаемых ошибок информационных разрядов модифицированного кода паритета от общего числа ошибок информационных разрядов, показано, что с увеличением числа информационных разрядов данная величина стремится к 0,25. В сравнении с классическим кодом паритета новый код обнаруживает в два раза больше ошибок.

Ключевые слова:

функциональный контроль; код паритета; модификация; информационный вектор; необнаруживаемая ошибка; свойства кода.

Abstract

The article presents the researches in the field of functional diagnostics of combinational discrete devices. The equality codes modification which allows to increase the detectivity of functional control schemes is offered. The modification content is separation of two equality functions, which form the checking code vector. The structure of functional control schemes by new codes is given.

For new equality codes the formula of calculation of undetected errors quantity in information vectors by correctly formed code vectors (it is urgent for functional control schemes) was searched out. With the help of this formula it is ascertained the number of extreme properties of modified equality codes. The expression, characterizing undetected errors part of information bit of modified equality code out of information bits total errors is deduced. It is shown that by the increase of information bits figure this quantity tends to 0,25. In comparison with classical equality code the new code detects twice as much errors.

Key words:

functional control; equality code; modification; information vector; undetected error; code properties.

Дмитрий Викторович Ефанов, канд. тех. наук, ассистент; кафедра «Автоматика и телемеханика на железных дорогах» Петербургского государственного университета путей сообщения; Санкт-Петербург, Россия. E-mail: mitriche@yandex.ru.

Dmitry V. Efanov, PhD, assistant; «Railway automation and signalling» department of Saint-Petersburg State University of Railway Transport; Saint-Petersburg, Russia. E-mail: mitriche@yandex.ru.

Введение

Равномерные избыточные коды [1] часто применяются при организации схем функционального контроля — такого вида технического диагностирования, при котором процесс определения технического состояния объекта производится в его рабочем режиме (без отключения объекта от работы) [2]. Наиболее простым в построении избыточным кодом является код паритета, содержащий один контрольный разряд, однако он имеет наихудшую обнаруживающую способность среди применяемых кодов. Сложность контрольного оборудования при этом невелика [3, 4]. Наилучшими обнаруживающими способностями обладают коды с повторением и коды Бауэра (они обнаруживают все ошибки информационного вектора). Но при этом контрольное оборудование имеет максимальную сложность из всех известных схем контроля. В отдельных случаях сложность всей схемы в тройном размере превосходит сложность контролируемого объекта [3].

Настоящая работа посвящена модификации классического кода паритета путем выделения двух функций паритета (четных и нечетных информационных разрядов), что повышает обнаруживающую способность кода в схемах функционального контроля при сохранении показателя сложности самой схемы. В работе также приведены некоторые свойства модифицированных кодов паритета (МКП).

Структура модифицированного кода паритета

Рассматриваемый код является равномерным разделимым кодом и представляет собой модификацию известного кода паритета, в котором существует всего один контрольный разряд g , вычисляемый как

$$g = \bigoplus_{i \in \{1, 2, \dots, m\}} x_i = x_1 \oplus x_2 \oplus \dots \oplus x_m, \quad (1)$$

где m — число информационных разрядов кода.

Введем две функции, которые будут характеризовать контрольные разряды МКП. Это функция паритета нечетных информационных разрядов:

$$g^1 = \bigoplus_{i \in \{1, 3, \dots, 2l-1\}} x_i = x_1 \oplus x_3 \oplus \dots \oplus x_{2l-1}, \quad (2)$$

где $2l - 1$ — последний нечетный разряд (это число равно m , если число разрядов нечетно и $m - 1$, если четно), и функция паритета четных информационных разрядов:

$$g^0 = \bigoplus_{i \in \{2, 4, \dots, 2l\}} x_i = x_2 \oplus x_4 \oplus \dots \oplus x_{2l}, \quad (3)$$

где $2l = m$, если m — четно; $2l = m - 1$, если m — нечетно.

Тогда структура любого вектора МКП выражается так:

$$V_i = \langle x_1 x_2 \dots x_m g^1 g^0 \rangle$$

или $V_i = \langle x_1 x_2 \dots x_m g^0 g^1 \rangle. \quad (4)$

Будем в дальнейшем обозначать МКП как код (n, m) , где $n = m + 2$ — общее число разрядов в МКП.

Схема функционального контроля по модифицированному коду паритета

На рис. 1 изображена схема функционального контроля по МКП. Блок $F(x)$ вычисляет рабочие функции f_i . Смысл схемы состоит в возможности автоматической фиксации их искажений. Остальные элементы схемы являются контрольными: система сумматоров по модулю 2 вычисляет функции g^1 и g^0 , блок $G(x)$ — функции g^{1*} и g^{0*} по значениям входов блока $F(x)$. Целью контроля является выявление соответствия вычисляемых сумматорами по модулю два и блоком $G(x)$ соответствующих контрольных функций: g^1 и g^{1*} , g^0 и g^{0*} . Сравнение осуществляет схема TRC , обладающая двумя выходами,

парафазное значение которых свидетельствует о правильности рабочих функций f_i [3].

Схема является самопроверяемой, то есть любые ошибки в блоке $F(x)$ и контрольном оборудовании обнаруживаются на входных наборах [4]. Отметим, что схему можно считать частным случаем схемы самодвойственного дублирования паритетов [5].

Формула расчета числа необнаруживаемых ошибок

Рассмотрим код (5,3). Зададим все возможные кодовые векторы в виде таблицы 1.

Отметим следующее свойство необнаруживаемых ошибок при таком варианте построения МКП.

Утверждение 1. *Ошибка в информационном векторе будет необнаруживаемой в том и только в том случае, если она не нарушает контрольных функций g^1 и g^0 .*

Данное свойство позволяет все информационные кодовые векторы кода (5,3) разбить на группы по весу контрольных векторов (таблица 2).

Обозначим их как $R^0 = \langle 00 \rangle$, $R^1 = \langle 01 \rangle$, $R^2 = \langle 10 \rangle$, $R^3 = \langle 11 \rangle$.

Из таблицы 2 и утверждения 1 вытекает

Утверждение 2. *Ошибка в информационном векторе будет необнаруживаемой в том и только в том случае, если она переводит кодовый вектор одной группы R^i в кодовый вектор этой же группы.*

Очевидно, что каждый информационный вектор одной группы R^i может перейти в информационный вектор этой же группы только одним способом. То есть для каждого информационного вектора существует только одна необнаруживаемая ошибка. Анализируя таблицу 2, можно заметить, что это все ошибки кратности $d = 2$; всего их 8.

Рассмотрим МКП с числом информационных разрядов, равным $m = 4$. По аналогии с таблицей 1 построим таблицу, задающую код (6,4) (таблица 3).

Выполним процедуру разбиения информационных векторов на группы по весу контрольных векторов (таблица 4).

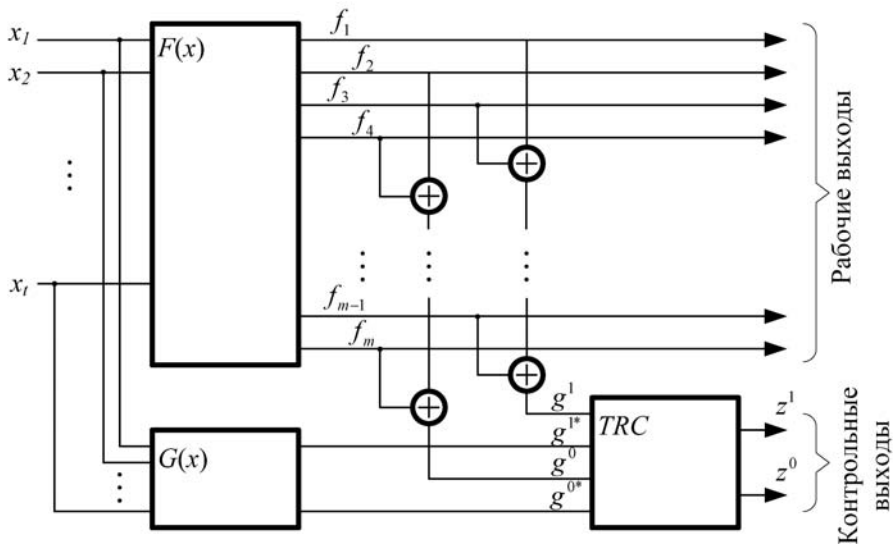


Рис. 1. Схема функционального контроля по модифицированному коду паритета

Таблица 1

Кодовые векторы кода (5,3)

f_1	f_2	f_3	$g^1 = f_1 \oplus f_3$	$g^0 = f_2$
0	0	0	0	0
0	0	1	1	0
0	1	0	0	1
0	1	1	1	1
1	0	0	1	0
1	0	1	0	0
1	1	0	1	1
1	1	1	0	1

Таблица 2

Разбиение информационных векторов кода (5,3) на группы

$R^0 = \langle 00 \rangle$	$R^1 = \langle 01 \rangle$	$R^2 = \langle 10 \rangle$	$R^3 = \langle 11 \rangle$
000	010	001	011
101	111	100	110

Таблица 3

Кодовые векторы кода (6,4)

f_1	f_2	f_3	f_4	$g^1 = f_1 \oplus f_3$	$g^0 = f_2 \oplus f_4$
0	0	0	0	0	0
0	0	0	1	0	1
0	0	1	0	0	1
0	0	1	1	0	0
0	1	0	0	1	0
0	1	0	1	1	1
0	1	1	0	1	1
0	1	1	1	1	0
1	0	0	0	1	0
1	0	0	1	1	1
1	0	1	0	1	1
1	0	1	1	1	0
1	1	0	0	0	0
1	1	0	1	0	1
1	1	1	0	0	1
1	1	1	1	0	0

Таблица 4

Разбиение информационных векторов кода (6,4) на группы

$R^0 = \langle 00 \rangle$	$R^1 = \langle 01 \rangle$	$R^2 = \langle 10 \rangle$	$R^3 = \langle 11 \rangle$
0000	0001	0100	0101
0011	0010	0111	0110
1100	1101	1000	1001
1111	1110	1011	1010

Свойство 1. Множества информационных векторов всех групп R^i имеют одинаковые мощности:

$$M(R^i) = \frac{2^m}{4} = 2^{m-2}. \quad (5)$$

Учитывая утверждение 2 и свойство 1, отметим, что для каждого информационного вектора любой группы существует по три обнаруживаемые ошибки. Более того, анализируя таблицу 4, можно сделать вывод, что это две ошибки кратности $d = 2$ и одна — кратности $d = 4$. Всего обнаруживаемых ошибок информационных векторов кода (6,4) существует 48:32 кратности два и 16 кратности 4.

Процесс рассмотрения свойств различных МКП можно продолжать, что приведет к заключению таких закономерностей.

Непосредственно из свойства 1 следует свойство 2.

Свойство 2. Число обнаруживаемых ошибок информационных векторов МКП в каждой группе R^i можно вычислить по формуле:

$$N(R^i) = 2^{m-2}(2^{m-2} - 1), \quad (6)$$

где множитель 2^{m-2} представляет собой мощность множества векторов группы R^i , а множитель $2^{m-2} - 1$ определяет общее число возможных переходов в кодовые векторы группы R^i из некоторого, заранее выбранного кодового вектора этой же группы.

Так как групп R^i всегда 4, то справедлива еще одна закономерность.

Свойство 3. Общее число обнаруживаемых ошибок информационных векторов МКП можно вычислить по формуле

$$N = 4 \cdot 2^{m-2}(2^{m-2} - 1) = 2^m(2^{m-2} - 1). \quad (7)$$

Известно [6], что число кодовых векторов от m разрядов вычисляется как

$$N_o^1 = 2^m. \quad (8)$$

Число же возможных искажений одного кодового вектора — это число его возможных переходов в другие кодовые векторы:

$$N' = 2^m - 1. \quad (9)$$

То есть общее число искажений в информационных разрядах равно

$$N_o = 2^m(2^m - 1). \quad (10)$$

Свойство 3 и формула (10) влекут за собой свойство 4.

Свойство 4. Общее число обнаруживаемых ошибок информационных векторов МКП можно вычислить по формуле

$$\begin{aligned} N_o^o &= 2^m(2^m - 1) - 2^m(2^{m-2} - 1) = \\ &= 2^m(2^m - 1 - 2^{m-2} + 1) = \\ &= 2^m(2^m - 2^{m-2}) = \\ &= 2^m 2^{m-2}(2^2 - 1) = \frac{3}{4} 2^{2m}. \end{aligned} \quad (11)$$

Формула (11) дает общее число обнаруживаемых ошибок в информационных векторах МКП как разность между общим числом ошибок и общим числом необнаруживаемых искажений информационного вектора.

Утверждение 3 фиксирует такой факт.

Утверждение 3. Необнаруживаемая ошибка в МКП — это ошибка четной кратности d .

Данное утверждение может объясняться принципом формирования контрольных функций (см. формулы (2) и (3)).

Для целого класса нелинейных кодов — кодов с суммированием (кодов Бергера [7]) справедлива следующая теорема относительно обнаруживаемых ошибок информационных разрядов [8].

Теорема 1 (о доле необнаруживаемых ошибок). Доля необнаруживаемых ошибок информационных разрядов данной кратности от общего числа ошибок информационных

разрядов данной кратности не зависит от числа информационных разрядов и является постоянной величиной.

Расчетами можно показать, что условие данной теоремы не справедливо для МКП, хотя природа ошибок идентична классическим кодам Бергера (в кодах Бергера и МКП обнаруживаемыми являются только искажения информационных векторов четных кратностей). В таблице 5 приведены числа обнаруживаемых ошибок в первых четырех МКП.

Сравнение обнаруживающих способностей некоторых избыточных кодов

Аналогичные проведенным в предыдущем разделе рассуждениям для классического кода паритета, единственный контрольный разряд которого вычисляется по формуле (1), дают такую формулу расчета числа обнаруживаемых ошибок:

$$N = 2 \cdot 2^{m-1} (2^{m-1} - 1) = 2^m (2^{m-1} - 1). \quad (12)$$

В работах [8, 9] приводится формула, по которой можно рассчитать число обнаруживаемых ошибок в другом часто используемом в схемах функционального контроля коде — коде Бергера:

$$N = \sum_{k=2}^{m,m-1} N_k = \sum_{k=2}^{m,m-1} C_m^k C_k^2 2^{m-k}, \quad (13)$$

где k — число контрольных разрядов кода Бергера, а m — число информационных разрядов.

Зная формулы (7), (12) и (13), сравним обнаруживающие способности классических кодов паритета и Бергера со свойствами кода МКП (таблица 6). Учтем при этом, что классические коды паритета имеют всего один контрольный разряд, модифицированные — два, а у кодов Бергера число контрольных разрядов находится в такой зависимости от числа информационных разрядов: $k = \lceil \log_2(m + 1) \rceil$ [10, 11], где запись $\lceil a \rceil$ обозначает целое сверху от числа a .

Наихудшей обнаруживающей способностью обладает классический код паритета. Код МКП при значениях $m \leq 4$ не обнаруживает меньшее число ошибок, нежели код Бергера, однако с увеличением m это число начинает увеличиваться. Лучшая обнаруживающая способность кода Бергера определяется увеличением числа контрольных разрядов, тогда как у кода МКП это число неизменно равно двум.

Классические коды паритета и МКП имеют одинаковую природу образования, являются линейными кодами (для таких кодов поразрядная сумма по модулю два разрядов любых кодовых векторов является кодовым вектором этого же кода). Сравним между собой эти коды. А точнее, определим, во сколько раз возросла обнаруживающая способность кода паритета при его модификации:

$$\alpha = \frac{2^m (2^{m-2} - 1)}{2^m (2^{m-1} - 1)} = \frac{2^{m-2} - 1}{2^{m-1} - 1}. \quad (14)$$

Таблица 5

Необнаруживаемые ошибки различных кратностей

Число информационных разрядов, m	Кратность ошибок, d		
	2	4	6
3	$8 = 2^3$	—	—
4	$32 = 2^5$	$16 = 2^4$	—
5	$128 = 2^7$	$96 = 2^6 + 2^5$	—
6	$384 = 2^8 + 2^7$	$576 = 2^9 + 2^6$	—

Необнаруживаемые ошибки
в информационных векторах различных разделимых кодах

Число информационных разрядов, m	Число необнаруживаемых ошибок информационных разрядов		
	классический код паритета	модифицированный код паритета	код Бергера
2	4	0	2
3	24	8	12
4	112	48	54
5	480	224	220
6	1984	960	860
7	8064	3968	3304
8	32512	16128	12614
9	130560	65024	48108
10	523264	261120	183732
11	2095104	1046528	703384
12	8384512	4190208	2700060
13	33546240	16769024	10392408
14	134201344	67092480	40100216
15	536838144	268402688	155084752
Формула расчета числа необнаруживаемых ошибок	$2^m(2^{m-1}-1)$	$2^m(2^{m-2}-1)$	$\sum_{k=2}^{m,m-1} C_m^k C_k^2 2^{m-k}$

Найдем предел величины α при увеличении числа информационных разрядов $m \rightarrow \infty$:

$$\begin{aligned} \lim_{m \rightarrow \infty} \alpha &= \lim_{m \rightarrow \infty} \frac{2^{m-2} - 1}{2^{m-1} - 1} = \\ &= \lim_{m \rightarrow \infty} \frac{(2^{m-2} - 1)'}{(2^{m-1} - 1)'} = \\ &= \lim_{m \rightarrow \infty} \frac{m2^{m-1}}{m2^m} = \\ &= \lim_{m \rightarrow \infty} \frac{2^m}{2 \cdot 2^m} = \frac{1}{2}. \end{aligned} \quad (15)$$

В формуле (15) были использованы известные преобразования, приведенные в [12].

Предельные свойства модифицированного кода паритета

Рассмотрим долю необнаруживаемых ошибок информационных разрядов кода (n, m) от общего числа

ошибок информационных разрядов.

Будем обозначать ее как $\beta_m = \frac{N}{N_o}$.

В табл. 7 приведены расчеты величины β_m для некоторых МКП. Существует некоторая зависимость: с увеличением m β_m уменьшается.

Найдем значение предела величины β_m при $m \rightarrow \infty$:

$$\begin{aligned} \lim_{m \rightarrow \infty} \beta_m &= \lim_{m \rightarrow \infty} \frac{N}{N_o} = \\ &= \lim_{m \rightarrow \infty} \frac{2^m(2^{m-2} - 1)}{2^m(2^m - 1)} = \\ &= \lim_{m \rightarrow \infty} \frac{(2^{m-2} - 1)'}{(2^m - 1)'} = \\ &= \lim_{m \rightarrow \infty} \frac{m2^{m-3}}{m2^{m-1}} = \\ &= \lim_{m \rightarrow \infty} \frac{2^{m-3}}{2^2 \cdot 2^{m-1}} = \frac{1}{4}. \end{aligned} \quad (16)$$

Таблица 7

Доля необнаруживаемых ошибок информационных разрядов от общего числа ошибок информационных разрядов

m	N	N_0	$\beta_m = \frac{N}{N_0}$
2	0	12	0
3	8	56	0,14286
4	48	240	0,2
5	224	992	0,22581
6	960	4032	0,2381
7	3968	16256	0,24409
8	16128	65280	0,24706
9	65024	261632	0,24853
10	261120	1047552	0,24927
11	1046528	4192256	0,24963
20	$2,74877 \cdot 10^{11}$	$1,09951 \cdot 10^{12}$	0,25
25	$2,81475 \cdot 10^{14}$	$1,1259 \cdot 10^{15}$	0,25
50	$3,16913 \cdot 10^{29}$	$1,26765 \cdot 10^{30}$	0,25
100	$4,01735 \cdot 10^{59}$	$1,60694 \cdot 10^{60}$	0,25

Тем самым получено следующее свойство МКП:

Свойство 5. Доля необнаруживаемых ошибок информационных разрядов от общего числа ошибок информационных разрядов в модифицированном коде паритета при $t \rightarrow \infty$ стремится к величине

$$\lim_{m \rightarrow \infty} \beta_m = \frac{1}{4}.$$

Таблица 7 расчетами еще раз доказывает свойство 5.

Рассмотрим взаимоотношение числа необнаруживаемых ошибок в так называемых соседних МКП.

Определение 1. Будем называть соседними такие модифицированные коды паритета, у которых число информационных разрядов отличается на единицу: код (n, t) и код $(n + 1, t + 1)$.

Запишем отношение числа необнаруживаемых ошибок для соседних МКП: в числителе расположим код с числом информационных разрядов, равным $t+1$, в знаменателе — соседний ему код (n, t) . Имеем:

$$\begin{aligned} \delta_m^{m+1} &= \frac{N_{m+1}}{N_m} = \frac{2^{m+1}(2^{m+1-2} - 1)}{2^m(2^{m-2} - 1)} = \\ &= \frac{2 \cdot 2^m(2^{m-1} - 1)}{2^m(2^{m-2} - 1)} = 2 \cdot \frac{2^{m-1} - 1}{2^{m-2} - 1}. \end{aligned} \quad (17)$$

Вычислим предел выражения (17) при $t \rightarrow \infty$:

$$\begin{aligned} \lim_{m \rightarrow \infty} \delta_m^{m+1} &= \lim_{m \rightarrow \infty} 2 \cdot \frac{2^{m-1} - 1}{2^{m-2} - 1} = \\ &= 2 \cdot \lim_{m \rightarrow \infty} \frac{2^{m-1} - 1}{2^{m-2} - 1} = \\ &= 2 \cdot \lim_{m \rightarrow \infty} \frac{(2^{m-1} - 1)'}{(2^{m-2} - 1)'} = \\ &= 2 \cdot \lim_{m \rightarrow \infty} \frac{m2^{m-2}}{m2^{m-3}} = 4. \end{aligned} \quad (18)$$

Таким образом, имеем еще одно свойство МКП, характеризующее число необнаруживаемых ошибок информационных разрядов соседних кодов.

Свойство 6. Число необнаруживаемых ошибок информационных разрядов в коде, являющемся соседним коду (n, t) , по отношению к данному коду в пределе при $t \rightarrow \infty$ увеличивается в четыре раза.

Свойство 6 можно трактовать так: при увеличении числа информационных разрядов МКП на единицу число необнаруживаемых им ошибок информационных разрядов возрастает в четыре раза.

Нетрудно обобщить свойство 6 и на случай сравнения двух произвольных кодов, кодов (n, m) и $(n + i, m + i)$. Обобщим выражение (17):

$$\delta_m^{m+i} = \frac{N_{m+i}}{N_m} = \frac{2^{m+i}(2^{m+i-2} - 1)}{2^m(2^{m-2} - 1)} = \frac{2^i \cdot 2^m(2^{m+i-2} - 1)}{2^m(2^{m-2} - 1)} = 2^i \cdot \frac{2^{m+i-2} - 1}{2^{m-2} - 1}. \quad (19)$$

Вычислим предел выражения (19):

$$\begin{aligned} \lim_{m \rightarrow \infty} \delta_m^{m+i} &= \lim_{m \rightarrow \infty} 2^i \cdot \frac{2^{m+i-2} - 1}{2^{m-2} - 1} = \\ &= 2^i \cdot \lim_{m \rightarrow \infty} \frac{2^{m+i-2} - 1}{2^{m-2} - 1} = \\ &= 2^i \cdot \lim_{m \rightarrow \infty} \frac{(2^{m+i-2} - 1)'}{(2^{m-2} - 1)'} = \\ &= 2^i \cdot \lim_{m \rightarrow \infty} \frac{m2^{m+i-3}}{m2^{m-3}} = \\ &= 2^i \cdot \lim_{m \rightarrow \infty} \frac{2^i 2^{m-3}}{2^{m-3}} = \\ &= 2^i \cdot 2^i = 2^{2i} = 4^i. \quad (20) \end{aligned}$$

Свойство 7. *Отношение числа необнаруживаемых ошибок в информационных разрядах модифицированных кодов паритета с разницей между числом информационных разрядов на величину i увеличивается в 4^i раз при $m \rightarrow \infty$.*

Синтез тестеров модифицированных кодов паритета

Тестер МКП строится на основе сумматоров по модулю два $M2$ и модуля TRC [3, 4, 13]. Ввиду того, что для любого МКП число контрольных разрядов неизменно и равно двум, требуется только один такой модуль.

В качестве примера приведем тестер кода (6,4), заданного таблицей 3. Для реализации контрольных

разрядов $g^1 = f_1 \oplus f_3$ и $g^0 = f_2 \oplus f_4$ требуется по одному модулю $M2$, выходы которых соединяются с входами самопроверяемой схемы TRC . Также на входы TRC подаются вычисленные блоком $G(x)$ инвертированные значения контрольных разрядов $\overline{g^{1*}}$ и $\overline{g^{0*}}$. Сравнивая между собой функции $\overline{g^{1*}}$, g^1 и $\overline{g^{0*}}$, g^0 , схема TRC формирует значения контрольных выходов z_1 и z_0 . При отсутствии неисправностей во всех элементах схемы функционального контроля на выходе формируются парафазные сигналы $\langle 01 \rangle$ или $\langle 10 \rangle$ [11]. Схема тестера приведена на рис. 2.

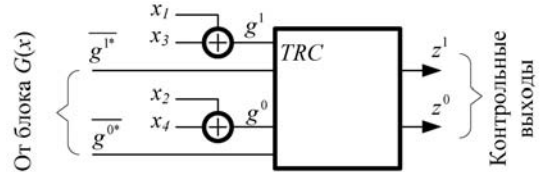


Рис. 2. Тестер кода (6,4)

Схема тестера (рис. 2) является самопроверяемой [4]. Сложность схемы тестера не превышает сложности устройства контроля для организации функционального диагностирования по классическому коду паритета.

Заключение

Рассмотренные в работе МКП обнаруживают вдвое больше ошибок в информационных разрядах кодовых векторов, чем классические коды паритета. При этом сложность контрольного оборудования не возрастает.

Следует отметить еще один вариант построения контрольных функций g^1 и g^0 . Первая функция вычисляется как сумма по модулю два первой половины информационных разрядов:

$$g^1 = x_1 \oplus x_2 \oplus \dots \oplus x_{\frac{2l-1}{2}}, \quad (24)$$

где $2l - 1$ — последний нечетный разряд (это число равно m , если число

разрядов нечетно и $m - 1$, если четно), а вторая функция — сумма по модулю два второй половины информационных разрядов:

$$g^0 = x_i \oplus x_{i+1} \oplus \dots \oplus x_{2l}, \quad (25)$$

где $2l = m$, если m — четно; $2l = m - 1$, если m — нечетно.

Обнаруживающие способности модификации кода паритета с ис-

пользованием формул (24) и (25) для построения контрольных разрядов не изменяются. Расчеты, доказывающие этот факт, здесь не приводятся.

Данное исследование дополняет работы ученых, занимавшихся вопросами разработки схем функционального контроля и применения для их организации свойств равномерных избыточных кодов. ■

Литература

1. Ryan W. E., Lin Shu Channel Codes: Classical and Modern / Cambridge University Press, 2009. 708 p. ISBN 0-52184-868-7.
2. Пархоменко П. П. Основы технической диагностики (оптимизация алгоритмов диагностирования, аппаратурные средства) / М.: Энергоатомиздат, 1981. 320 с.
3. Сапожников В. В., Сапожников Вл. В. Основы технической диагностики / М.: Маршрут, 2004. 316 с. ISBN 5-89035-123-0.
4. Сапожников В. В., Сапожников Вл. В. Самопроверяемые дискретные устройства / СПб: Энергоатомиздат, 1992. 224 с. ISBN 5-283-04605-2.
5. Сапожников В. В., Сапожников Вл. В., М. Гёссель Самодвойственные дискретные устройства / СПб: Энергоатомиздат. Санкт-Петербургское отделение, 2001. 331 с. ISBN 5-283-04748-2.
6. Поспелов Д. А. Логические методы анализа и синтеза схем. Изд. 3-е, перераб. и доп. М.: «Энергия», 1974. 368 с.
7. Berger J. M. A note on error detecting codes for asymmetric channels // Information and Control, 1961, № 3. P. 68–73.
8. Ефанов Д. В., Сапожников В. В., Сапожников Вл. В. О свойствах кода с суммированием в схемах функционального контроля // Автоматика и телемеханика, 2010. № 6. С. 155–162. ISSN 0005-2310.
9. Сапожников В. В., Сапожников Вл. В., Ефанов Д. В. Предельные свойства кода с суммированием // Известия Петербургского университета путей сообщения, 2010. Вып. 3. С. 290–299. ISSN 1815-588X.
10. Piestrak S. J. Design of self-testing checkers for unidirectional error detecting codes / Wrocław: Oficyna Wydawnicza Politechniki Wrocławskiej, 1995. 111 p. ISSN 0324-9786.
11. Сапожников В. В., Сапожников Вл. В., Ефанов Д. В. О синтезе тестеров кодов с суммированием на основе использования свойств простых и линейных функций / Вестник УрГУПС, 2011. № 1. С. 22–32. ISSN 2079-0392.
12. Выгодский М. Я. Справочник по математике / М.: «Астрель», 2010. 1056 с. ISBN 978-5-271-23257-2.
13. Lala Parag K. Self-checking and Fault-tolerant Digital Design / University of Arkansas, 2001. 216 с. ISBN 0-124-34370-8.

References

1. Ryan W. E., Lin Shu Channel Codes: Classical and Modern / Cambridge University Press, 2009. 708 p. ISBN 0–52184–868–7.
2. Parkhomenko P. P. Osnovy tekhnicheskoy diagnostiki (optimizatsiya algoritmov diagnostirovaniya, apparaturnye sredstva) [The fundamentals of technical diagnostics (optimization of diagnostics algorithms, equipment facilities) / М.: Energoatomizdat, 1981. 320 s.
3. Sapozhnikov V. V., Sapozhnikov Vl. V. Osnovy tekhnicheskoy diagnostiki [The fundamentals of technical diagnostics] / М.: Marshrut, 2004. 316 s. ISBN 5-89035-123-0.
4. Sapozhnikov V. V., Sapozhnikov Vl. V. Samoproverjaemye diskretnye ustrojstva [Self-testing discrete devices] / SPb: Energoatomizdat, 1992. 224 s. ISBN 5-283-04605-2.

5. Sapozhnikov V. V., Sapozhnikov V. V., M. Gjossel. Samodvoystvennyye diskretnyye ustrojstva [Self-dual discrete devices] / SPb: Energoatomizdat. Sankt-Peterburgskoe otdelenie, 2001. 331 s. ISBN 5-283-04748-2.
6. Pospelov D. A. Logicheskie metody analiza i sinteza skhem [Logistic methods of analysis and synthesis of schemes]. Izd. 3-e, pererab. i dop. M.: «Energiya», 1974. 368 s.
7. Berger J. M. A note on error detecting codes for asymmetric channels // Information and Control, 1961, № 3. R. 68–73.
8. Efanov D. V., Sapozhnikov V. V., Sapozhnikov V. V. O svoystvakh koda s summirovaniem v skhemakh funktsionalnogo kontrolya [About code characteristics with summing in the systems of functional check] // Avtomatika i telemekhanika, 2010. № 6. S. 155–162. ISSN 0005-2310.
9. Sapozhnikov V. V., Sapozhnikov V. V., Efanov D. V. Predelnyye svoystva koda s summirovaniem [Extreme code characteristics with summing] // Izvestiya Peterburgskogo universiteta putey soobshcheniya., 2010. Vyp. 3. S. 290–299. ISSN 1815-588H.
10. Piestrak S. J. Design of self-testing checkers for unidirectional error detecting codes / Wrocław: Oficyna Wydawnicza Politechniki Wrocławskiej, 1995. 111 p. ISSN 0324-9786.
11. Sapozhnikov V. V., Sapozhnikov V. V., Efanov D. V. O sinteze testerov kodov s summirovaniem na osnove ispolzovaniya svoystv prostykh i lineynykh funktsij [About the synthesis of tester codes with summing on the base of simple and linear functions use] / Vestnik UrGUPS, 2011. № 1. S. 22–32. ISSN 2079-0392.
12. Vygodsky M. Ya. Spravochnik po matematike [Mathematics manual] / M.: «Astrel», 2010. 1056 s. ISBN 978-5-271-23257-2.
13. Lala Parag K. Self-checking and Fault-tolerant Digital Design / University of Arkansas, 2001. 216 s. ISBN 0-124-34370-8.

Статья сдана в редакцию 18 октября 2011 года

МЕХАНИКА МАШИН И РОБОТОВ

УДК: 629.4.027.51

А. А. Воробьев, А. В. Скребков, Д. В. Осипов

Оценка эффективности плазменного упрочнения бандажей колесных пар локомотивов на Восточно-Сибирской железной дороге

UDC 629.4.027.51

A. A. Vorobjev, A. V. Skrebkov, D. V. Osipov

Estimation of plasma reinforcement efficiency of wheel pairs treads of locomotives at East Siberian Railway

Аннотация

Проблема износа поверхности катания бандажей колесных пар локомотивов является одной из актуальных, так как от рационального использования ресурса бандажей до обточки и смены во многом зависят эксплуатационные расходы локомотивного хозяйства. Рассмотрена эффективность применения плазменного упрочнения бандажей колесных пар локомотивов ВЛ80 Р и ВЛ85 в условиях эксплуатации их на Восточно-Сибирской железной дороге. Проведен анализ влияния упрочнения на износ гребня бандажей путем сравнения аналитических зависимостей математического ожидания толщины гребня бандажей от наработки локомотива для упрочненных и неупрочненных колес методом проверки статистических гипотез.

Ключевые слова:

плазменное упрочнение, проверка статистических гипотез, бандаж колесных пар, толщина гребня бандажа, гребнесмазывание.

Abstract

The problem of roll surface wear of locomotives' wheel pairs treads is urgent because locomotive sector maintenance charges depend on rational use of treads' resource till turning and change. There is described the efficiency of plasma reinforcement use of wheel pairs treads of locomotives VL80R and VL85 at East Siberian Railway. There is given the analysis of reinforcement influence on treads' flange by analytic dependences comparison of mathematical expectation of treads' flange thickness on locomotives operating time for reinforced and non-reinforced wheels by statistical hypothesis testing.

Key words:

plasma reinforcement, statistical hypothesis testing, wheel pairs tread, tread flange thickness, flange lubrication.

Александр Алексеевич Воробьев, д-р техн. наук, профессор; кафедра «Электрическая тяга» Московского государственного университета путей сообщения. Москва, Россия. E-mail: vorobyov-a@yandex.ru.

Алексей Валентинович Скребков, канд. техн. наук, доцент; кафедра «Электрическая тяга» Московского государственного университета путей сообщения. Москва, Россия. E-mail: skrebkov_av@mail.ru.

Денис Витальевич Осипов, аспирант; кафедра «Электрическая тяга» Московского государственного университета путей сообщения. Москва, Россия. E-mail: denis_os@bk.ru.

Aleksander A. Vorobjev, DSc, Professor; «Electric traction» department of Moscow State University of Railway Transport, Moscow, Russia. E-mail: vorobyov-a@yandex.ru.

Aleksey V. Skrebkov, PhD, Associate professor, «Electric traction» department of Moscow State University of Railway Transport, Moscow, Russia. E-mail: skrebkov_av@mail.ru.

Denis V. Osipov, post-graduate student, «Electric traction» department of Moscow State University of Railway Transport, Moscow, Russia. E-mail: denis_os@bk.ru.

От рационального использования ресурса бандажей — до обточки и смены — во многом зависят эксплуатационные расходы локомотивного хозяйства [1–5].

Для повышения ресурса бандажа до обточки используют гребнесмазывание бандажей и рельсосмазывание, оптимизируют технологию обточки колесных пар, применяют также различные методы упрочнения колес (объемная закалка, закалка ТВЧ, закалка плазменной дугой, лазерная наплавка, плазменное напыление). На российских железных дорогах эксплуатируются локомотивы как с упрочненными бандажами колесных пар, так и с неупрочненными. Поэтому представляется возможным выполнить инженерные и технико-экономические расчеты по оценке эффективности применения упрочненных бандажей на участках обращения локомотивов этих железных дорог.

Для этого была собрана фактическая информация об износе бандажей колесных пар локомотивов на Восточно-Сибирской железной дороге (локомотивное депо Улан-Удэ) и определено изменение вероятностной характеристики основного контролируемого параметра, лимитирующего ресурс бандажей колесных пар локомотивов — толщины гребня от наработки. На основании этих

зависимостей определена средняя интенсивность износа упрочненных и неупрочненных бандажей по толщине гребня.

Приведены результаты расчетов, стратифицированные по следующим признакам: серия локомотива (ВЛ80 Р, ВЛ85); применение гребнесмазывания (применялось/не применялось); использование упрочнения (применялось/не применялось).

Цель работы — оценка эффективности упрочнения, поэтому выборка колесных пар формировались по признаку «Упрочнение».

Колесные пары тягового подвижного состава (ТПС) — это наиболее важные узлы, так как от их технического состояния напрямую зависит безопасность движения поездов. Поэтому геометрические параметры поверхности катания бандажей колесных пар измеряются не реже одного раза в 30 сут. За сравнительно непродолжительный период наработки электровоза имеется возможность проследить изменения контролируемых параметров бандажей колесных пар для определения их фактического ресурса и прогнозирования технического состояния.

Необходимая для расчета информация в этом случае представляет собой выборки замеров контролируемых параметров при известной наработке.

Таблица 1

Представление информации о замерах контролируемых параметров

Завод	l	Значение контролируемого параметра детали					
		1	2	...	j	...	N
1	0	x_{01}	x_{02}	...	x_{0j}	...	x_{0N}
2	l_1	x_{11}	x_{12}	...	x_{1j}	...	x_{1N}
3	l_2	x_{21}	x_{22}	...	x_{2j}	...	x_{2N}
...
i	l_{i-1}	$x_{(i-1)1}$	$x_{(i-1)2}$...	$x_{(i-1)j}$...	$x_{(i-1)N}$
...
n	$l_{(n-1)}$	$x_{(n-1)1}$	$x_{(n-1)2}$...	$x_{(n-1)j}$...	$x_{(n-1)N}$

В общем виде результаты измерения контролируемого параметра сформированы в таблице 1.

В этой таблице в каждой i -й строке записываются значения контролируемого параметра рассматриваемой детали, полученные на одном и том же, i -м по счету, измерении. Число замеров контролируемого параметра для каждого номера завода (число элементов в i -й строке) может быть различно и равно N_i . Различие обусловлено выбыванием из-под наблюдения узлов и деталей из-за выполнения неплановых ремонтов, связанных с заменой оборудования.

Необходимо определить вид и параметры аналитических зависимостей числовых характеристик от наработки — это даст возможность прогнозировать процесс изменения контролируемых параметров рассматриваемых деталей и узлов с целью определения их ресурса. По значениям числовых характеристик величин контролируемых параметров и закону распределения можно прогнозировать процесс их изменения при больших наработках с целью определения ресурса оборудования. Для этого определяются аналитические зависимости толщины гребня бандажа от наработки.

В общем виде эту зависимость можно представить в виде некоторой нелинейной функции $y = f(a_1, a_2, \dots, a_s, l_i)$ одного аргумента l_i , в выражение которой входит S параметров a_1, a_2, \dots, a_s . С помощью этой функции необходимо аппроксимировать эмпирическую регрессию, заданную в виде N точек (l_i, y_i) при $i = 1, 2, \dots, n$, где под y понимается один из параметров рассматриваемого закона распределения.

Экстраполяцию процессов изменения контролируемых параметров оборудования локомотивов, имеющих нормальный закон распределения, целесообразно осуществлять в область больших наработок на основе зависимостей числовой характери-

стики: m_x — среднего значения, рассчитанного при различных значениях наработки l_i .

Параметры функции y находятся методом наименьших квадратов, условие которого записывается в виде

$$z(a_1, a_2, \dots, a_s) = \sum_{i=1}^n (f(a_1, a_2, \dots, a_s, l_i) - y_i)^2 \rightarrow \min. \quad (1)$$

Зависимость $m_x(l)$ изнашиваемых деталей ЭПС, как правило, хорошо описывается линейной функцией. Теоретически и практически доказано, что обычно реализация износа деталей локомотивов имеет вид, представленный на рис. 1

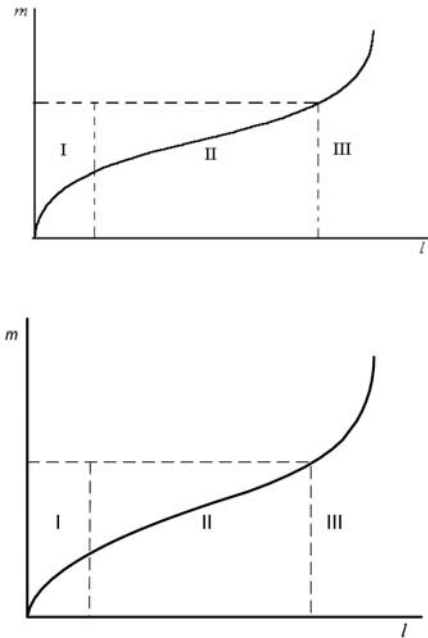


Рис. 1. Пример реализации контролируемого параметра

Участок I этой зависимости характеризует приработочный период, в котором деталь изнашивается с повышенной интенсивностью. Это объясняется притиранием сопряженных поверхностей, в результате которого происходит выравнивание их свойств, процесс изнашивания

стабилизируется и наступает период нормальной эксплуатации (участок II), в течение которого интенсивность износа постоянна и имеет наименьшее из всех возможных значений.

Период нормальной эксплуатации заканчивается и наступает период усиленного износа (участок III), когда интенсивность износа детали снова увеличивается в результате возникновения и роста паразитных перемещений деталей, например, проскальзывания колес по рельсам, ударов и перекосов в шарнирах и т. д.

На практике контролируемые параметры оборудования электровозов измеряют обычно не чаще, чем на текущем ремонте ТР-1, а приработка до первого ТР-1 успевает закончиться, поэтому статистические данные о значениях контролируемых параметров обычно не содержат информации о протекании процесса изнашивания в периоде приработки.

Кроме того, допуски на значения контролируемых параметров устанавливаются так, чтобы предупредить наступление периода усиленного износа, поэтому наблюдение за износом заканчивается прежде, чем наступает этот период.

Поэтому полученные на практике значения контролируемых параметров представляют только участок нормальной эксплуатации (участок II), в котором зависимости этих параметров от пробега близки к линейным. Поэтому эмпирическая зависимость числовой характеристики $m_x(l)$ изнашиваемого оборудования достаточно хорошо аппроксимируется линейной функцией вида

$$y = ax + b. \quad (2)$$

Условие метода «наименьших квадратов» в этом случае:

$$\sum_{i=1}^n ([y_i - (a l_i + b)]^2) \rightarrow \min. \quad (3)$$

Коэффициент a линейной функции по методу наименьших квадратов определяется как

$$a = r_{yl} \frac{\sigma_y}{\sigma_l}, \quad (4)$$

где r_{yl} — коэффициент корреляции между случайными величинами y и l ; σ_y, σ_l — среднеквадратические отклонения, соответственно, y и l .

$$\sigma_y = \sqrt{\frac{1}{N-1} \sum_{i=1}^N (y_i - m_y)^2}; \quad (5)$$

$$\sigma_l = \sqrt{\frac{1}{N-1} \sum_{i=1}^N (l_i - m_l)^2}, \quad (6)$$

где $m_l = \frac{1}{N} \sum_{i=1}^N l_i$ — среднее значение пробега;

$m_y = \frac{1}{N} \sum_{i=1}^N y_i$ — среднее значение величины y .

Коэффициент b уравнении регрессии определяется

$$B = m_y - a m_l. \quad (7)$$

Коэффициент корреляции r_{yl} характеризует тесноту линейной связи между случайными величинами y и l :

$$r_{yl} = \frac{k_y l}{\sigma_y \sigma_l} = \frac{\alpha_{11}(y, l) - m_y m_l}{\sigma_y \sigma_l}, \quad (8)$$

где $\alpha_{11}(y, l) = \frac{1}{N} \sum_{i=1}^N y_i l_i$ — второй смешанный начальный момент случайных величин y и l .

Физический смысл коэффициентов a и b уравнения регрессии среднего значения следующий:

- коэффициент a есть тангенс угла наклона регрессии, он характеризует интенсивность изнашивания за единицу наработки соответственно (1 тыс. км);
- коэффициент b характеризует среднее номинальное значение кон-

тролируемого параметра, то есть его величину в момент начала эксплуатации.

Для выяснения существенности влияния плазменного упрочнения на величину средней интенсивности износа необходимо выполнить парное сравнение соответствующих уравнений регрессии среднего значения контролируемого параметра (толщины гребня бандажа ТГ).

Оценка различия проводится методами проверки справедливости трех статистических гипотез.

Гипотеза 1: $H_{01} : S_{01}^2 = S_{02}^2$ — о равенстве остаточных дисперсий сравниваемых регрессий.

Гипотеза H_{01} проверяется по F -критерию, расчетное значение которого вычисляется по остаточным дисперсиям:

$$\hat{F} = \frac{S_{01}^2}{S_{02}^2} \text{ при } S_{01}^2 > S_{02}^2,$$

$$\hat{F} = \frac{S_{01}^2}{S_{02}^2} \text{ при } S_{01}^2 > S_{02}^2. \quad (9)$$

Справедливость гипотезы H_{01} устанавливается на основе сравнения расчетного \hat{F} и критического F_{α, m_1, m_2} значений критерия Фишера на уровне значимости $\alpha = 0,05$ и степенях свободы $m_i = N_i - 1$, где $i = 1$ соответствует большей дисперсии, N_i — объем i -й выборки.

Гипотеза 2: $H_{02} : a_1 = a_2$ — о равенстве угловых коэффициентов уравнений регрессий a_1 и a_2 .

Эта гипотеза проверяется по t -критерию Стьюдента, расчетное значение которого вычисляется по формуле

$$\hat{t}_a = \frac{|a_1 - a_2|}{S^* \sqrt{\frac{1}{(N_1 - 1)D_{i_1}} + \frac{1}{(N_2 - 1)D_{i_2}}}}, \quad (10)$$

где

$$S^* = \sqrt{\frac{(N_1 - 2) \cdot S_{01}^2 + (N_2 - 2) \cdot S_{02}^2}{N_1 + N_2 - 4}}; \quad (11)$$

D_{i_1} и D_{i_2} — дисперсии наработки (пробега) для сравниваемых вариантов соответственно; N_1 и N_2 — величины выборок значений парных наблюдений, по которым рассчитаны уравнения регрессий; S_{01}^2 и S_{02}^2 — величины остаточных дисперсий, полученные при аппроксимации зависимостей.

Для установления истинности этой гипотезы расчетное значение \hat{t}_a сравнивается с табличным $t_{\alpha, m}$ на уровне значимости $\alpha = 0,05$ и с числом степеней свободы $m = N_1 + N_{2-4}$.

Гипотеза 3: $H_{03} : b_1 = b_2$ — о равенстве свободных членов уравнений регрессий b_1 и b_2 .

Проверка этой гипотезы также осуществляется с помощью t -критерия Стьюдента, расчетное значение которого вычисляется

$$\hat{t}_b = \frac{\bar{a} - a^*}{\bar{S}_{\bar{a}-a^*}}, \quad (12)$$

где

$$\bar{a} = \frac{(N_1 - 1)D_{i_1} a_1 + (N_2 - 1)D_{i_2} a_2}{(N_1 - 1)D_{i_1} + (N_2 - 1)D_{i_2}}; \quad (13)$$

$$a^* = \frac{m_{y_1} - m_{y_2}}{m_{i_1} - m_{i_2}}; \quad (14)$$

$$\bar{S}_{\bar{a}-a^*} = S^* \sqrt{\frac{1}{(N_1 - 1)D_{i_1} + (N_2 - 1)D_{i_2}} + \frac{1}{(m_{i_1} - m_{i_2})^2} \left(\frac{1}{N_1} + \frac{1}{N_2} \right)}. \quad (15)$$

Для установления истинности этой гипотезы расчетное значение \hat{t}_b сравнивается с табличным $t_{\alpha, m}$ на уровне значимости $\alpha = 0,05$ и с числом степеней свободы $m = N_1 + N_{2-4}$.

Для подтверждения предположения о существенном различии сравниваемых уравнений регрессий необходимо, чтобы хотя бы одна из гипотез H_{01} , H_{02} или H_{03} была отвергнута. В то же время принятие гипотез H_{02} и H_{03} позволяет сделать вывод об отсутствии статистического отличия

между коэффициентами a и b сравниваемых уравнений регрессии.

Принятие решений о справедливости гипотез осуществляется сравнением расчетных значений критериев с табличными. Если расчетные значения \hat{t}_a , \hat{t}_b или \hat{F} больше табличных (соответственно $t_{\alpha, m}$, F'_{α, m_1, m_2}), то гипотезы отвергаются.

Практическая реализация проверки гипотез и расчета математического ожидания толщины гребней бандажей локомотивов на Восточно-Сибирской железной дороге представлена в таблице 2.

Зависимости толщины гребня бандажей от наработки показаны на рис. 2–5.

Таблица 2

Сравнительный анализ зависимостей толщины гребней бандажей от наработки для различных локомотивов

Сравниваемые зависимости	Проверяемые гипотезы					
	H_{01}		H_{02}		H_{03}	
	\hat{F}	F'_{α, m_1, m_2}	\hat{t}_a	$t_{\alpha, m}$	\hat{t}_b	$t_{\alpha, m}$
ВЛ80 Р (с гребнесмазыванием)	1,53	1,16	0,4	1,96	4,78	1,96
ВЛ80 Р (без гребнесмазывания)	1,77	1,18	0,90	1,96	1,04	1,96
ВЛ85 (с гребнесмазыванием)	1,31	1,11	7,55	1,96	3,75	1,96
ВЛ85 (без гребнесмазывания)	1,11	1,11	4,32	1,96	2,42	1,96

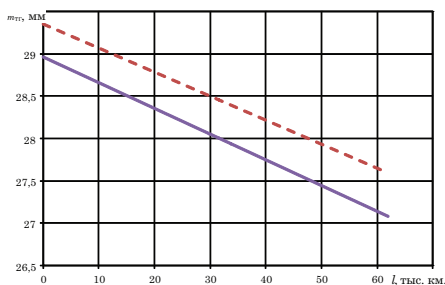


Рис. 2. Зависимость математического ожидания толщины гребня от наработки (локомотивы ВЛ80 Р, бандажи: профиль ГОСТ, без гребнесмазывания) — — — без упрочнения; — — — с упрочнением

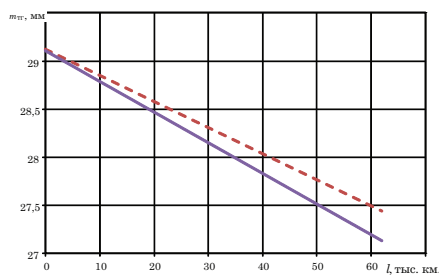


Рис. 3. Зависимости математического ожидания толщины гребня от наработки (локомотивы ВЛ80 Р, бандажи: профиль ГОСТ, с гребнесмазыванием) — — — без упрочнения; — — — с упрочнением

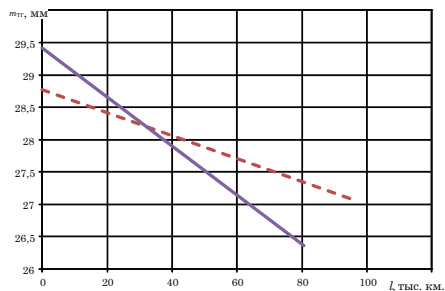


Рис. 4. Зависимости математического ожидания толщины гребня от наработки (локомотивы ВЛ85 Р, бандажи: профиль ГОСТ, без гребнесмазывания) — — — без упрочнения; — — — с упрочнением

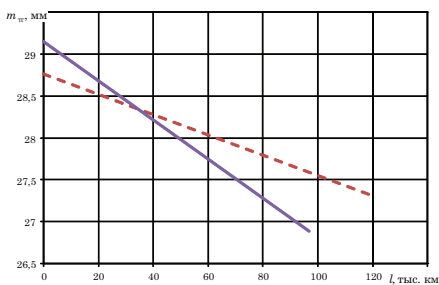


Рис. 5. Зависимости математического ожидания толщины гребня от наработки (локомотивы ВЛ85 Р, бандажи: профиль ГОСТ, с гребнесмазыванием) — — — без упрочнения; — — — с упрочнением

Сравнительный анализ полученных средних значений интенсивности изнашивания (коэффициентов a) и номинальных значений (коэффициентов b) уравнений регрессий среднего значения толщины гребня $m_{ТГ}(l)$ выполнялся на основании проверки статистических гипотез об их равенстве. Методика такого анализа описана выше.

Основные выводы после проведения анализа:

- используемые в настоящее время технологии, направленные на снижение износа гребней (применение плазменного упрочнения), оказывают влияние на величину интенсивности износа по толщине гребня;
- влияние технологий неоднозначно для разных серий локомотивов, эксплуатирующихся в различных условиях. В отдельных случаях наблюдается фактическое увеличение интенсивности износа при прогнозируемом ее уменьшении;
- анализ зависимостей математического ожидания толщины гребней бандажей колесных пар от наработки (рис. 3–5) показал увеличение интенсивности износа бандажей колесных пар, подвергнутых упрочнению, по сравнению с колесными парами, не подвергавшимися упрочнению. Причем для электровозов ВЛ80^Р, эксплуатирующихся в депо Улан-Удэ, это увеличение несущественно. А для электровозов ВЛ85 увеличение интенсивности изнашивания гребней существенное: в два раза. Причинами могут быть некачественный материал, применяемый для изготовления бандажей, низкий уровень квалификации технического персонала, проводившего операции упрочнения, и, как следствие, несоблюдение технологии поверхностного упрочнения деталей. Также возможно воздействие влияния технических особенностей локомоти-

вов, профиля пути и климатических условий эксплуатации подвижного состава. Нельзя исключать и человеческий фактор при сборе и систематизации информации.

Немаловажным представляется более тщательное изучение триботехнических свойств системы «колесо-рельс». Согласно рекомендациям Международного союза железных дорог, твердость колес и рельсов должна быть примерно одинакова. Данное утверждение подтверждается испытаниями, проводимыми в институте трибологии в Мангейме [6]. И. В. Крагельский в своей работе указывает, что для передачи крутящего момента и обеспечения сцепления колеса с рельсом необходимо внедрение колеса в опорную поверхность рельса. При этом для обеспечения протекания нормального износа в системе «колесо-рельс» с проскальзыванием до 10%, соотношения твердостей должно составлять как минимум 1,2:1, то есть при твердости колеса на 20% превышающей твердость рельса [7]. Соглашаясь с этим, А. Е. Балановский в то же время отмечает, что с переходом в конце 50-х годов на объемно-закаленные рельсы, соотношение в паре «колесо-рельс» было нарушено и составляет на сегодняшний день 1:1,4 [8–9].

Применение таких рельсов экономически оправданно, так как затраты на восстановление рабочей поверхности рельса выше, чем затраты на восстановление бандажа, но вместе с тем сильное различие в соотношениях твердостей пары «колесо-рельс» негативно сказывается на фрикционном контакте взаимодействующих поверхностей, что ведет к повышенному проскальзыванию и росту пластической деформации и абразивного износа гребня бандажа. Применение упрочненных бандажей позволяет выровнять этот разброс и повысить долговечность и износостойкость колес, но только

при соблюдении оптимального соотношения твердости колеса и рельса.

Для того чтобы применение упрочнения было действительно эффективно, необходимо провести более детальное исследование

триботехнических свойств применяемых конструкционных материалов пары «колесо-рельс» в конкретных климатических и технических условиях эксплуатации Восточно-Сибирской дороги. ■

Литература

1. Воробьев А. А., Горский А. В. Оценка эффективности технологических методов снижения интенсивности износа бандажей колесных пар // Труды I научно-практической конференции «Ресурсосберегающие технологии на железнодорожном транспорте». — М.: МИИТ, 1998.
2. Воробьев А. А., Горский А. В., Омарбеков А. К., Скребков А. В. Ремонт локомотивов с учетом фактического состояния // Железнодорожный транспорт. М., 2001, № 9.
3. Воробьев А. А., Горский А. В. Надежность электроподвижного состава: учебник для вузов ж.-д. транспорта. М.: Маршрут, 2005. 303 с. ISBN 5-89035-170-2.
4. Воробьев А. А., Скребков А. В., Жакупов К. Б. Анализ надежности электровозов ВЛ80 С в период гарантийного пробега после капитального ремонта // Вестник КАЗАТК, Алматы, 2008, № 3. С. 52. ISSN 1609-1817.
5. Воробьев А. А., Скребков А. В., Жакупов К. Б. Экспертиза отказов как средство усиления гарантий // Мир транспорта, М., 2008, № 9. ISSN 1992-3252.
6. Пути снижения износа колес и рельсов // Железные дороги мира, 2002. № 4. URL: www.css-rzd.ru/zdm/04-2002/01149-1.htm. ISSN 0621-1496.
7. Крагельский И. В., Добычин М. Н., Комбалов В. С. Основы расчетов на трение и износ. М.: Машиностроение, 1977. 526 с.
8. Балановский А. Е., Марютин К. А., Коротаев Е. Н. Плазменное упрочнение гребней колесных пар подвижного состава (результаты работы за пять лет на ВСЖД) / Сб.тр. НПФ Плазмопротек «Ресурсосберегающие технологии и оборудование» к 100-летию ВСЖД. — Иркутск: Плазмопротек, 1998, С. 34–39.
9. Балановский А. Е. Плазменное поверхностное упрочнение металлов: монография / Иркутск: ИрГТУ, 2006. 180 с. ISBN 5-8038-0371-5.

References

1. Vorobjev A.A., Gorskiy A.V. Otsenka effektivnosti tekhnologicheskikh metodov snizheniya intensivnosti iznosa bandazhej kolesnykh par [Efficiency estimation of decrease technological methods of wheel pairs' treads wear rate] // Trudy I nauchno-prakticheskoy konferentsii «Resursosberegajushchie tekhnologii na zheleznodorozhnom transporte». — М. : МИИТ, 1998.
2. Vorobjev A.A., Gorskiy A.V., Omarbekov A.K., Skrebkov A.V. Remont lokomotivov s uchetom fakticheskogo sostojaniya [Locomotives' repair subject to real state] // Zheleznodorozhnyj transport. М., 2001, №9.
3. Vorobjev A.A., Gorskiy A.V. Nadezhnost elektropodvizhnogo sostava [Electric rolling-stock reliability]: uchebnik dlja vuzov zh.-d. Transporta М. : Marshrut, 2005. 303 s. ISBN 5-89035-170-2.
4. Vorobjev A.A., Skrebkov A.V., Zhakupov K.B. Analiz nadezhnosti elektrovozov VL80S v period garantijnogo probega posle kapitalnogo remonta [Reliability analysis of VL80S electric locomotives during warranty run after major overhaul] // Vestnik KAZATK, Almaty, 2008, №3. S. 52. ISSN 1609-1817.
5. Vorobjev A.A. Skrebkov A.V., Zhakupov K.B. Ekspertiza otkazov kak sredstvo usilenija garantij [Failures examination as means of warranty reinforcement] // Mir transporta, М., 2008, №9. ISSN 1992-3252.
6. Puti snizheniya iznosa koles i relsov [The ways of wheels' wear decrease] // Zheleznyje dorogi mira, 2002. №4. URL: www.css-rzd.ru/zdm/04-2002/01149-1.htm. ISSN 0621-1496.
7. Kragelskiy I.V., Dobychin M.N., Kombalov V.S. Osnovy raschetov na trenije i iznos. [The fundamentals of calculation for friction and wear] М. : Mashinostroenie, 1977. 526 s.
8. Balanovskij A.E., Marjutin K.A., Korotaev E.N. Plazmennoe uprochnenie grebnej kolesnykh par podvizhnogo sostava [Plazma reinforcement of rolling-stock wheel pairs flanges] (rezul'taty raboty za pjat let na VSZhD) / Sb.tr. NPF Plazmoprotek «Resursosberegajushchie tekhnologii i oborudovanie» k 100-letiju VSZhD. — Irkutsk: Plazmoprotek, 1998, S. 34–39.
9. Balanovskij A.E. Plazmennoe poverhnostnoe uprochnenie metallov [Plazma surface reinforcement of metals]: monografija / Irkutsk : IrGTU, 2006. 180 s. ISBN 5-8038-0371-5.

УДК 629.421.2

А. П. Буйносов, К. А. Стаценко, В. А. Тихонов

Совершенствование методики контроля шероховатости посадочной поверхности бандажей колесных пар локомотивов

UDC 629.421.2

A. P. Buinosov, K. A. Statsenko, V. A. Tikhonov

Improvement of control technique of mounting surface roughness of engine wheel pairs tires

Аннотация

В статье приведена усовершенствованная методика контроля шероховатости посадочной поверхности бандажей электровозов ВЛ11. Описано устройство для измерения посадочной поверхности бандажа. Приведены результаты сравнительного анализа контроля шероховатости посадочной поверхности бандажей на Екатеринбургском электровозоремонтном заводе, проведенного двумя устройствами. Полученные результаты позволяют утверждать, что оценка шероховатости посадочных поверхностей с помощью предлагаемого устройства по усовершенствованной методике дает более объективные результаты, что позволяет увеличить ресурс колесных пар, уменьшить количество случаев отказов по причине ослабления бандажа на ободу колесного центра.

Ключевые слова:

локомотив, колесная пара, бандаж, шероховатость, методика, контроль.

Abstract

In the article it is presented the improved control technique of mounting surface roughness of VL11 electric locomotives' tires. The device for measuring tire mounting surface is described. There are given the results of comparative analysis of control of tires mounting surface roughness, which was carried out by two devices in Ekaterinburg Electric Locomotive Repair Plant. The received results allow to state, that the estimation of mounting surface roughness by the improved technique and using the suggested device gives the objective results, which helps to increase wheel pairs wear, reduce the amount of failures by reason of tires loosening on the wheel center rim.

Key words:

locomotive, wheel pair, tire, roughness, technique, control.

Александр Петрович Буйносов — канд. техн. наук, доцент; кафедра «Электрическая тяга» Уральского государственного университета путей сообщения, Екатеринбург. Россия. E-mail: buinosov@mail.ru.

Константин Алексеевич Стаценко — канд. техн. наук, доцент; кафедра «Электрическая тяга» Уральского государственного университета путей сообщения, Екатеринбург. Россия. E-mail: kstatsenko@mail.ru.

Виктор Артурович Тихонов — аспирант; кафедра «Электрическая тяга» Уральского государственного университета путей сообщения, Екатеринбург. Россия. E-mail: va.tikhonov@yandex.ru.

Aleksander P. Buinosov — PhD, Associate professor, «Electric traction» department of the Ural State University of Railway Transport; Ekaterinburg, Russia; E-mail: buinosov@mail.ru.

Konstantin A. Statsenko — PhD; «Electric traction» department of the Ural State University of Railway Transport; Ekaterinburg, Russia; E-mail: kstatsenko@mail.ru.

Viktor A. Tikhonov — post-graduate student; «Electric traction» department of the Ural State University of Railway Transport; Ekaterinburg, Russia; E-mail: va.tikhonov@yandex.ru.

Посадка бандажей на колесных центрах путем создания натяга между сопрягаемыми поверхностями — наиболее надежный и простой с точки зрения конструкции и технологии изготовления. Этим объясняется применение данного типа соединения на тяговом подвижном составе, использующем бандажные колесные пары. Прочность соединения зависит от величины натяга, которая определяется инструкцией по формированию, ремонту и содержанию колесных пар тягового подвижного состава.

Однако допущение даже однократной перегрузки соединения в эксплуатации способно вызвать проворот и (или) ослабление бандажа относительно колесного центра. Это главный недостаток метода.

В локомотивных депо Свердловской железной дороги более 5% эксплуатируемых бандажей выходит из строя вследствие ослабления посадки [1]. Замена бандажа требует выкатки колесной пары, что приводит к длительному простоя локомотива в неплановом ремонте и увеличивает эксплуатационные расходы [2].

Вероятность ослабления посадки значительно снижается более плотным прилеганием бандажа к центру колеса. Для этого необходимо, чтобы сопрягаемые поверхности имели круговую цилиндрическую форму без отклонений и установленную шероховатость поверхностей [1, 2].

Прочность соединения зависит от величины силы трения между поверхностями контактирующих деталей, обусловленной контактным сжатием в зоне запрессовки. Согласно молекулярно-механической теории, неполная сила трения, компенсирующая внешние нагрузки, связана с микроскопическими изменениями конфигурации контактирующих тел, локализованных в поверхностных слоях [3].

Основной характеристикой процесса трения является коэффициент трения, описывающий отношение

максимальной силы, которая затрачивается на преодоление контактных связей, к контактной нагрузке. Коэффициенты трения непосредственно зависят от шероховатости обработки сопрягаемых деталей [4]. Процессы трения, происходящие в зоне сопряжения бандажей с колесными центрами при их относительном сдвиге, во многом зависят от состояния поверхностей контакта, которое они приобретают в процессе их обработки на станках.

Инструкцией по формированию и содержанию колесных пар (ЦТ/329) установлена шероховатость внутренней поверхности бандажа и наружной поверхности колесного центра $R_z \leq 20$ мкм. Однако до сих пор не решены вопросы эффективного способа контроля шероховатости этих поверхностей. Согласно инструкции, шероховатость рассматриваемых поверхностей определяют сравнением с эталонами. Этот способ визуальный и, следовательно, субъективный. Существенный резерв повышения прочности пары сопряжения «колесный центр — бандаж» кроется в совершенствовании способа контроля шероховатости.

В настоящее время разработаны и продолжают совершенствоваться профилографы для объективного контроля параметров шероховатости поверхности [5, 6].

Определение величины шероховатости на практике лучше производить прямо на карусельном станке. При этом бандаж находится в горизонтальной плоскости, а образующая посадочной поверхности, подлежащей контролю, — в вертикальной. Использование разработанного на кафедре «Электрическая тяга» Уральского государственного университета путей сообщения прибора [7] в данной ситуации не обеспечивает достаточного прижатия измерительной головки к поверхности, что увеличивает погрешность измерения на столе карусельного станка.

В связи с этим было разработано конструктивно новое специализированное устройство для измерения шероховатости поверхности бандажа на карусельном станке (рис. 1) [6].

Измерительная головка 1, установлена с помощью зажима 2 для крепления стержней под прямым углом на трубке 3, которая с помощью болтов 4 закреплена на рейке 5, имеющей упор 6. Упор позволяет фиксировать одинаковое расстояние между измерительной головкой и контролируемой поверхностью при установке приспособления.

Для проведения измерений необходимо отвинтить гайку 7, шпильку 8 опустить до упора, гайку 9 и освободившуюся рейку 10 повернуть на 90°. Подвести приспособление под бандаж, установленный на станке, вернуть рейку 10 в исходное положение и с помощью гаек 7 и 11 зафиксировать устройство, как показано

на рис. 1. Установить с помощью рычага 12 стрелку измерительной головки в нулевое положение. Повернуть зажим 2 и трубку 3 вместе с державкой 13 и закрепленной в ней головкой относительно оси трубки до касания наконечником 14 поверхности бандажа, о чем можно судить по реакции стрелки, проверить надежность зажатия винта зажима и, вращая против часовой стрелки винт микроподдачи 15, измерить шероховатость поверхности.

Устройство делает доступными для контроля все участки посадочной поверхности бандажа непосредственно на станке, позволяет осуществлять плавную подводку иглы измерительной головки к бандажу после обточки резцом посадочной поверхности.

Был произведен контроль шероховатости посадочных поверхностей у $n = 44$ бандажей колесных пар электровозов ВЛ11 на Екатеринбургском

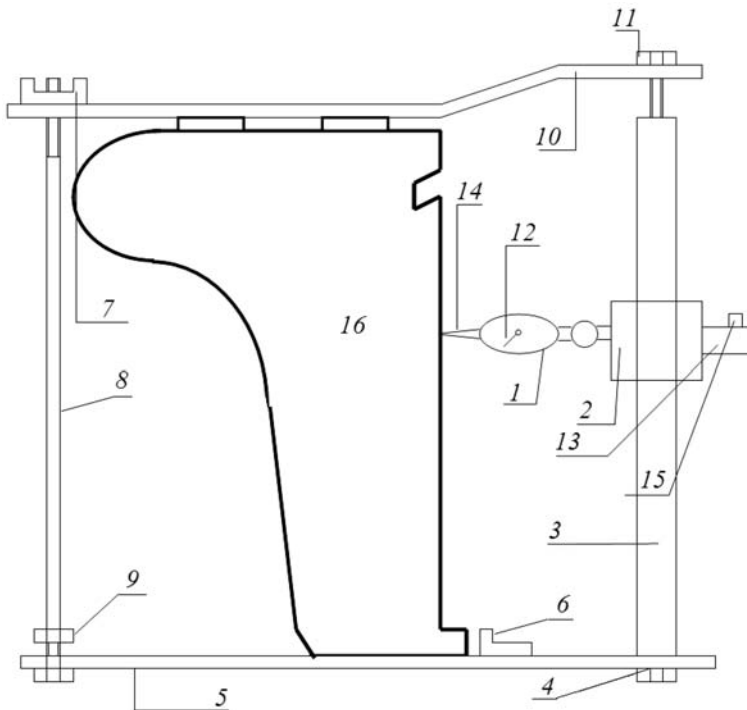


Рис. 1. Устройство для измерения посадочной поверхности бандажа
1 — измерительная головка типа ИРПВ; 2 — зажим; 3 — трубка; 4 — болт; 5, 10 — рейки;
6 — упор; 7, 9, 11 — гайки; 8 — шпилька; 12 — рычаг; 13 — державка; 14 — наконечник;
15 — винт микроподдачи

электровозоремонтном заводе (ЕЭРЗ) с целью сравнения измерительных свойств разработанных прибора и нового устройства. Прибором производился контроль бандажей, находящихся на стенде магнитной дефектоскопии, устройство использовалось для измерения шероховатости посадочных бандажей на столе карусельного станка. В результате были получены значения R_{Zi}' и R_{Zi} , соответствующие устройству и прибору.

Ошибка измерений определена как разность величин шероховатостей $\Delta_i = R_{Zi} - R_{Zi}'$. Средняя ошибка измерений составляют $\bar{\Delta} = 0,0909$ мкм, среднеквадратическое отклонение $\sigma_{\Delta} = 1,1570$ мкм. Функция распределения $F(\Delta)$ в пределах выборки объема n приведена на рис. 2.

Для решения вопроса о согласованности измерительных свойств примененных устройства и прибора измеренные значения рассматривались как выборки из нормально распределенной генеральной совокупности со средним значением m_1 и дисперсией σ_1^2 для значений R_{Zi} , величинами m_2 и σ_2^2 для значений R_{Zi}' . Если гипотеза верна, то $m_1 - m_2 = m_{\Delta} = 0$, и ряд значений Δ_i является выборкой объема n из нормально распределенной генеральной совокупности

со средними значениями m_{Δ} и дисперсией σ_{Δ}^2 [5].

Критерий Стьюдента с выборочной функцией:

$$\hat{t} = \frac{\bar{\Delta} - m_{\Delta}}{\sigma_{\Delta}} \sqrt{n}. \quad (1)$$

Расчетные значения t -критерия сравнивали с предельными $t_{\alpha, m}$ для критической области $|\hat{t}| \geq t_{\alpha, m}$ при уровне значимости $\alpha = 0,01$ и $m = n - 1$ степенями свободы. В результате установлено, что $|\hat{t}| < t_{\alpha, m}$; гипотеза подтверждается [8].

Для сопоставления точности результатов, полученных двумя устройствами, использованы методы факторного анализа [9]. Точность определяется из соотношения

$$d_i^2 = 1 - a_i^2, \quad (2)$$

где a_i — нагрузка общего фактора между параметрами R_{Zi}' и R_{Zi} .

$$a = r_{12} \frac{\sigma_2}{\sigma_1}, \quad (3)$$

где r_{12} — коэффициент корреляции между параметрами R_{Zi}' и R_{Zi} .

В результате расчета факторных нагрузок, проведенного двухфактор-

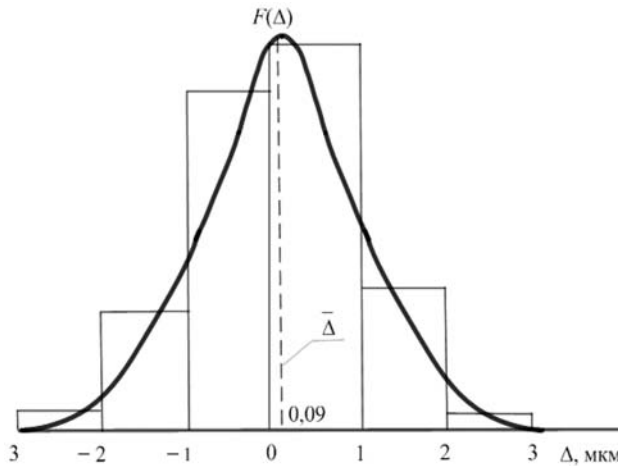


Рис. 2. Распределение ошибки в определении разности величины шероховатости бандажей, измеренной устройством и прибором

ным методом, получено значение $d_i = 0,120$. Это значение соответствует точности применяемой в предложенном устройстве микрометрической головки.

С целью определения зависимости интенсивности отказов бандажей от чистоты обработки их внутренних поверхностей велись наблюдения за 905 колесными парами электровозов серии ВЛ11, у которых шероховатость посадочных поверхностей бандажей были замерены прибором [3]. За каждым бандажом велись наблюдения во время эксплуатации и фиксировались случаи ослабления бандажа на колесном центре и пробег L от ремонта до момента отказа [8].

Приведенный в [3] метод кусочно-линейной аппроксимации для определения допустимых значений разности в диаметрах бандажей колесной пары в эксплуатации можно использовать и для определения порогового значения (предельно допустимой величины) шероховатости посадочной поверхности бандажа колесной пары электроваза.

Отказ бандажа при определенных значениях наработки является случайной величиной. Поэтому для определения зависимостей контролируемого параметра (количества отказов) от пробега использовались методы регрессионного анализа с последующей аппроксимацией линейными функциями вида

$$o_i = \lambda_i L + b, \quad (4)$$

где o_i — количество отказов при фиксированном значении R_{Zi} ; L — пробег от ремонта до отказа (проворота или ослабления); b — свободные члены уравнения; λ_i — угловые коэффициенты, определяющие интенсивность отказов.

В результате измерений определена экспериментальная зависимость $\lambda'(R_Z)$, которую необходимо аппроксимировать теоретической функцией $\lambda(R_Z)$ [10].

В первом приближении функцию интенсивности отказов бандажа можно представить в виде двух линейчатых отрезков, каждый из которых соответствует одному из двух характерных периодов — нормальной эксплуатации и интенсивному нарастанию количества отказов [3, 10]:

$$\begin{cases} \lambda_1(R_Z) = A_1 R_Z + B_1, & R_Z \leq R_{Z1}; \\ \lambda_2(R_Z) = A_2(R_Z - R_{Z1}) + B_2, & R_{Z1} \leq R_Z, \end{cases} \quad (5)$$

где A_1, A_2, R_{Z1}, B_1 и B_2 — коэффициенты.

Часть коэффициентов в формуле (5) является избыточной по условию непрерывности функции $\lambda(R_Z)$. Граничное равенство:

$$\begin{aligned} \lambda_1(R_{Z1}) &= \lambda_2(R_{Z1}), \\ B_2 &= A_1 R_{Z1} + B_1. \end{aligned} \quad (6)$$

Из выражений (5) и (6) следует окончательный вид функции интенсивности отказов:

$$\begin{cases} \lambda_1(R_Z) = A_1 R_Z + B_1, & R_Z \leq R_{Z1}; \\ \lambda_2(R_Z) = A_2(R_Z - R_{Z1}) + \\ + A_1 R_{Z1} + B_1, & R_{Z1} \leq R_Z. \end{cases} \quad (7)$$

Аппроксимация даст наиболее точные результаты в случае минимального расхождения функций $\lambda(R_Z)$ и $\lambda'(R_Z)$. С учетом требований метода наименьших квадратов целевая функция примет вид [3]

$$Z = \sum_{i=1}^n [\lambda(R_{Zi}) - \lambda_i]^2 \Rightarrow \min. \quad (8)$$

Подставляя (7) в (8)

$$\begin{aligned} Z &= \sum_{R_{Zi} \leq R_{Z1}} [A_1 R_{Zi} + B_1 - \lambda_i]^2 + \\ &+ \sum_{R_{Zi} \leq R_{Z1}} \left[\frac{A_2(R_{Zi} - R_{Z1})}{A_1 R_{Z1} + B_1 + \lambda_i} \right]^2 \Rightarrow \min. \end{aligned} \quad (9)$$

Учитывая, что величина R_{Z1} совпадает с граничным значением линейных отрезков функции $\lambda'(R_Z)$, область его применения ограничена

набором $R_{Z1}; R_{Z2}, \dots; R_{Zn}$. Поэтому для понижения порядка системы неизвестных величин целесообразно зафиксировать значение R_{Z1} и определить локальный минимум целевой функции Z , затем повторить решение при другом значении R_{Z1} , обеспечивающем наименьшее значение целевой функции Z . Таким образом, при фиксированном значении R_{Z1} минимизируется функция трех аргументов $Z(A_1, A_2, B_1)$.

При решении этой задачи был использован метод «скорейший спуск», предложенный для численных методов решения уравнений [5]. Вычисления сводятся к построению последовательной группы чисел $A_{1,k}, A_{2,k}, B_{1,k}$, представляющих собой произвольную совокупность, по возможности близкую к какому-либо из решений уравнения (9).

Вычисления производятся по формулам

$$\begin{aligned} A_{1,k+1} &= A_{1,k} - \lambda_k \frac{\partial Z(A_{1,k}; A_{2,k}; B_{1,k})}{\partial A_1}, \\ A_{2,k+1} &= A_{2,k} - \lambda_k \frac{\partial Z(A_{1,k}; A_{2,k}; B_{1,k})}{\partial A_2}, \\ B_{1,k+1} &= B_{1,k} - \lambda_k \frac{\partial Z(A_{1,k}; A_{2,k}; B_{1,k})}{\partial B_1}, \end{aligned} \quad (10)$$

где λ_k — масштабирующий коэффициент, определяемый по методу Ньютона.

$$\lambda_k = \frac{Z(A_{1,k}; A_{2,k}; B_{1,k})}{\left[\frac{\partial Z(A_{1,k}; A_{2,k}; B_{1,k})}{\partial A_1} \right]^2 + \left[\frac{\partial Z(A_{1,k}; A_{2,k}; B_{1,k})}{\partial A_2} \right]^2 + \left[\frac{\partial Z(A_{1,k}; A_{2,k}; B_{1,k})}{\partial B_1} \right]^2}. \quad (11)$$

Таблица 1

Результаты расчета параметров

Величина шероховатости R_{Z1} , мкм	Коэффициенты линейных функций $\lambda (R_Z)$			Целевая функция Z , $(1/10^6 \text{ км})^2$
	A_1 , $(1/10^6 \text{ км/мкм})$	A_2 , $(1/10^4 \text{ км/мкм})$	B_1 , $(1/10^6 \text{ км})$	
25,71	0,0009	0,0044	0,0352	0,3125

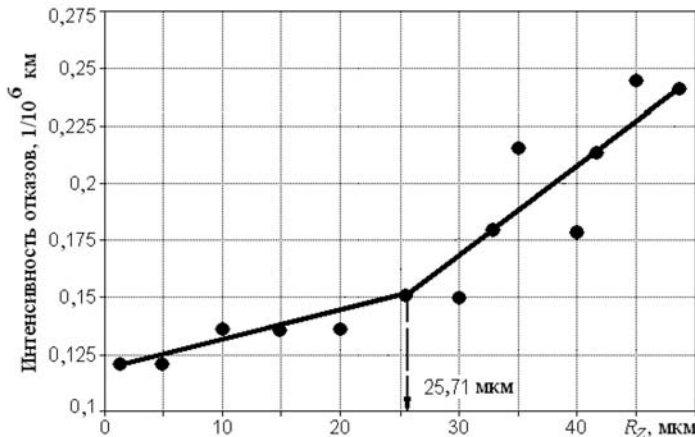


Рис. 3. Зависимость интенсивности отказов колесных пар от шероховатости обработки посадочных поверхностей бандажей

Частные производные функции по параметрам A_1 , A_2 и B_1 :

$$\begin{aligned} \frac{\partial Z}{\partial A_1} &= 2 \sum_{R_{zi} \leq R_{z1}} [A_1 R_{zi} + B_1 - \lambda_i] R_{zi} + \\ &+ 2 \sum_{R_{z1} < R_{zi}} [A_2 (R_{zi} - R_{z1}) + \\ &+ A_1 R_{z1} + B_1 + \lambda_i] R_{z1}; \\ \frac{\partial Z}{\partial A_2} &= 2 \sum_{R_{z1} < R_{zi}} [A_2 (R_{zi} - R_{z1}) + \\ &+ A_1 R_{z1} + B_1 - \lambda_i] (R_{zi} - R_{z1}); \\ \frac{\partial Z}{\partial B_1} &= 2 \sum_{R_{zi} \leq R_{z1}} [A_1 R_{zi} + B_1 - \lambda_i] + \\ &+ 2 \sum_{R_{z1} < R_{zi}} [A_2 (R_{zi} - R_{z1}) + \\ &+ A_1 R_{z1} + B_1 + \lambda_i]. \end{aligned} \quad (12)$$

Результаты расчета параметров приведены в таблице 1, а функция интенсивности отказов бандажей $\lambda'(R_Z)$ в виде отрезков прямых на представлена рис. 3.

Величина $R_Z = 25,71$ мкм — пороговая, после которой интенсивность

отказов (проворот и ослабление бандажа на ободе колесного центра) существенно увеличивается. Предельно допустимой величиной шероховатости следует считать $R_Z = 25$ мкм в соответствии с рядом числовых значений параметра шероховатости R_Z . Для ее обеспечения следует использовать разработанное устройство, относительная точность измерения которого составляет $\pm 0,5$ мкм.

Оценка шероховатости посадочных поверхностей с помощью предлагаемого устройства по методике [3] позволяет увеличить долговечность (полный ресурс) бандажей на 54,5 тыс. км.

Таким образом, оценка шероховатости посадочных поверхностей с помощью предлагаемого устройства дает более объективные результаты, что позволяет существенно повысить надежность и ресурс бандажей колесных пар, уменьшить количество случаев ослабления, а также эксплуатационные расходы. ■

Литература

- Исаев И. П., Горский А. В., Воробьев А. А., Буйносов А. П. Влияние шероховатости посадочных поверхностей на надежность сочленения «бандаж — обод» // Вестник ВНИИЖТ. — 1991. — № 1. — С. 27–29.
- Буйносов А. П. Влияние шероховатости посадочных поверхностей на надежность соединения «бандаж — обод» и ресурс колесных пар тягового подвижного состава // Вестник УрГУПС. — 2009. — № 3–4. — С. 77–86. ISSN 2079-0392.
- Буйносов А. П. Основные причины интенсивного износа бандажей колесных пар подвижного состава и методы их устранения. — Екатеринбург: Изд-во УрГУПС, 2009. — 224 с. ISBN 978-5-94614-148-2.
- Буйносов А. П. Повышение надежности бандажей // Железнодорожный транспорт. — 1996. — № 12. — С. 23–24. ISSN 0044-4448.
- Буйносов А. П. Методы повышения ресурса колесных пар тягового подвижного состава: Монография. — ГОУ «УМЦ по образованию на железнодорожном транспорте», 2010. — 244 с. ISBN 978-5-9994-0038-3.
- Стаценко К. А. Повышение долговечности колесных пар электровозов технологическими методами: Дисс... канд. техн. наук. — Екатеринбург, 2004. — 159 с.
- Буйносов А. П. Влияние шероховатости посадочных поверхностей на надежность соединения «бандаж — обод» // Вестник УрГУПС. — 2010. — № 1. — С. 49–58.
- Буйносов А. П. Методика контроля шероховатости посадочных поверхностей, обеспечивающая надежность соединения «бандаж — обод» колесных пар тягового подвижного состава // Вестник транспорта Поволжья. — 2010. — № 2. — С. 5–14. ISSN 1997-0722.
- Буйносов А. П. Определение допустимой разности диаметров бандажей колесной пары электровозов // Вестник РГУПС. — 2010. — № 4. — С. 25–34. ISSN 0201-727X.
- Буйносов А. П. Определение допустимой разности диаметров бандажей колесных пар тягового подвижного состава методом последовательных включений // Вестник транспорта Поволжья. — 2010. — № 3. — С. 54–63. ISSN 1997-0722.

References

1. Isaev I. P., Gorsky A. V., Vorobjev A. A., Buinosov A. P. Vliyaniye sherokhovatosti posadochnykh poverkhnostey na nadezhnost sochleneniya «bandazh — obod» [Influence of mounting surface roughness on reliability of «tire-rim» joint] // Vestnik VNIIZhT. № 1. 1991. — S. 27–29.
2. Buinosov A. P. Vliyaniye sherokhovatosti posadochnykh poverkhnostey na nadezhnost soedineniya «bandazh — obod» i resurs kolesnykh par tyagovogo podvizhnogo sostava [Influence of mounting surface roughness on reliability of «tire — rim» joint and resource of wheel pairs of traction rolling stock] // Vestnik UrGUPS. № 3–4. 2009. — S. 77–86. ISSN 2079-0392.
3. Buinosov A. P. Osnovnye prichiny intensivnogo iznosa bandazhey kolesnykh par podvizhnogo sostava i metody ih ustraneniya [The main reasons of intensive wear of wheel pairs tires of rolling stock and methods of their elimination]. — Ekaterinburg: Izd-vo UrGUPS, 2009. — 224 s. ISBN 978-5-94614-148-2.
4. Buinosov A. P. Povysheniye nadezhnosti bandazhey [Tires' reliability improvement] // Zheleznodorozhnyy transport. № 12. 1996. — S. 23–24. ISSN 0044-4448.
5. Buinosov A. P. Metody povysheniya resursa kolesnykh par tyagovogo podvizhnogo sostava [Methods of wheel pairs' resource increase of traction rolling stock: monografiya]. M.: GOU «UMC po obrazovaniyu na zheleznodorozhnom transporte», 2010. — 244 s. ISBN 978-5-9994-0038-3.
6. Statsenko K. A. Povysheniye dolgovechnosti kolesnykh par elektrovozov tekhnologicheskimi metodami [Increase of electric locomotives wheel pairs durability by technological methods]: Diss... na soisk. uch. st. kand. tekhn. nauk. — Ekaterinburg, 2004. — 159 s.
7. Buinosov A. P. Vliyaniye sherokhovatosti posadochnykh poverkhnostey na nadezhnost soedineniya «bandazh — obod» [Influence of mounting surfaces roughness on reliability of «tire-rim» joint] // Vestnik UrGUPS. № 1. 2010. — S. 49–58. ISSN 2079-0392.
8. Buinosov A. P. Metodika kontrolya sherokhovatosti posadochnykh poverkhnostey, obespechivayushchaya nadezhnost soedineniya «bandazh — obod» kolesnykh par tyagovogo podvizhnogo sostava [Methods of control of mounting surfaces roughness that provide reliability of «tire — rim» joint of wheel pairs of traction rolling stock] // Vestnik transporta Povolzhya. № 2. 2010. — S. 5–14. ISSN 1997-0722.
9. Buinosov A. P. Opredeleniye dopustimoy raznosti diametrov bandazhey kolesnoj pary elektrovozov [Detection of permitted diameters difference of wheel pair tires of electric locomotives] // Vestnik RGUPS № 4. 2010. — S. 25–34. ISSN 0201-727X.
10. Buinosov A. P. Opredeleniye dopustimoy raznosti diametrov bandazhey kolesnykh par tyagovogo podvizhnogo sostava metodom posledovatelnykh vklyuchenij [Detection of permitted diameters difference of wheel pairs tires of traction rolling stock by method of series mode] // Vestnik transporta Povolzhya. № 3. 2010. — S. 54–63. ISSN 1997-0722.

Статья сдана в редакцию 10 октября 2011 года

УДК 629.421.3.083:004.9

И. С. Цихалевский, О. И. Ветлугина, М. М. Кудаяров

Определение оптимальных параметров технологического процесса ремонта тягового подвижного состава

UDC 629.421.3.083:004.9

I. S. Tsikhalevskiy, O. I. Vetlugina, M. M. Kudayarov

Optimal parameters determination of technological process of traction electrical equipment repair

Аннотация

Предложена математическая модель оптимизации периодичности ремонта тягового подвижного состава, позволяющая создать математический аппарат, с помощью которого можно обосновать периодичность ремонта ЭПС, вести эффективный контроль и совершенствовать технологические операции ремонта получать всю необходимую для оптимизации информацию о реальном процессе ремонта.

Задача оптимизации периодичности ремонта тягового подвижного состава относится к комбинаторному классу задач — с упорядочением во времени и на длине различных процессов и работ (частично уже упорядоченных в силу технологической последовательности их выполнения). Задача рассмотрена в традиционной постановке, то есть с учетом технологической последовательности работ, норм и правил.

Ключевые слова:

математическая модель; оптимизация; периодичность ремонта; совершенствование операций; структура ремонтного цикла.

Abstract

In the article it is offered the mathematical model of repair frequency optimization of traction electrical equipment, which allows to make a mathematical apparatus, which in its turn helps to ground repair frequency of traction electrical equipment, to carry out effective control, improve technological repair operations and also get all information about actual repair process necessary for optimization.

Optimization task of traction electrical equipment repair frequency refers to tasks of combinatorial class with time regulation and on the length of various processes and works (which are partly regulated under manufacturing sequence of their execution). The task is considered in traditional formulation, notably, taking into account technological sequence of works, norms and rules.

Key words:

mathematical model; optimization; repair frequency; operations improvement; repair cycle structure.

Игорь Станиславович Цихалевский — канд. техн. наук, доцент; кафедра «Электрическая тяга» Уральского государственного университета путей сообщения; Екатеринбург, Россия. E-mail: ITsikhalevsky@et.usurt.ru.

Ольга Ивановна Ветлугина — ст. преподаватель; кафедра «Электрическая тяга» Уральского государственного университета путей сообщения; Екатеринбург, Россия. E-mail: ovetluga@mail.ru.

Михаил Маликович Кудаяров — аспирант; кафедра «Электрическая тяга» Уральского государственного университета путей сообщения; Екатеринбург, Россия. E-mail: m_kudayarov@mail.ru.

Igor S. Tsikhalevsky — PhD, Associate professor of «Electric traction» department of the Ural State University of Railway Transport; Ekaterinburg, Russia; E-mail: ITsikhalevsky@et.usurt.ru.

Olga I. Vetlugina — senior lecturer of «Electric traction» department of the Ural State University of Railway Transport; Ekaterinburg, Russia; E-mail: ovetluga@mail.ru.

Mikhail Malikovich Kudayarov — post-graduate student of «Electric traction» department of the Ural State University of Railway Transport; Ekaterinburg, Russia; E-mail: m_kudayarov@mail.ru.

От качества проведения ремонта оборудования, своевременного выполнения объема ремонтов во многом зависит успешная работа локомотивного хозяйства в целом. Поэтому в настоящее время актуальным является решение задач по оптимизации параметров технологического процесса ремонта тягового подвижного состава.

Для решения данных задач необходимо повсеместно проводить многолетние испытания, что является экономически невыгодным в условиях работы ремонтных предприятий. Поэтому целесообразно разработать такую модель, которая позволяла бы проследить технологический процесс восстановления оборудования, учитывая все влияющие на него факторы. Это связано с большим объемом вычислений, выполнить которые невозможно без применения современной вычислительной техники. Такая модель позволит за очень короткое время получать всю необходимую для оптимизации информацию о реальном процессе ремонта.

Последовательность наступления отказов оборудования в процессе эксплуатации локомотива можно представить в виде следующей модели [1]. Наблюдение за новым (отремонтированным) оборудованием начинается в момент времени $l = 0$ (рис. 1). После функционирования в течение времени (наработки) τ_1 возникает отказ, затем происходит восстановление или оборудование заменяют новым за время намного меньшее, чем наработка до отказа l_i . После наработки τ_2 оборудование отказывает, его снова ремонтируют или заменяют однотипным работоспособным. Далее процесс развивается аналогично.

Поскольку все отказы возникают под действием одних и тех же факторов, естественно предположить, что наработки между отказами $\tau_1, \tau_2, \dots, \tau_i, \dots, \tau_n$ имеют один и тот же закон распределения

$$F(l) = P\{\tau < l\}. \quad (1)$$

Моменты отказов $l_1 = \tau_1, l_2 = \tau_1 + \tau_2, \dots, l_n = \tau_1 + \tau_2 + \dots + \tau_n$ образуют случайный поток, называемый процессом восстановления. Процесс восстановления оборудования локомотивов можно оценивать следующими показателями безотказности: вероятность безотказной работы, средняя наработка на отказ и параметры потока отказов.

Вероятность безотказной работы — это вероятность того, что наработка до отказа τ оборудования окажется не меньше l [1]:

$$P(l) = \{ \tau \geq l \}. \quad (2)$$

Так как отказ и безотказная работа суть события противоположные, то вероятность отказа

$$Q(l) = P\{\tau < l\} = F(l) = 1 - P(l). \quad (3)$$

Вероятность безотказной работы и вероятность отказов оценивают по статистическим данным о наработках до отказа. Для этого испытывают (наблюдают) N -е количество экземпляров одноименного оборудования. Испытание продолжается до отказа элемента, после чего наблюдение прекращается (происходит выборка без возврата отказавших элементов). После отказа последнего N -го элемента получают выборку значений наработки до отказа $\tau_1, \tau_2, \dots, \tau_n$.

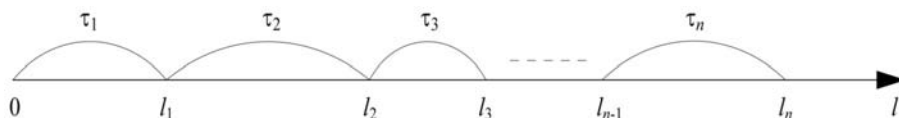


Рис. 1. Модель процесс-восстановления

Если задавать некоторое значение наработки l , легко найти $m(l)$ — число элементов, отказавших за время l , и $n(l)$ — число элементов, сохранивших работоспособное состояние в течение этого времени.

Оценками вероятности безотказной работы $P^*(l)$ и вероятности отказа $Q^*(l)$ будут отношения:

$$P^*(l) = n(l)/N, \quad (4)$$

$$Q^*(l) = m(l)/N. \quad (5)$$

Поскольку для любого t сумма $m(l) + n(l) = N$, то $P^*(l) + Q^*(l) = 1$.

Средняя наработка на отказ — математическое ожидание случайной величины наработки на отказ

$$L_0 = M(\tau) = \int_0^{\infty} lf(l)dl, \quad (6)$$

где $f(l)$ — функция плотности распределения наработки на отказ, $f(l) = \frac{dH(l)}{dl}$.

Оценкой средней наработки на отказ L_0^* служит среднее арифметическое значение наработок до отказа испытываемых элементов

$$L_0^* = \frac{1}{N} \sum_{i=1}^N \tau_i. \quad (7)$$

Определение параметра потока отказов осуществляется на основе функции восстановления $F(l)$ — среднего числа отказов $F^*(l)$ экземпляра оборудования за наработку l .

$$F(l) = M\{F^*(l)\}. \quad (8)$$

Для опытного определения $F(l)$ наблюдают за N экземплярами однотипного оборудования и фиксируют число отказов каждого из них в течение наработки t .

Оценка среднего числа отказов, приходящихся на один экземпляр рассматриваемого оборудования, за наработку l определяется следующим образом:

$$F_{cp}^*(l) = \frac{1}{N} \sum_{i=1}^N F_i^*(l). \quad (9)$$

По объединенному процессу восстановления, полученному в результате наложения N процессов конкретных экземпляров оборудования, можно графически представить $F_{cp}^*(l)$ (рис. 2). Зависимость $F_{cp}^*(l)$ представляет собой ступенчатую линию, величина $F_{cp}^*(l)$ сохраняет постоянное значение в промежутке между отказами отдельных экземпляров оборудования и возрастает скачком на $1/N$

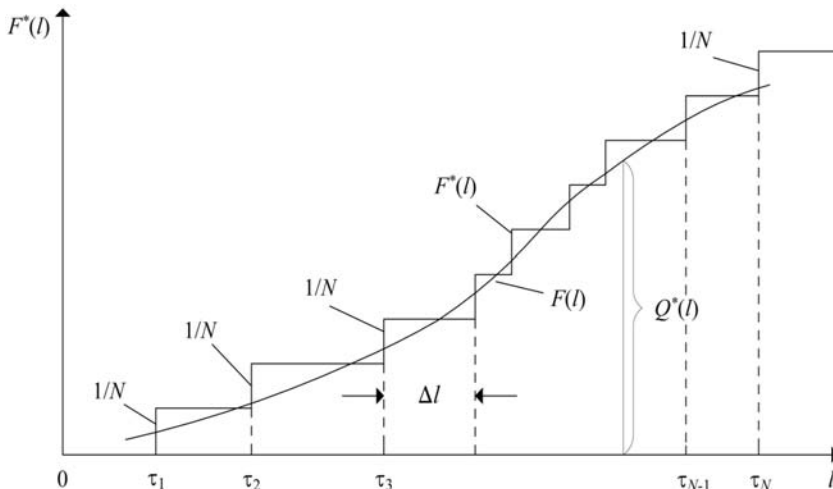


Рис. 2. Функция процесса восстановления

в момент очередного отказа. Чем большее число экземпляров однотипного оборудования будет поставлено под наблюдение, тем меньше будет интервал наработки l между соседними отказами и меньше окажется скачок $1/N$. В пределе при $N \rightarrow \infty$ ступенчатая линия стремится к некоторой непрерывной и плавной кривой $F(l)$, которая и является ведущей функцией процесса восстановления [2], то есть

$$F(l) = \lim_{N \rightarrow \infty} \sum_{i=1}^N \frac{F_i^*}{N}. \quad (10)$$

По функции восстановления определяется параметр потока отказов оборудования

$$\omega(l) = \frac{dF(l)}{dl}, \quad (11)$$

который характеризует скорость нарастания числа отказов при различных значениях наработки.

Параметр потока отказов оценивается по статическим данным с помощью выражения

$$\omega^*(l) = \frac{\Delta n}{N \Delta l}, \quad (12)$$

где Δn — число отказов рассматриваемых элементов в интервале наработки; Δl , N — общее число агрегатов, находящихся под наблюдением.

Оценку параметра потока отказов целесообразно осуществлять на основе информации о наработках между отказами оборудования локомотивов, обусловленными какой-либо конкретной причиной (например, сдвиг бандажа, пробой изоляции и т. п.). Для этого по наработкам между отказами отдельных экземпляров оборудования строят объединенный процесс восстановления (рис. 2).

Период наблюдения за объединенным процессом восстановления разбивают на более мелкие интервалы Δl . По числу отказов Δl в каждом

интервале наработки Δl определяют оценку параметра потока отказов $\omega^*(l)$ по формуле (12).

Сбор статистического материала производился по годовым анализам о техническом состоянии локомотивов на ремонтном локомотивном депо Пермь-сортировочная за 2010 год. Депо осуществляет текущие ремонты ТО-2, ТР-1 и ТР-2. Необходимые сведения о наработках оборудования электровоза ВЛ11 до отказа взяты из документов, используемых в повседневной практике работы в депо при проведении ремонтов. Статистические данные об отказе оборудования (неплановый ремонт) приведены на рис. 3.

На основе диаграммы отказов оборудования построена диаграмма вероятности отказа оборудования электровоза ВЛ11 после текущих ремонтов в 2010 году (рис. 4).

Характер диаграммы (рис. 4) свидетельствует об ухудшении ремонта тяговых двигателей, приборов безопасности, механического оборудования, вспомогательных машин и улучшении ремонта автотормозного оборудования, колесных пар и зубчатых передач, а также прочего оборудования. Это объясняется качеством ремонта оборудования и разницей технологий ремонтов.

Для того чтобы обеспечивался принятый уровень надежности, то есть вероятность безотказной работы каждой детали была не менее $\gamma\%$, необходимо ремонтировать детали (производить восстановление контролируемых параметров до их персональных значений) при пробегах L , не превышающих гамма-процентные ресурсы детали

$$L_i \leq \gamma_i \quad (i = 1, 2, \dots, n), \quad (13)$$

где L_i — межремонтный пробег i -й детали; γ_i — гамма-процентный ресурс; n — число деталей, лимитирующих межремонтные пробеги локомотива.

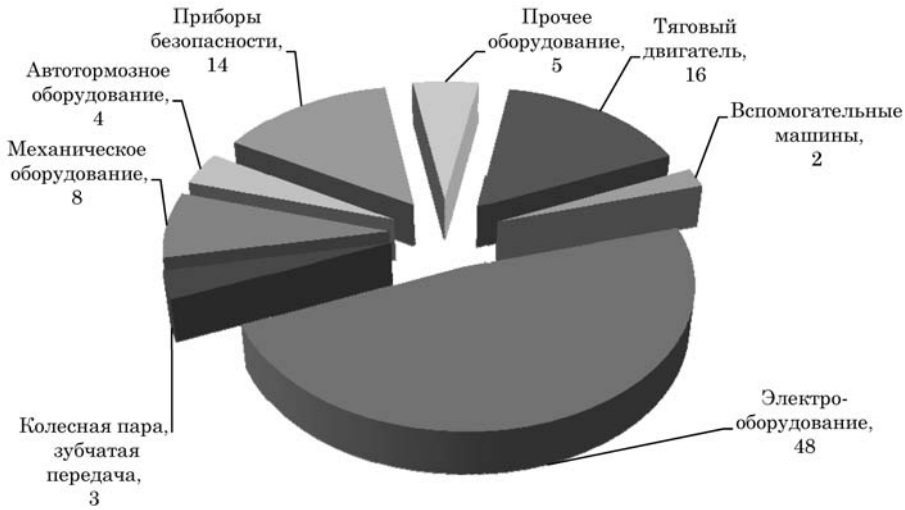


Рис. 3. Отказы оборудования, 2010 г. (неплановый ремонт), %

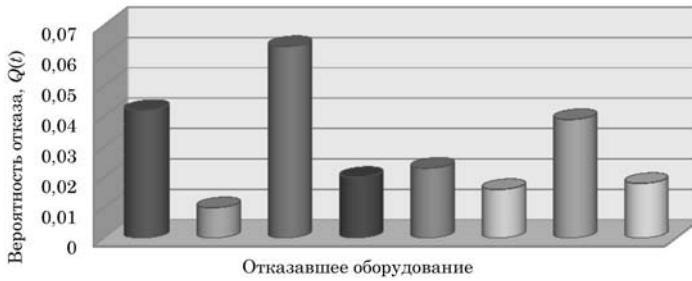


Рис. 4. Вероятности отказа оборудования, 2010 г.

- тяговый двигатель
- электрооборудование
- механическое оборудование
- приборы безопасности
- вспомогательные машины
- колесная пара, зубчатая передача
- автотормозное оборудование
- прочее оборудование

Система ремонта локомотивов строится на основании принципа кратности пробегов между ремонтами с различными объемами. При этом перечень работ каждого следующего более крупного по объему ремонта включаются все работы предыдущего, меньшего по объему, ремонта — это удовлетворяет принцип кратности межремонтных пробегов всех деталей.

Упорядочим детали по мере возрастания их гамма-процентного ресурса:

$$\gamma_1 \leq \gamma_2 \leq \dots \leq \gamma_n. \quad (14)$$

Естественно, что в силу соотношения (13) межремонтные пробеги этих деталей будут расположены в той же последовательности:

$$L_1 \leq L_2 \leq \dots \leq L_n. \quad (15)$$

Будем считать, что цифра индекса L_i является номером этой детали.

Соблюдение принципа кратности требует, чтобы для любых двух следующих друг за другом деталей отношение их межремонтных пробегов было целым числом, называемым коэффициентом кратности:

$$a_i = L_i/L_{i-1}, \quad i = 2, 3, 4, \dots, n, \quad (16)$$

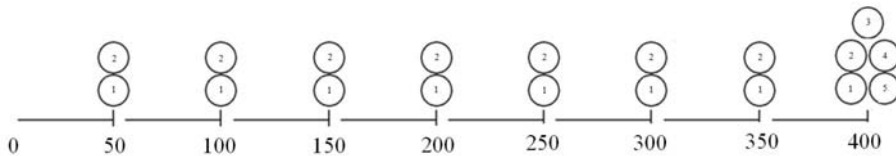


Рис. 5. Структура ремонтного цикла (до оптимизации)

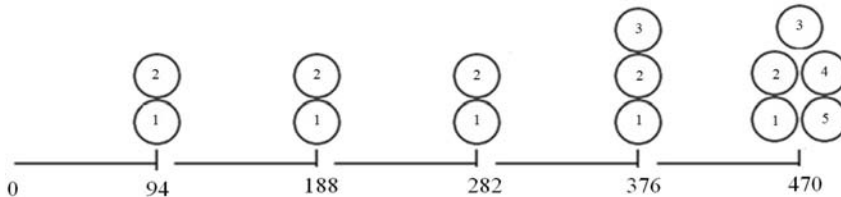


Рис. 6. Структура ремонтного цикла (после оптимизации)

кратности (16), и выбирается стратегия, обеспечивающая минимум суммарных удельных затрат на восстановление этих деталей. Затем аналогичная процедура повторяется для $(n-2)$ -й, $(n-3)$ -й и т. д. до первой детали, имеющей наименьший ресурс, после чего, идя в направлении от первой к n -й детали, однозначно находят оптимальную структуру ремонтного цикла при заданном пробеге L_1 .

Изложенный алгоритм поясним на примере расчета оптимальной структуры ремонтного цикла [4] шести наиболее изнашиваемых деталей электровоза ВЛ11 (камера дугогасительная ПК-31, моторно-осевой подшипник, контактор ПК-31, контак-

тор МК, колесная пара), приписанного к ремонтному локомотивному депо Пермь-сортировочная Свердловской ж. д. Структура ремонтного цикла деталей до оптимизации представлена на рис. 5, а на рис. 6 — уже оптимизированная структура (с помощью компьютерной программы «Оптимизация периодичности ремонта локомотивов на полигоне железной дороги»).

Предложенная математическая модель оптимизации периодичности ремонта позволяет: значительно сократить ремонтный цикл; рассчитать издержки и тем самым оценить эффективность использования модели; совершенствовать структуру ремонта в условиях сети дорог. ■

Литература

1. Горский А. В., Воробьев А. А., Симакин И. В. и др. Технологические методы повышения показателей безотказности бандажей колесных пар // Безопасность движения поездов: Труды IV научно-практической конференции. М.: МИИТ, 2003. IV-26.
2. Горский А. В., Воробьев А. А. Оптимизация системы ремонта локомотивов. М.: Транспорт, 1994. 208 с.
3. Андронов А. М. Решение некоторых задач организации и планирования технического обслуживания самолетов методами математической теории массового обслуживания: дисс. ... на соиск. уч. ст. канд. техн. наук. Рига, 1965. 229 с. Защищена: 15.12.66.
4. Буйнов А. П. Анализ процесса изнашивания и определение ресурса узлов электроподвижного состава с применением ЭВМ. Екатеринбург: УЭМИИТ, 1994. 37 с.
5. Буйнов А. П. Расчет системы эксплуатации и ремонта электровозов. Екатеринбург: УрГАПС, 1995, 38 с.

6. Жолквер Т. Д., Широков А. В. К вопросу об оптимальной комплектации технических устройств запасными частями // Надежность и контроль качества, 1976. № 9. С. 23–26.
7. Зайденберг А. П. Определение оптимального запаса деталей для ремонта тепловозов в депо: дисс. ... на соиск. уч. ст. канд. техн. наук. Омск, 1970. 133 с. Защищена 23.12.70.
8. Исаев И. П., Алексеенко Н. Н., Ашкинадзе Е. А. Оптимизация комплектов запасных элементов электронного оборудования электровозов: Тр. УрЭМИИТа/1987. Вып. 79. С. 88–98.
9. Жакупов К. Б. Оптимизация параметров технологического процесса ремонта тягового подвижного состава (на примере электровозоремонтного завод Атабасар Республики Казахстан): дисс. ... на соиск. уч. ст. канд. техн. наук. М., 2008. 130 с. Защищена 12.12.2008.

References

1. Gorskij A. V., Vorobjev A. A., Simakin I. V. i dr. Tekhnologicheskie metody povysheniya pokazatelej bezotkaznosti bandazhej kolesnykh par [Technological methods of increase of wheel pair treads' reliability factors] // Bezopasnost' dvizhenija poezdov: Trudy IV nauchno-prakticheskoy konferentsii. M.: MИТ, 2003. IV-26.
2. Gorskij A. V., Vorobjev A. A. Optimizatsiya sistemy remonta lokomotivov. [Optimization of locomotives' repair system] M.: Transport, 1994. 208 s.
3. Andronov A. M. Reshenie nekotorykh zadach organizatsii i planirovaniya tekhnicheskogo obsluzhivaniya samoletov metodami matematicheskoy teorii massovogo obsluzhivaniya [Solving several tasks of organization and planning of planes' servicing using the methods of mass service mathematical theory]: diss. ... na soisk. uch. st. kand. tekhn. nauk. Riga, 1965. 229 s. Zashchishchena. 15.12.66.
4. Bujnosov A. P. Analiz protsessa iznashivaniya i opredelenie resursa uzlov elektropodvizhnogo sostava s primeneniem EVM. [Wear process analysis and resources estimation of electric rolling-stock junctions using computers] Ekaterinburg: UEMИТ, 1994. 37 s.
5. Bujnosov A. P. Raschet sistemy ekspluatatsii i remonta elektrovovozov. [Calculation of a system of electric lokomotives' running and repair] Ekaterinburg: UrGAPS, 1995. 38 s.
6. Zholkver T. D., Shirokov A. V. K voprosu ob optimalnoj komplektatsii tekhnicheskikh ustrojstv zapasnymi chastjami [To the issue of optimal kitting of technical devices by spare details] // Nadezhnost' i kontrol' kachestva, 1976. № 9. S. 23–26.
7. Zajdenberg A. P. Opredelenie optimalnogo zapasa detalej dlja remonta teplovovozov v depo [Estimation of optimal spare details supply for diesel locomotives' repair in a depot]: diss. ... na soisk. uch. st. kand. tehn. nauk. Omsk, 1970. 133 s. Zashchishchena 23.12.70.
8. Isaev I. P., Alekseenko N. N., Ashkinadze E. A. Optimizatsiya komplektov zapasnykh elementov elektronnoy oborudovaniya elektrovovozov [Optimization of spare details sets of electric lokomotives' electronic equipment]: Tr. UrJeMИИТа / 1987. Vyp.79. S. 88–98.
9. Zhakupov K. B. Optimizatsiya parametrov tekhnologicheskogo protsessa remonta tjavovogo podvizhnogo sostava (na primere elektrovovozoremontnogo zavoda Atabasar Respubliki Kazakhstan) [Optimization of parameters of repair technological process of a traction electrical equipment after the example of electric lokomotive plant Atabasar in Kazakhstan]: diss. ... na soisk. uch. st. kand. tekhn. nauk. M., 2008. 130 s. Zashchishchena 12.12.2008.

Статья сдана в редакцию 15 ноября 2011 года

УПРАВЛЕНИЕ В ТЕХНИЧЕСКИХ СИСТЕМАХ

УДК 621.313.2 (06)

А. А. Шапран, Н. Б. Новикова

Задача построения системы двухканального управления электрическим приводом постоянного тока

UDC 621.313.2 (06)

A. A. Shapran, N. B. Novikova

The task of two-channel system construction of direct current electric drive control

Аннотация

В статье намечены пути решения проблемы построения оптимальной по быстродействию системы управления электрическим приводом и изложен подход к его реализации. Целью поставленной задачи является управление работой двигателя постоянного тока по каналу якорной цепи и по каналу цепи возбуждения одновременно, что дает возможность плавного регулирования скорости в широком диапазоне при минимуме затрат на управление. Разработка такой системы и синтез закона управления должны обеспечить качественное функционирование в сочетании с высокими динамическими свойствами приводимого механизма. В статье обоснована структура системы, призванной на решение поставленной задачи, приведены схемы ее основных функциональных блоков и дана принципиальная электрическая схема физической реализации двухканального принципа управления. Вся система строится на базе стандартной бесконтактной полупроводниковой аппаратуры, позволяющей избежать ступенчатый характер управления и обеспечить всей разработке гибкость и высокую надежность.

Ключевые слова:

автоматический электропривод; оптимизация контроля за электроприводом; контроль над каналом возбуждения.

Abstract

In the article they are mapped out the ways of solving the problem of construction of optimal by quick action system of electric drive control and it is stated the approach to its realization. The purpose is to control the operation of direct current motor simultaneously along anchor cable channel and exciting circuit channel, which gives the possibility of modulating speed control in wide band by minimum of control expenses. The development of such system and synthesis of control law must provide good-quality operation in aggregate with high dynamic properties of the reducible mechanism.

In the article the structure of the system aimed at solving the assigned task is grounded, the schemes of its major functional units and principle physical realization electric scheme of two-channel control principle are given. The whole system is based on contactless semiconductor equipment, which allows to escape step behavior of control and secure flexibility and reliability of the development.

Key words:

automatic electric drive; optimization of electric drive control; control on excitation channel.

Александр Андреевич Шапран — канд. техн. наук, ст. научн. сотр.; кафедра «Мехатроника» Уральского государственного университета путей сообщения, Екатеринбург, Россия. Тел.: +7 (343) 221-24-06.

Надежда Борисовна Новикова — инженер; кафедра «Информационные технологии и защита информации» Уральского государственного университета путей сообщения, Екатеринбург, Россия. Тел.: +7 (343) 221-24-10.

Aleksander A. Shapran — PhD, senior scientific associate; «Mechatronics» department of the Ural State University of Railway Transport; Ekaterinburg, Russia; Tel.: +7 (343) 221-24-06.

Nadezhda B. Novikova — engineer; «Information technologies and information security» of the Ural State University of Railway Transport; Ekaterinburg, Russia; Tel.: +7 (343) 221-24-10.

Для получения большего диапазона регулирования скорости электрического привода управление можно осуществлять путем изменения напряжения питания якорной цепи и одновременно тока в цепи возбуждения. Кроме того, только управление по обоим каналам дает возможность решить проблему построения оптимальной по быстродействию системы. А такая проблема особенно актуальна для высокоинерционных приводов, работающих в режиме переменных нагрузок.

Подход к построению такой системы был изложен в работе [1]; принцип действия системы иллюстрируется функциональной схемой (рис. 1).

Здесь ω_3 и ω — соответственно заданное и фактическое значения угловой скорости привода; ω_{31} и ω_1 — заданное и фактическое значения скорости, управляемой по каналу якорной цепи; ω_{32} и ω_2 — заданное и фактическое значения скорости, управляемой по цепи возбуждения; РЯЦ — регулятор канала якорной цепи; РКВ — регулятор канала возбуждения; Пр1 — привод как объект регулирования по якорной цепи; Пр2 — привод как объект регулирования по цепи возбуждения; ОС1 — цепь обратной связи якорного канала регулирования; ОС2 — цепь обратной связи канала регулирования по возбуждению;

$U_я$ и $U_в$ — напряжения питания якорной обмотки и обмотки возбуждения соответственно; K_{31} и K_{32} — коэффициенты передачи задающих устройств по каждому из каналов.

Как было отмечено в [1], для решения задачи оптимизации процесса управления по быстродействию закон управления должен формироваться по релейному принципу. Но осуществить такой принцип по каналу управления напряжением питания якорной цепи практически невозможно, так как он предусматривает превышение скорости выше номинальной, следовательно, потребует значительного повышения напряжения на якорной обмотке сверх номинального значения, что недопустимо. Регулировать скорость вверх от номинальной можно только изменяя параметры цепи возбуждения, поэтому релейный принцип управления и вся оптимизация процесса осуществляется только по каналу возбуждения.

Необходимо помнить, что скорость привода ω_2 как управляемая величина канала управления по возбуждению обратно пропорциональна напряжению на обмотке возбуждения $U_в$, что дает возможность практически неограниченного превышения скорости привода сверх от номинальной.

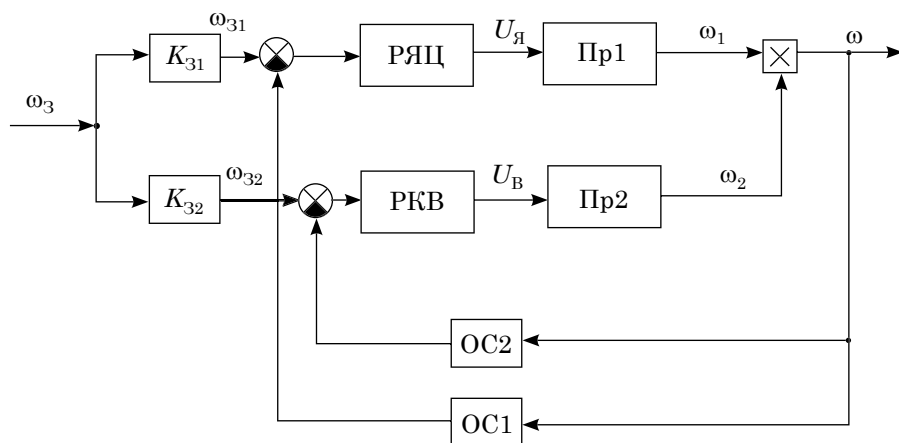


Рис. 1

Функциональная схема канала управления по возбуждению с использованием релейного принципа представлена на рис. 2.

Здесь РЭ1 и РЭ2 — релейные элементы с различными зонами нечувствительности. В частном случае один из них может иметь идеальную релейную характеристику.

Для обеспечения требуемого качества процесса управления суммарный сигнал на выходе релейной схемы должен подаваться на интегратор; таким образом, регулятор будет осуществлять ПИ-закон регулирования. А так как управляемая величина обратно пропорциональна управляющему воздействию U_B , то на входе объекта управления происходит технологическая операция деления, согласно которой в статическом режиме работы системы управляемая величина определяется выражением

$$\omega_2 = \frac{K_B K_{\text{ПР1}}}{U_B}$$

где K_B — коэффициент, зависящий от физических параметров системы управления; $K_{\text{ПР1}}$ — статический коэффициент передачи объекта управления по каналу возбуждения.

Согласно теории электропривода, управляемая величина ω равна произведению

$$\omega = \omega_1 \omega_2,$$

но для постоянного значения ω_1 , то есть при работе канала управления по якорной цепи в режиме стабилизации, угловая скорость привода определится как

$$\omega = K_{\text{Я}} \omega_2,$$

где $K_{\text{Я}} = \text{const}$ — постоянный коэффициент.

Тогда структурная схема подсистемы (канала) управления по цепи возбуждения будет иметь вид, представленный на рис. 3.

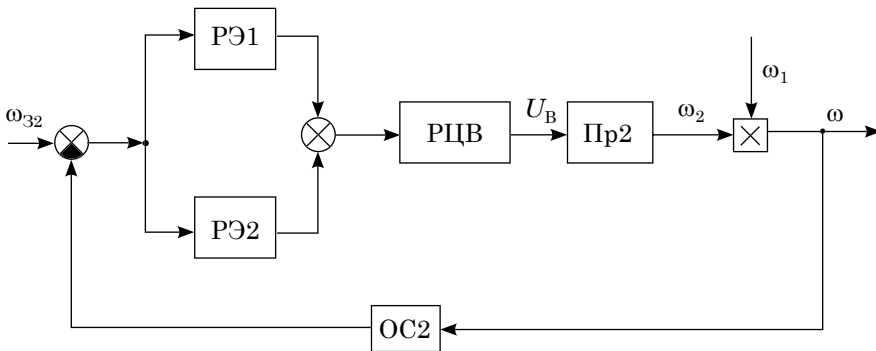


Рис. 2

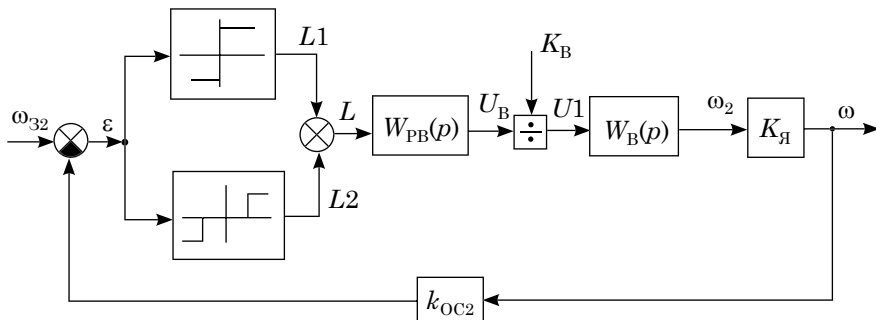


Рис. 3

Здесь $W_{PB}(p)$ — передаточная функция регулятора канала управления по возбуждению; $W_B(p)$ — передаточная функция привода как объекта управления по возбуждению; k_{OC2} — коэффициент цепи обратной связи канала управления по возбуждению.

Система, обладающая такой структурой, при соответствующих параметрах схемы способна обеспечить оптимальное по быстродействию управление угловой скоростью привода. Главным моментом в построении такой системы является выбор схемного решения ее релейной части, которое должно быть реализовано на бесконтактных элементах (такая реализация должна, по возможности, исключать резкое скачкообразное изменение управляющего воздействия).

Решение, предусматривающее параллельное включение двух релейных элементов и обеспечивающее поставленные требования по качеству управления, может быть реализовано схемой, стилизованный вариант которой изображен на рис. 4.

Один из релейных элементов собран по усилительной схеме на базе транзисторов Т1 и Т3, другой — на базе Т2–Т4, которые получают питание от источников $U1$ и $U2$ соответственно. Оба релейных элемента имеют общий вход, на который подается напряжение $U_{ВХ}$, являющееся, по сути дела, ошибкой системы регулирования ϵ . Транзисторы Т1 и Т2 имеют различные пороги срабатывания, устанавливаемые при помощи переменных резисторов $R1$ и $R2$ соответственно. При этом более высокий порог срабатывания будет у того реле, у которого выше значение напряжения питания. Так, схема (рис. 4) соответствует варианту, при котором $U1$ больше, чем $U2$, а потенциал, при котором открывается/закрывается Т1, выше, потенциала открытия (закрытия) Т2.

При отсутствии сигнала на входе ($U_{ВХ} = 0$) Т1 и Т2 закрыты, Т3 и Т4, напротив, открыты. Выходной сигнал при этом отсутствует ($U_{ВЫХ} = 0$).

При скачкообразном появлении входного сигнала большого значения,

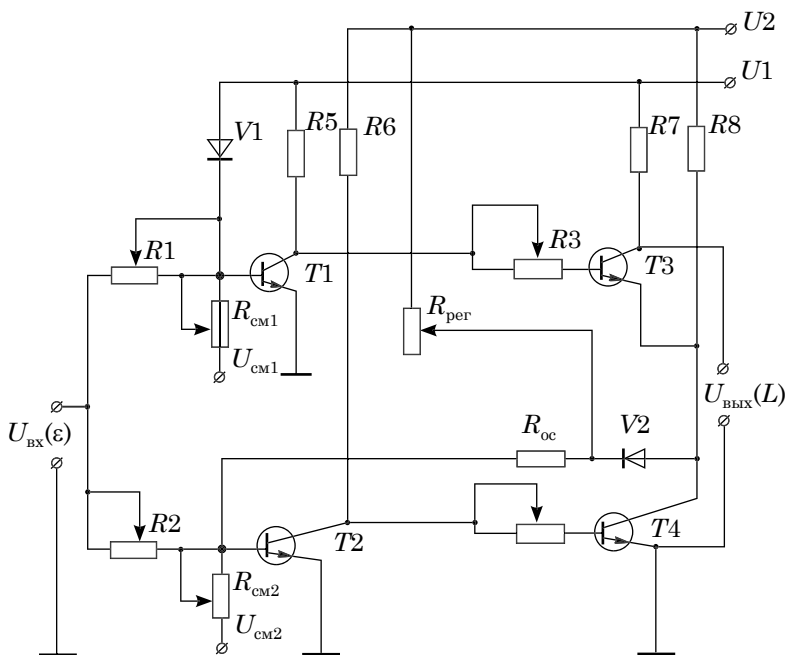


Рис. 4

что имеет место в момент пуска, Т1 и Т2 открываются, Т3 и Т4 закрываются, и на выходе схемы появляется выходное напряжение $U_{\text{вых}}$, равное напряжению питания $U1$, что при соответствующем дальнейшем построении схемы системы управления должно отвечать меньшему значению тока возбуждения приводного двигателя, следовательно, большей скорости вращения привода. При разгоне двигателя до скорости, соответствующей величине, при которой $U_{\text{вх}}$ снижается до значения напряжения отпущения релейного элемента РЭ1, транзистор Т1 закрывается, напротив, Т3 открывается, и на выходе релейной схемы напряжение $U_{\text{вых}}$ скачком снижается со значения $U1$ до значения $U2$, что соответствует номинальному режиму работы привода. При этом на его обмотке возбуждения устанавливается номинальное значение напряжения возбуждения. Привод работает с номинальной скоростью.

Релейный элемент РЭ2 охвачен положительной обратной связью, цепь которой состоит из сопротивления R_{OC} и диода $V2$. Значение коэффициента передачи цепи обратной связи может регулироваться при помощи потенциометра $R_{\text{рег}}$, благодаря чему релейный элемент РЭ2 может обладать идеальной релейной характеристикой (в отличие от РЭ1). Пороги срабатывания РЭ1 и РЭ2 (кроме

$R1$ и $R2$) могут устанавливаться с помощью значений напряжений смещения $U_{\text{СМ1}}$ и $U_{\text{СМ2}}$, а также регулироваться переменными резисторами $R_{\text{СМ1}}$ и $R_{\text{СМ2}}$.

Далее выходное напряжение релейной схемы $U_{\text{вых}}(L)$ может использоваться для формирования напряжения возбуждения $U_{\text{В}}$ как управляющего воздействия на приводной двигатель по известному принципу.

Например, при нашедшем себе в последнее время наиболее широкое применение тиристорном способе управления двигателями постоянного тока $U_{\text{вых}}$ после интегратора и предварительного усилителя, которые легко реализуются на стандартной аппаратуре любого принципа действия, в виде управляющего сигнала включается встречно с выходным сигналом генератора пилообразного напряжения, работающего с периодом, равным периоду изменения выпрямленного анодного напряжения на тиристорной схеме.

Предлагаемый вариант решения позволяет осуществлять управление скоростью привода как вниз, так и вверх от номинальной в широких пределах, не нарушая нормального режима работы двигателя. При этом ступенчатый характер разгона привода дает возможность реализации закона управления его скоростью оптимального по быстродействию. ■

Литература

1. Кутыева Д. Ю., Новикова Н. Б., Шапран, А. А. Синтез оптимальной по быстродействию системы управления электроприводом // Сб. научн. тр. «Безопасность движения, совершенствование конструкций вагонов и ресурсосберегающие технологии в вагонном хозяйстве». Екатеринбург: Изд-во УрГУПС, 2010. 148 с. ISBN 978-94614-144-4.
2. Кутыева Д. Ю., Шапран А. А. Построение системы оптимизации режимов работы металлорежущих станков // Сб. научн. тр. УрГУПС «Электрическая тяга». Екатеринбург: Изд-во УрГУПС, 2008. 128 с. ISBN 978-94514-112-3.
3. Белов М. П., Новиков В. А., Рассудов Л. Н. Автоматизированный электропривод типовых производственных механизмов и технологических комплексов. М.: Academia, 2009. 576 с. ISBN 5-7695-1314-4.

References

1. Kutyeva D. Ju., Novikova N. B., Shapran, A. A. Sintez optimalnoj po bystrodeystviyu sistemy upravlenija elektroprivodom [Synthes of optimal quick action system of electric drive control] // Sb. nauchn. tr. «Bezopasnost dvizhenija, sovershenstvovanie

- konstruktsij vagonov i resursosberegajushchie tekhnologii v vagonnom hozjajstve». Ekaterinburg: Izd-vo UrGUPS, 2010. 148 s. ISBN 978-94614-144-4.
2. Kutyeva D.Ju., Shapran A.A. Postroenie sistemy optimizatsii rezhimov raboty metallovezhushchikh stankov [Construction of optimization system of metalcutter operation modes] // Sb. nauchn. tr. UrGUPS «Elektricheskaja tjaga». Ekaterinburg: Izd-vo UrGUPS, 2008. 128 s. ISBN 978-94514-112-3.
 3. Belov M.P., Novikov V.A., Rassudov L.N. Avtomatizirovannyj elektroprivod tipovykh proizvodstvennykh mekhanizmov i tekhnologicheskikh kompleksov. [Automatic electric drive of typical industrial mechanisms and technological complexes] M.: Academia, 2009. 576 s. ISBN 5-7695-1314-4.

Статья сдана в редакцию 27 сентября 2011 года

Хшан Марцин, Кшиштошек Конрад, Шихта Эльжбета

Возможность использования телекоммуникации третьего поколения 3G в железнодорожных беспроводных гетерогенных сетях

M. Chrzan, K. Krzysztozek, E. Szychta

Use of third generation 3G telecommunications in rail heterogenetic wireless networks

Аннотация

В статье обсуждаются проблемы, связанные с возможностью получения емкости в системе UMTS для потребностей железных дорог в зависимости от применяемых технических решений, использования мобильных процедур и алгоритмов обмена информацией. Представленные рассуждения имеют существенное значение для разумного использования UMTS в железнодорожной гетерогенетической сети как одной из значительных систем в глобальной системе поиска потребителей железных дорог в соответствии с установленными свойствами.

Ключевые слова:

UMTS, 3G, системы управления железнодорожным движением, сигнализационные системы.

Abstract

The article discusses the problems associated with the possibility of obtaining capacity in the UMTS system to the needs of railways, depending on the applicable technical solutions, using mobile procedures and algorithms for information exchange. The presented arguments are essential for the reasonable use of the railway heterogenetic UMTS network as one of the major systems in the global search of railways users in accordance with established properties.

Key words:

UMTS, 3G, Rail Traffic Management System, Signalling Systems.

Введение

UMTS (Universal Mobile Telecommunications System — универсальная мобильная телекоммуникационная система) — система 3-го поколения (3G), пришедшая на смену распространенным в настоящее время мобильным системам 2G и 2,5G (например, GSM, GSM-EDGE, GSM-R). UMTS запроецирована как для передачи звука, так и для передачи пакетных данных.

UMTS рассчитана на передачу со скоростями до 2 Мбит/с. Размер соты колеблется в зависимости от ее типа — от нескольких десятков метров (для пикосоты) до нескольких десятков километров (для макросоты). На фактическую максимальную скорость передачи влияют как радиоусловия, так и скорость перемещения потребителя. Средняя скорость передачи для потребителя, движущегося со скоростью пешехода, составляет 384 кбит/с. В качестве радиointерфейса используется, в основном, WCDMA (Wideband Code Divsion Multipte Access).

Хшан Марцин — канд. тех. наук, доцент; факультет транспорта и электротехники Радомского технического университета, г. Радом, Польша, e-mail: m.chrzan@pr.radom.pl.

Кшиштошек Конрад — канд. тех. наук, доцент; факультет транспорта и электротехники Радомского технического университета, г. Радом, Польша, e-mail: k.krzysztozek@pr.radom.pl.

Шихта Эльжбета — д-р техн. наук, профессор; факультет транспорта и электротехники Радомского технического университета, г. Радом, Польша, e-mail: e.szychta@pr.radom.pl.

Chrzan Marcin — PhD, Associate professor; Faculty of transport and electrical engineering of Radom State Technical University; Radom, Poland. E-mail: m.chrzan@pr.radom.pl.

Krzysztozek Konrad — PhD, Associate professor; Faculty of transport and electrical engineering of Radom State Technical University; Radom, Poland. E-mail: k.krzysztozek@pr.radom.pl.

Szychta Elzbieta — DSc, Professor; Faculty of transport and electrical engineering of Radom State Technical University; Radom, Poland. E-mail: e.szychta@pr.radom.pl.

Если принять во внимание растущие планируемые издержки, достаточно высокое использование каналов связи и обеспечение гарантии соединения (поддержка для QoS), то система UMTS превосходно подходит для дополнения железнодорожной гетерогенной сети и обеспечения ее потребителям доступ к сети на большой территории — там, где не функционируют другие сети. Эта система может также использоваться вместо системы GSM-R.

В Радомском техническом университете проводятся исследования системы поиска для железнодорожного подвижного состава с определенными свойствами. В рамках выполняемого проекта, кроме сетей, выполненных по используемым стандартам IEEE 802.11 (с расширением) либо IEEE 802.16, планируется также использование системы UMTS.

Система UMTS обеспечивает лучшую связь и вводит дополнительные свойства связи, в частности, HSDPA (High Speed Downlink Packet Access), позволяющий передачу с максимальными скоростями — до 14,4 Мбит/с, увеличивает сопротивление интерференционным помехам, обладает мягким переключением между сотами, использует «умные» антенны и эффективное управление с мощностью передатчиков MS. Некоторые из перечисленных усовершенствований увеличивают емкость каналов связи в сотах, а другие ее уменьшают. В статье представляются методы формирования емкости системы UMTS в зависимости от некоторых параметров системы связи, существенных в планируемой разработке.

Требования, предъявляемые к подвижным потребителям железнодорожных гетерогенных сетей

Соединение многочисленных сетей, планируемых в разрабатываемом приложении и опирающихся на различные стандарты, в одну гетерогенную сеть порождает много

проблем, одной из которых является мобильность потребителей. К основным требованиям и ожиданиям подвижных потребителей относятся: гарантия связи при различной скорости перемещения приемопередатчиков, обеспечение однозначной идентификации приемопередатчика при разных точках его подключения к сети, гарантия постоянного непрерывного и достоверного соединения, гарантия совместимости с различными структурами связи и протоколами передачи информации, обеспечение мобильности потребителей.

Классические методы обеспечения мобильности не различают условий перемещения приемопередатчиков [2]. Движение в пределах здания трактуется так же, как и перемещение потребителя на другой континент. UMTS, в отличие от других средств связи, учитывает условия перемещения приемопередатчиков. Движение приемопередатчиков сопровождается эффектом Доплера. Этот эффект наблюдается при большой скорости движения потребителя, в том числе при многоканальной связи. Во современных разработках эффект Доплера не учитывается.

Принимая, что адекватной моделью для канала UMTS является модель Рейлея, можно определить параметры затухания в радиокommunikационном канале и оценить их влияние на качество передачи [4, 5].

Используя известную зависимость степени вероятности огибающей сигнала в точке приема при многоканальном распространении [5], можно предположить, что мгновенная амплитуда не превысит установленной A_0 :

$$P\{\underline{A} \leq A_0\} = 1 - \exp\left(-\frac{A_0^2}{2\sigma^2}\right), \quad (1)$$

где σ^2 — значение средней мощности сигнала.

Затухания Рейлея различны для разных условий. В зависимости от профиля урбанизированной территории и времени распространения на конкретных участках, для них можно определить полосу когерентности.

В модели Рейлея можно учесть влияние эффекта Доплера, изменение частоты сигнала вычисляется согласно зависимости:

$$f_d \hat{=} \frac{v}{\lambda}, \text{ Hz}, \quad (2)$$

где v — скорость движения антенны, излучающей электромагнитную волну, либо потребительской антенны; λ — длина распространяемой волны.

Частоты, используемые в системе UMTS, скорости перемещения переносного терминала, а также значения смещения частот вследствие эффекта Доплера представлены в таблице 1.

Оценка прохождения уровня сигнала в зависимости от времени для двух значений передаваемых частот с учетом эффекта Доплера представлена на рис. 1. Кривые получены в пакете MatLAB Simulink.

Таблица 1

Изменение частоты сигнала за счет эффекта Доплера

F , МГц	v , км/ч	f_d , Гц
1920	3	5,34
2170	3	6,03
1920	5	8,90
2170	5	10,05
1920	50	88,96
2170	50	100,54
1920	120	213,12
2170	120	240,87

Из рис. 1 видно, что при частоте 10 Гц искажения сигнала за счет эффекта Доплера проявляются в меньшей степени по сравнению с частотой сигнала 100 Гц. Отмечено меньшее значение затухания на аналогичном отрезке времени; переходные процессы отличаются меньшей амплитудой, но большей продолжительностью, что приводит к тому, что для частоты 10 Гц длительность искажений будет иметь большее значение, чем при 100 Гц, но количество ошибок будет меньше. Эти явления

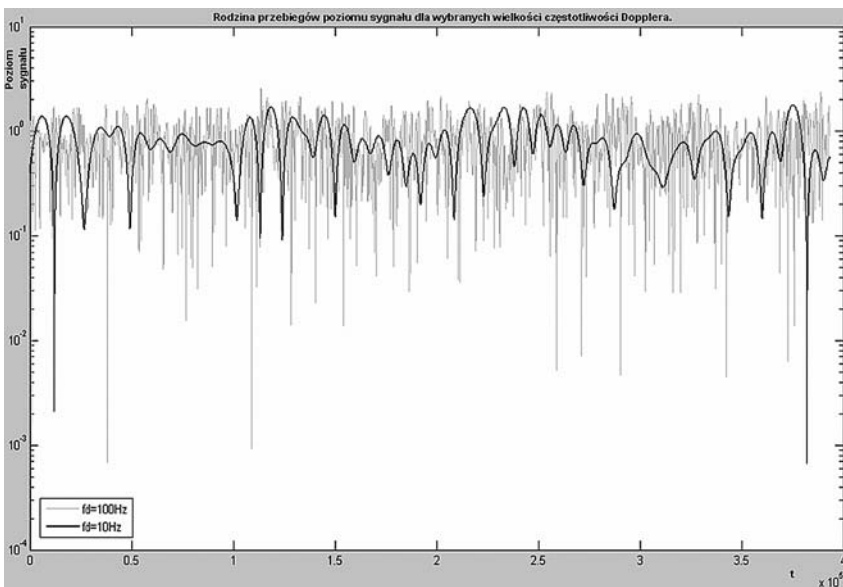


Рис. 1. Прохождение полезного сигнала с учетом эффекта Доплера

усиливаются одновременно с ростом f_d , и системы корректировки ошибок с их исправлением не справляются. Выражение для среднего времени продолжительности затухания $\bar{\tau}$ ниже заданного уровня A_0 определяет зависимость (3). Среднее количество проходов огибающей A через уровень A_0 (4) можно получить путем вероятностной оценки [1] в модели Рейлея.

$$\bar{\tau} \cong \frac{\exp\left[\left(\frac{A_0}{2\sigma^2}\right)\right] - 1}{\sqrt{2\pi} \frac{A_0}{2\sigma^2} f_d}; \text{ с} \quad (3)$$

$$\bar{N} \cong \sqrt{2\pi} \frac{A_0}{2\sigma^2} f_d \exp\left(-\frac{A_0}{2\sigma^2}\right). \quad (4)$$

Результаты расчетов по формуле (3) для постоянного значения огибающей A_0 и переменной величины σ

представлены в таблице 2, результаты расчетов для переменной величины A_0 и постоянной величины σ — в таблице 3.

Важным параметром для оценки корректировочной способности кода и эффективности связи является количество ошибок, которое рассчитывается в зависимости от времени затухания и скорости передачи информации. Результаты расчетов представлены в таблице 4.

Расчеты показывают, что при увеличении амплитуды огибающей сигнала и скорости передачи количество ошибок передачи информации увеличивается.

Выводы

Принимая, что железнодорожная гетерогенная сеть является четырехуровневой, уровень 2 целесообразно создавать на базе широкополосных сетей. В разрабатываемом

Таблица 2

Оценка среднего времени затухания в канале связи для $A_0 = A_0 = \text{const}$, $\sigma = \text{var}$

A_0	σ	τ [с]
1,000000	0,800000	0,046471
1,000000	1,000000	0,024520
1,000000	1,200000	0,015929
1,000000	1,500000	0,009833
1,000000	2,000000	0,005438
1,000000	3,000000	0,002402

Таблица 3

Оценка среднего времени затухания в канале связи для $A_0 = \text{var}$, $\sigma = \text{var}$

A_0	σ	τ [с]
1,000000	1,200000	0,015929
2,000000	1,200000	0,038521
3,000000	1,200000	0,081205
4,000000	1,200000	0,182830
5,000000	1,200000	0,481612

Таблица 4

Оценка количества ошибок при разной скорости передачи информации

A_0	σ	τ [с]	Количество ошибок			
			12200, кбит/с	64000, кбит/с	144000, кбит/с	384000, кбит/с
1	2	0,002402	29	154	346	922
4	2	0,058452	701	3741	8417	22445
5	2	0,094671	1136	6059	13633	36354
3	1	0,182830	2194	11701	26327	70207
4	1	0,244251	2931	15632	35172	93793
5	1	0,481612	5779	30823	69352	184939

программном продукте существенным элементом является учет требований, относящихся к перемещающимся приемопередатчикам. Данным требованиям в настоящее время лучше всего отвечает система UMTS. Главное достоинство этой системы — возможность динамического формирования емкости в выбранных

сотах, мягкий перенос и проверенная система идентификации потребителя, защита передачи информации. Недостаток — неудовлетворительная пропускная способность. В стандартных решениях второго уровня целесообразно использовать сети, опирающиеся на стандарты 802.16 (WiMAX) и 802.20, 802.22 (HyperLAN2). ■

Литература

1. Mahbub H., Raj J. Высокопроизводительные сети TCP/IP. Helion 2004,
2. Chrzan M. The telematic locating train methods. Computer Systems Aided Science and Engineering Work in Transport, Mechanics And Electrical Engineering. Radom 2008. Rozdział w Monografii. S. 55–62.
3. L.-L. Xie and P.R. Kumar: A network information theory for wireless communication: Scaling laws and optimal operation, IEEE Transactions on Information Theory, IT-50 (2004), pp. 748–767.
4. Сорокин А. Н. Методика моделирования и анализа распределенных гетерогенных сервис-ориентированных GRID-систем: материалы XVI международной конференции. Троицк, 2005. С. 185–186.
5. Сорокин А. Н. Расширение аппарата G-сетей Петри с помощью дополнительных объектно-ориентированных механизмов // Образование, наука, бизнес: особенности регионального развития и интеграции: сборник трудов Всероссийской научно-практической конференции. Череповец: ИМИТ СПбГПУ, 2005. С. 308–312.

References

1. Mahbub H., Raj J. Vysokoproizvoditelinyje seti TCP/IP. [Highly productive networks TCP/IP] Helion 2004,
2. Chrzan M. The telematic locating train methods. Computer Systems Aided Science and Engineering Work in Transport, Mechanics And Electrical Engineering. Radom 2008. Rozdział w Monografii. S. 55–62.
3. L.-L. Xie and P.R. Kumar: A network information theory for wireless communication: Scaling laws and optimal operation, IEEE Transactions on Information Theory, IT-50 (2004), pp. 748–767.
4. Sorokin A.N. Metodika modelirovaniya i analiza raspredelennykh geterogennykh servis-orientirovannykh GRID-sistem: materialy XVI mezhdunarodnoj konferentsii. [Modeling and analysis technique of distributed heterogeneous service-oriented GRID-systems: materials of the XVI International conference] Troick, 2005. S. 185–186.
5. Sorokin A.N. Rasshirenie apparata G-setej Petri s pomoshchju dopolnitelnykh objektno-orientirovannykh mekhanizmov [Blowup of G-Petri networks apparatus using additional object-oriented mechanisms] // Obrazovanie, nauka, biznes: osobennosti regionalnogo razvitija i integratsii: sbornik trudov Vserossijskoj nauchno-prakticheskoj konferentsii. Cherepovets: IMIT SPbGPU, 2005. S. 308–312.

Статья отправлена в редакцию 1 ноября 2011 года.

Перевод с польского авторов.

Редакция благодарит А. А. Косякова, канд. техн. наук за помощь в работе над переводом статьи.

ОРГАНИЗАЦИЯ И ЛОГИСТИКА

УДК 343.851

К. В. Корсаков

Предупреждение преступных деяний корыстной направленности на железнодорожном транспорте в Российской Федерации

UDC 343.851

K. V. Korsakov

Prevention of criminal acts with a mercenary motive at Railway transport

Аннотация

Настоящая статья преследует цель осветить и предложить пути решения наиболее актуальных проблем предупреждения преступлений, совершаемых по корыстным мотивам на российском железнодорожном транспорте, которые представляют недооцененную законодателем при конструировании норм уголовного законодательства повышенную общественную опасность.

В статье предлагаются конкретные рекомендации по повышению эффективности проводимой в настоящее время в Российской Федерации предупредительной деятельности в отношении названного вида преступных посягательств, а также совершенствованию ныне действующего уголовного законодательства в части уголовного наказания за преступления корыстной направленности, совершаемые на железной дороге.

Ключевые слова:

профилактика преступлений на железнодорожном транспорте; специфика корыстных преступлений на железной дороге; уголовная ответственность за транспортные преступления; совершенствование уголовного законодательства в части наказания за хищения на железнодорожных путях; уголовно-правовая борьба с корыстными преступлениями на железной дороге в России.

Abstract

The aim of the article is to give solutions of the current problem: prevention of crimes with mercenary motives at Russian railway transport. While making legal rules of Criminal Law such crimes of heightened public danger were not sufficiently estimated.

The specific recommendations for efficiency increase of prevention work led in Russia of the named criminal offenses and Criminal Law improvement in part of criminal penalty for crimes with a mercenary motive committed at railway are offered.

Key words:

prevention of crimes at railway transport, specific character of mercenary crimes at railway, criminal liability for transport crimes, Criminal Law improvement in part of theft penalty at railway tracks, legal prevention of crimes with mercenary motives at railway in Russia.

Константин Викторович Корсаков — канд. юрид. наук, доцент; кафедра уголовного права Уральской государственной юридической академии. Екатеринбург. Россия. E-mail: korsakovekb@rambler.ru.

Konstantin V. Korsakov — PhD, Associate professor; «Criminal law» department of the Ural State Law Academy, Ekaterinburg, E-mail: korsakovekb@rambler.ru.

На нашей железной дороге должен быть железный по-рядок» — эти слова, сказанные в ходе публичного выступления перед администраторами железной дороги в августе 1982 года, принадлежат председателю КГБ СССР В.В. Федорчуку — уроженцу украинской Подолии, незаурядному государственному деятелю советской эпохи*. Этот броский и емкий тезис последовательно развивался не только на уровне государственно-правового строительства социальными демиургами того времени, но и многими представителями творческой советской интеллигенции**; в частности, по повести писателя В.М. Барабашова «Жаркие перегоны» снят кинофильм «Магистраль» (1983 г.), в котором удачно вскрыты факторы, предпосылки и детерминанты распространенных правонарушений на советском железнодорожном транспорте, совпавшие с распространенными причинами многих иных нарушений правовых норм [5, с. 138; 6, с. 106]. В числе таких причин оказались штурмовщина, преступная халатность со стороны должностных лиц, необоснованный производственный риск, круговая порука и примат партикулярно-корпоративных интересов над общественно-государственными.

Приведенный тезис сохраняет свою актуальность и в настоящие дни, когда укрепление законности, обеспечение безопасности и правопорядка стали доминантами и приоритетами во внутренней политике нашего социального государства. Вызывающая тревогу у правоведов по-прежнему высокая ежегодная цифра совершаемых на железнодорожном транспорте преступных актов,

в структуре которых преобладают деяния корыстной мотивации (хищение грузов и элементов железнодорожных путей — деталей стрелочных переводов, накладок с изолирующих стыков рельсовой колеи, дроссель-трансформаторов и т. п., осуществляемое с целью наживы разукomплектование средств сигнализации и связи на путях и железнодорожных магистралях, составы экономических преступлений, так называемое рейдерство, незаконная перевозка и пересылка наркотических средств и психотропных веществ и т. д.) ярко свидетельствует о том, что в современный нам период насущной и злободневной продолжает оставаться задача уголовно-правовой защиты системы железнодорожных перевозок, транспортируемых по железной дороге ценных грузов и, в особенности, эксплуатируемого железнодорожного инструмента и оборудования.

Решение данной сложной задачи, которая давно уже попала в орбиту криминологического поиска и моделирования [1, с. 8; 3, с. 156], напрямую зависит как от интенсивности научно-теоретических разработок в области средств и методов предупреждения корыстных преступлений на железнодорожном транспорте, так и от степени качества существующей законодательной материи.

Следует иметь в виду, что преступность на железнодорожном транспорте, на долю которой согласно уголовно-правовой статистике приходится около 85% преступлений от общего числа преступных деяний, совершаемых в транспортном сегменте народного хозяйства страны, традиционно относится российскими учеными-криминологами к категории

*Следует отметить, что в настоящее время методы, некогда успешно применявшиеся генералами армии В.В. Федорчуком и С.К. Цвигуном, относятся к передовому опыту многих западных правоохранительных органов и спецслужб, в частности, в США и Израиле (разветвленная агентская сеть, вербовка представителей организованной преступности, институт осведомителей, оперативное внедрение и т. д.).

**В числе знаменитых отечественных деятелей культуры, внесших заметный вклад в общее дело борьбы с преступностью, был академик Д. С. Лихачев [2, 9].

высоколатентных разновидностей преступности [7, с. 49–50]: в частности, в настоящее время официально регистрируется и попадает в системы учета лишь не более половины от всех хищений перевозимых ценных грузов, совершенных преступниками на железнодорожном транспорте. Прежде всего данное обстоятельство связано с отсутствием заинтересованности самой железной дороги в выявлении фактов хищений грузов, так как именно на нее согласно целому ряду действующих нормативных правовых актов возлагается бремя возмещения материального ущерба собственникам имущества. Также такое явление во многом опосредовано повсеместно распространенным сокрытием и маскировкой совершаемых на железной дороге хищений под недостачу или же формажорные порчу либо непоступление грузов посредством использования поддельных, заведомо подложных коммерческих документов или внесения искаженных и недостоверных сведений в различные перевозочные акты.

Не только высокая латентность, но и низкая раскрываемость и довольно малое число обвинительных судебных приговоров по данной категории уголовных дел связаны с тем, что преступные деяния в сфере хищений железнодорожных грузов и собственности железной дороги совершаются закрепившимися в пореформенных структурах российской железной дороги, хорошо законспирированными и нередко имеющим межрегиональный характер криминальной деятельности организованными преступными сообществами*, в состав участников которых весьма часто входят не только должностные лица самой железной дороги, но и представители правоохранительных, ревизионных и иных государственных ор-

ганов. В содержательном отношении деятельность таких формирований постоянно приобретает новые опасные формы и личины: например, она пространственно разрастается и «диверсифицируется», повышаются как криминальный профессионализм ее участников, так и дерзость, масштабность преступной активности последних, также растут коррумпированность, неуязвимость для уголовного преследования и техническая оснащенность указанных выше общностей, при совершении преступных посягательств широко используются профессиональные навыки и знания специалистов в области железнодорожного транспорта, не востребованных на рынке труда и активно вовлекаемых в преступную деятельность.

Причем если раньше подавляющее большинство ненасильственных хищений на объектах железнодорожного транспорта совершалось, в основном, с целью последующего сбыта украденного имущества в качестве дешевого сырья, металлолома в пунктах приема металла и т. д., то в настоящее время инструмент железнодорожных путей сообщения, детали и элементы железнодорожных конструкций и сооружений все чаще стали расхищаться с целями их последующего использования по прямому назначению на создающихся или же сменивших своих собственников объектах транспортной инфраструктуры и нуждающихся в материалах и деталях для их возведения, ремонта и текущей эксплуатации.

К числу основных внешних (экзогенных) причин и косвенных условий сложившейся сегодня на железной дороге криминальной ситуации относятся упущения и недочеты в системе предупредительных средств и мероприятий, которая, как показывают современные реалии, не способна в полной мере удовлетворить

*Такие преступные объединения регулярно выявляются не только органами внутренних дел и Следственного комитета РФ, но и Счетной палатой Российской Федерации.

общественный заказ, запросы и потребности практики.

На сегодняшний день в Российской Федерации сформировалась двухуровневая линейная система предупреждения корыстных преступных посягательств, совершаемых на железнодорожном транспорте. Она представлена общесоциальным (общим) уровнем профилактики преступных актов, включающим позитивные социально-экономические и правовые преобразования, проводимые в государстве и обществе в целом, и специально-криминологическим (специальным) уровнем предупреждения, который вбирает в себя многоплановые и разнородные управленческо-регулятивные и организационно-технические меры [8, с. 42–43].

Общесоциальный уровень предупреждения преступных посягательств на железнодорожном транспорте в России по-прежнему переживает фазу затянувшегося кризиса, а потому остро нуждается в своем безотлагательном криминологическом «демонтаже» [4, с. 192] и структурно-содержательном укреплении за счет принимаемых на федеральном уровне власти и рассчитанных на длительный период действия федеральных программ, планов и национальных проектов.

Осуществляемые в рассматриваемой сфере борьбы с преступностью специально-криминологические меры также нуждаются в акселерации и увеличении масштабов их применения. В первую очередь это касается следующих форм приложения усилий субъектов работы по предупреждению транспортных преступлений: установка видеокамер и иных средств слежения на объектах железнодорожного транспорта, включая пассажирский подвижной состав, развитие в правоохранительных структурах автоматизированных банков данных, совершенствование заборных и иных блокирующих устройств

на железнодорожном транспорте, постоянное наблюдение со стороны сотрудников ведомственной охраны, обходчиков, машинистов и их помощников за состоянием рельсов, шпал и других элементов железнодорожного пути, организация рейдов, пикетов, обходов и оперативных заслонов со стороны подразделений российской полиции, налаживание бесперебойной и слаженной системы взаимодействия правоохранительных и надзорных структур с руководством предприятий железнодорожного транспорта, сопровождение пассажирских поездов и электричек сотрудниками полиции, установление строгого пропускного режима на объектах железнодорожного транспорта, усиление контроля начальниками предприятий железнодорожного транспорта за расходованием и списанием материальных ценностей.

Важное предупредительное значение на современном специально-криминологическом уровне профилактической работы в отношении криминальных актов на железнодорожном транспорте России должно придаваться совместным межведомственным контрольно-ревизионным и оперативно-розыскным мероприятиям, которые осуществляются группами сотрудников территориальных органов и подразделений Следственного комитета России, прокуратуры РФ, ФСБ России, ФТС, Росимущества, Росфинмониторинга, Ростехнадзора и ведомственной охраны на железных дорогах, а равно постоянному мониторингу со стороны вышеуказанных субъектов правоохранительной деятельности в таких его форматах, как сверки данных переписей вагонного парка с фактическим нахождением подвижного состава и данными вагонных учетов, проверки реестров в территориальных органах по управлению госимуществом и администрации железнодорожного транспорта, постоянное слежение за изменениями

собственников на объекты имущественного комплекса.

В целях дальнейшего совершенствования и повышения эффективности предупредительной деятельности в отношении преступлений корыстной направленности в сфере железнодорожного транспорта, по нашему мнению, следует принять новый, прошедший тщательную антикоррупционную и общекриминалогическую экспертизу Устав ОАО «РЖД», устранив в его содержании все криминогенные и коррупциогенные потенции и очаги, существенно повысить уровень военизированной охраны железнодорожных перевозок ценных грузов, значительно усилить ведомственный контроль в отношении железнодорожной перевозки различных материальных ценностей, улучшить техническое состояние применяемых на железной дороге контрольно-охранных систем, а также повсеместно применять меры материального и морального стимулирования в отношении тех работников железнодорожного транспорта, которые ответственно исполняют свои должностные функции и сотрудничают с правоохранительными органами.

Также для результативного упреждения преступных посягательств, связанных с расхищением деталей и конструктивных элементов верхнего строения пути железных дорог и оборудования железнодорожных вагонов, средств сигнализации и связи, видится необходимым внесение дополнений и изменений в текст действующего Уголовного кодекса Российской Федерации в сторону усиления карательного заряда мер уголовной ответственности за хищения

элементов верхнего строения железнодорожного пути и средств сигнализации и связи, результатом которых становится приведение их в негодность для текущей эксплуатации. Причем предлагаемая нами строгая повышенная юридическая ответственность должна наступать даже в том случае, если данные преступные деяния не повлекли за собой вредные последствия, указанные в диспозиции статьи 267 УК РФ, которая на практике в наши дни применяется в паллиативном ключе*, — причинение тяжкого вреда здоровью либо причинение крупного материального ущерба.

В силу большой общественной опасности и вредоносности преступлений на железной дороге [9, с. 729], которые заключают в себе потенциальные угрозы крупных аварий, катастроф и крушений, в ч. 2 ст. 158 УК РФ «Кража», думается, следует ввести отдельный квалифицирующий преступное деяние признак путем дополнения диспозиции данной части статьи Уголовного кодекса РФ новым пунктом следующего содержания: «... совершенная со средства железнодорожного транспорта, верхнего строения железнодорожного пути, средств сигнализации или связи, а равно другого оборудования железнодорожного транспорта, повлекшая за собой приведение их в негодное для функциональной эксплуатации состояние». Соответствующий пункт в предлагаемой нами редакции надлежит включить не только в статью 158 УК РФ, но и в диспозиции тех статей Уголовного кодекса, которые предусматривают уголовную ответственность за открытые и насильственные способы хищения. ■

*Законодательная конструкция данного состава преступления, являющегося материальным и предполагающим неосторожную форму вины по отношению к отдаленным от времени совершения деяния преступным последствиям, не позволяет расширить практику применения указанной нормы.

Литература

1. Козаченко И. Я., Корсаков К. В. Криминология: учебник. М.: Норма, Инфра-М, 2011. 304 с. ISBN 978-5-91768-209-9, ISBN 978-5-16-005035-5.
2. Корсаков К. В. Вклад академика Д. С. Лихачева в отечественную криминологическую науку // Российский юридический журнал, 2007. № 1. С. 9–14. ISSN 2071-3797.
3. Корсаков К. В. Криминологическое моделирование и язык криминологической науки // Вестник Южно-Уральского государственного университета. Сер. «Право». Вып. 7. 2006. № 5. С. 156–157. ISSN 1991-9778.
4. Корсаков К. В. Модель возмездия в криминологии и уголовно-правовой доктрине. М.: Юрлитинформ, 2007. 224 с. ISBN 978-5-93295-318-1.
5. Корсаков К. В. Причины и условия возникновения институтов кровной мести и изгнания в социальной практике // Российский юридический журнал, 2005. № 4. С. 137–142. ISSN 2071-3797.
6. Корсаков К. В. Убийство, совершенное по мотиву кровной мести, в ракурсе теории уголовного права и криминологии // Российский юридический журнал, 2006. № 2. С. 105–110. ISSN 2071-3797.
7. Кудрявцев В. Н. Лекции по криминологии. М.: Юрист, 2005. 188 с. ISBN 5-7975-0736-6.
8. Миндагулов А. Х. Профилактика преступлений: учебник. Алматы: HAS, 2005. 408 с. ISBN 9965-9429-6-X.
9. Уголовное право. Особенная часть: учебник. — 4-е изд., изм. и доп. / Отв. ред. И. Я. Козаченко, Г. П. Новоселов. М.: Норма, 2008. 1008 с. ISBN 978-5-468-00175-2.

References

1. Kozachenko I. Ya., Korsakov K. V. Kriminologiya: uchebnik. Criminology: textbook. M.: Norma, Infra-M, 2011. 304 s. ISBN 978-5-91768-209-9, ISBN 978-5-16-005035-5.
2. Korsakov K. V. Vklad akademika D. S. Likhacheva v otechestvennuju kriminologicheskiju nauku [Contribution of academician D. S. Likhachev to domestic criminological science] // Rossijsky juridichesky zhurnal, 2007. № 1. S. 9–14. ISSN 2071–3797.
3. Korsakov K. V. Kriminologicheskoe modelirovanie i yazyk kriminologicheskoy nauki // [Criminological simulation and language of criminological science] // Vestnik Yuzhno-Uralskogo gosudarstvennogo universiteta. Ser. «Pravo». Vyp. 7. 2006. № 5. S. 156–157. ISSN 1991-9778.
4. Korsakov K. V. Model vozmezdija v kriminologii i ugolovno-pravovoj doktrine [The model of retribution in criminology and legal doctrine]. M.: Yurлитinform, 2007. 224 s. ISBN 978-5-93295-318-1.
5. Korsakov K. V. Prichiny i usloviya vozniknoveniya institutov krovnoj mesti i izgnaniya v sotsialnoj praktike [Reasons and conditions of vendetta and expulsion in social practice] // Rossijsky juridichesky zhurnal, 2005. № 4. S. 137–142. ISSN 2071-3797.
6. Korsakov K. V. Ubijstvo, sovershennoe po motivu krovnoj mesti, v rakurse teorii ugolovnogo prava i kriminologii [Murder committed by vendetta in terms of Criminal Law and criminology] // Rossijsky juridichesky zhurnal, 2006. № 2. S. 105–110. ISSN 2071-3797.
7. Kudryavtsev V. N. Leksii po kriminologii [Lectures on criminology]. M.: Jurist, 2005. 188 s. ISBN 5-7975-0736-6.
8. Mindagulov A. H. Profilaktika prestuplenij: uchebnik [Prevention of crimes: textbook]. Almaty: HAS, 2005. 408 s. ISBN 9965-9429-6-X.
9. Ugolovnoe pravo. Osobennaya chast: uchebnik [Criminal Law. Special Part: textbook]. — 4-e izd., izm. i dop. / Отв. ред. И. Я. Козаченко, Г. П. Новоселов. М.: Норма, 2008. 1008 s. ISBN 978-5-468-00175-2.

Статья сдана в редакцию 26 сентября 2011 года

СТРОИТЕЛЬНЫЕ КОНСТРУКЦИИ

УДК 624.012.45

С. М. Скоробогатов, А. А. Радько

Проблемы прочности и деформативности монолитных железобетонных безбалочных перекрытий с отверстиями

UDC 624.012.45

S. M. Skorobogatov, A. A. Radjko

Strength and deformation problems of monolithic ferron-concrete girderless floors with holes

Аннотация

В современной литературе пока ещё недостаточно освещаются вопросы расчета плит с отверстием, что затрудняет использование достигнутых в теории результатов и зачастую приводит к применению приближенных приемов.

В статье произведен анализ некоторых современных методов: расчет пластин методами граничной коллокации, реализуемый для конкретных параметров пластины и позволяющий получить надежное приближенное решение в виде формулы в задачах изгиба, числа и формулы в задачах устойчивости; расчет плиты с отверстием по методу предельного равновесия кинематическим способом; метод дополнительных конечных элементов, сочетающий три метода расчета конструкций — конечных элементов, дополнительных нагрузок и предельных состояний.

Основной задачей являлось определение наиболее простого и эффективного метода, способного служить основой не только для аналитических расчетов, но и для алгоритмов и программ, реализующих расчет конструкций по предельным состояниям, в том числе и для монолитных железобетонных безбалочных перекрытий с отверстиями.

Ключевые слова:

плиты с отверстиями; метод расчета; предельное состояние; граничная коллокация; поперечный расчет; дополнительные конечные элементы.

Abstract

In modern literature the issues of calculation of plates with a hole are not thoroughly covered. It complicates the use of results which were obtained in theory and often leads to approximate methods application.

In the article there is an analysis of some modern methods, such as: calculation of plates using boundary collocation methods, realized for plate specific parameters and allowed to get reliable approximate solution in a form of formulas in bending tasks, of number and formula in stability tasks; calculation of a plate with a hole using the method of limit equilibrium by kinematic method; method of complementary final elements, which combines three calculation methods of constructions, final elements, additional loads and marginal states.

The main task was to find the easiest and most effective method which will be the basis both for analytic calculation and for algorithms and programs, realizing constructions calculation by marginal states, including monolithic ferron-concrete girderless floors with holes.

Key words:

plates with holes; calculation method; marginal state; boundary collocation; checking calculation; complementary final elements.

Семен Макеевич Скоробогатов — д-р техн. наук, профессор, член-корреспондент Российской академии архитектурных и строительных наук, заслуженный деятель науки Российской Федерации; кафедра «Строительные конструкции и строительное производство» Уральского государственного университета путей сообщения; Екатеринбург, Россия. E-mail: SSkorobogatov@sksp.usurt.ru.

Алексей Александрович Радько — аспирант; кафедра «Строительные конструкции и строительное производство» Уральского государственного университета путей сообщения; Екатеринбург, Россия. E-mail: radko.a@yandex.ru.

Semen M. Skorobogatov — DSc, Professor, corresponding member of the Russian Academy of Architecture and Construction Sciences, Honored Science Worker of the Russian Federation; «Building structures and building industry» of the Ural State University of Railway Transport; Ekaterinburg, Russia; E-mail: SSkorobogatov@sksp.usurt.ru

Aleksey A. Radjko — post-graduate student of «Building structures and building industry» of the Ural State University of Railway Transport; Ekaterinburg, Russia; E-mail: radko.a@yandex.ru.

Катастрофы в строительстве случаются в наше время по различным причинам. Основной предвестник — предсказуемость и другие физические свойства искусственных катастроф — подробно рассмотрены и табулированы в работе С. М. Скоробогатова, В. А. Хомякова, О. Н. Морданова, Е. С. Мордановой «Классификация катастроф железобетонных конструкций» [1]. Один из возможных способов их предотвращения — правильный расчет зданий и сооружений.

Плиты с отверстием применяются при возведении многих конструкций — элеваторов, бункеров, холодильников, многоэтажных промышленных зданий с вертикальной технологией производства, жилых и общественных зданий, насыщенных различными коммуникациями.

К сожалению, в нашей литературе пока еще недостаточно освещаются вопросы расчета плит с отверстием, что затрудняет использование достигнутых в теории результатов и зачастую приводит к применению приближенных приемов.

Примером может служить расчет пластин методами граничной коллокации [2], результат исследований О. В. Машкина и д-ра физ.-мат. наук, проф. В. В. Роголевича — метод, реализуемый для конкретных параметров пластины, позволяет получить надежное приближенное решение в виде формулы в задачах изгиба, числа и формулы в задачах устойчивости. Он основан на простой аппроксимации функций прогиба, определении одной константы решения из условия ортогональности невязки с аппроксимирующей функцией, отыскании корректирующих параметров из условия минимума среднеквадратических интегральных невязок в задачах изгиба или минимума сжимающего усилия в задачах устойчивости.

Для избежания двойственности в расчете конструкций, когда опреде-

ление усилий производится методами теории упругости, а подбор сечений элементов выполняется по предельному состоянию, необходимо определить возможность сочетания двух научных направлений: упругая работа пластин вокруг отверстий и виртуальная работа пластин с линейными пластическими шарнирами. Еще одним важным вопросом является возможность корреляции величин между этими двумя состояниями для определения прогибов реальных конструкций.

Расчет плиты с отверстием по методу предельного равновесия помогает решить эту задачу. В работе Р. В. Зиновьевой, Н. Ф. Зиновьева, А. М. Фрактера изложены результаты экспериментально-теоретических исследований железобетонных плоских плит, ослабленных отверстием, анализируются схемы излома в зависимости от места расположения отверстия и излагаются методы расчета квадратных, прямоугольных и круглых плит с отверстием различной формы при разных условиях опирания [3]. Примерами, приведенными в книге, подтверждается, что расчет плит с отверстием по методу предельного равновесия не представляет трудностей и, к тому же, дает существенную экономию арматурной стали. Так, для рассчитанных плит эта экономия составила около 24%.

Для расчета плиты с отверстием применен кинематический способ метода предельного равновесия, суть которого подробно изложена в учебно-методическом пособии С. М. Скоробогатова [4].

Ввиду сложности задачи для построения методики расчета были использованы результаты давних опытов, проведенных в НИИЖБ А. А. Гвоздевым, М. С. Крыловым и др. [5, 6]. Опыты показали, что кривая прогибов для удобства может быть аппроксимирована двумя почти прямолинейными участками, у которых скорости нарастания

деформаций существенно различаются (рис. 1). Первый участок ($0 - q_{crc}$) распространяется от начала нагружения до момента образования первых трещин. Второй участок ($q_{crc} - q_{ult}$) распространяется от момента образования трещин до появления пластических шарниров, то есть до расчетного предельного состояния (стадия предразрушения).

Приблизительно прогиб плит при эксплуатационной нагрузке $q_{экс} = q_{дл}$ может быть определен по линейной интерполяции между прогибом f_{crc} , непосредственно предшествующим образованию первых трещин, и прогибом f_{ult} , непосредственно предшествующим исчерпанию несущей способности плит:

$$f_{сер} = f_{crc} + (f_{ult} - f_{crc}) \frac{q_{дл} - q_{crc}}{q_{ult} - q_{crc}}, \quad (1)$$

где $q_{crc} < q_{экс} < q_{ult}$, $q_{экс} < q_{дл} < q_n$.

При этом полностью исчезает необходимость в трудоемком вычислении известного и проблемного коэффициента ψ_s .

В формуле (1) $q_{экс} = q_n$ — действующая эксплуатационная нормативная равномерно распределенная нагрузка при коэффициенте надежности $\gamma_f = 1,0$. В большинстве случаев $q_{экс} = q_{дл}$ — длительно действующая нагрузка.

Для шарнирно опертых плит прогиб f_{crc} определяется как для упругой плиты по формулам строительной механики. Для защемленных

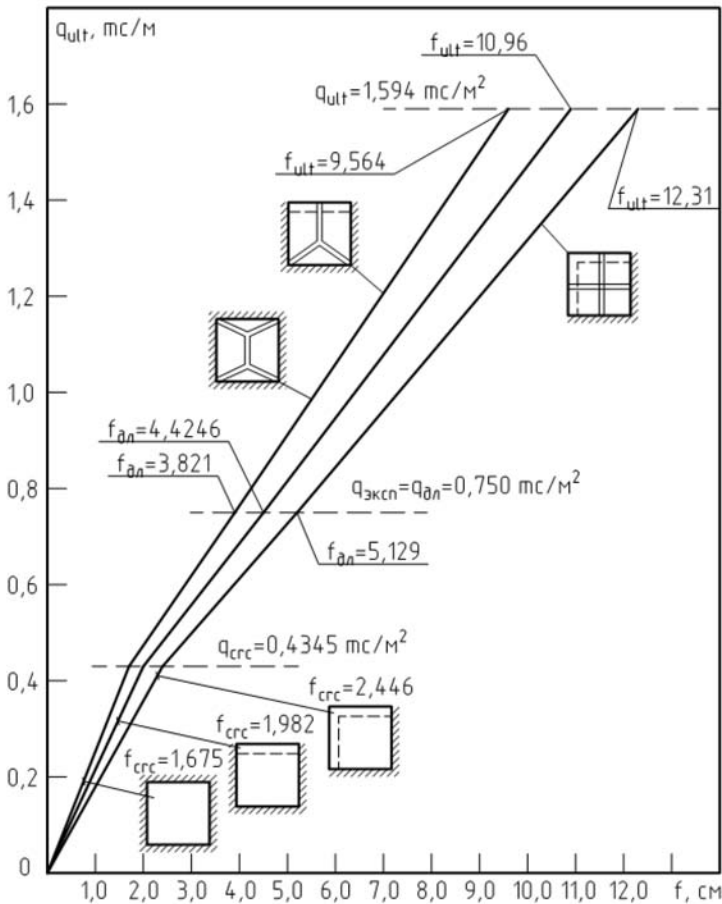


Рис. 1. Схемы линейной интерполяции на линии между q_{crc} и q_{ult}

по контуру плит определение f_{crc} встречает дидактические и психологические трудности. За прогиб f_{crc} следует принимать величины прогиба плит при образовании трещин в пролете ($M_{crc} = R_{bt,n} W_{pl}$), когда трещины в заземлениях уже имеются. Поэтому формулы строительной механики для определения $M_{пр}$ не рекомендуются [7].

Дело в том, что опорные моменты $M_{оп}$ всегда больше, чем $M_{пр}$ [7].

Увеличение пролетного момента $M_{пр}$ до величины M_{crc} приводит к приращению нагрузки в пролете. Это вызывает увеличение величины опорного момента $M_{оп} = M_{crc} + \Delta M$ и в целом увеличение нагрузки $q + \Delta q$.

Расчетная схема плиты в данном случае может быть представлена в виде шарнирно опертой плиты, нагруженной данной нагрузкой Δq и неизвестными моментами $M_{оп} + \Delta M$ вдоль длинной заземленной стороны (то есть от $q + \Delta q$).

Для определения величин f_{crc} следует принимать $M_{оп} = M_{crc}$ и пользоваться формулами для упругих плит. От нагрузки $M_{оп} = M_{crc} + \Delta M$ (или $q + \Delta q$) для схемы с заземлением по контуру:

$$f = f_{crc} = \alpha \frac{(q + \Delta q)}{D} l_1^4, \quad (2)$$

где q и Δq определяются из формулы

$$M_{оп} = \beta q l_1^2. \quad (3)$$

Для упругих тел обычно пользуются понятием цилиндрической жесткости:

$$D = \frac{E_b h^3}{12(1 - \mu^2)} \text{ при } \mu = 0,2. \quad (4)$$

Для железобетона как упруго-пластического тела, или тела с трещинами, коэффициентом Пуассона не пользуются.

Более того, в современных нормах и пособиях рекомендуется исполь-

зовать специальные формулы для определения величины жесткости D :

$$D = E_{b1} \cdot I_{red} \quad \text{для тела без трещин,} \quad (5)$$

$$D = E_{s,red} A_s Z (h_0 - x_m) \quad \text{для тела с трещинами.} \quad (6)$$

В формулах (5) и (6) пользуются приведенными величинами E_{b1} и $E_{s,red}$, особенно при длительном действии нагрузки.

Наибольшую трудность вызывает определение f_{ult} , которая зависит от кривизны $\left(\frac{1}{r}\right)$ [7]:

$$\left(\frac{1}{r}\right) = \frac{R_{s,n}}{h_0 E_s} \left(1 + \frac{1,8 \cdot \alpha_s \mu_s}{\xi_{crc}}\right), \quad (7)$$

Определение прогиба f_{ult} встречает методические трудности. В связи с неопределенностью величин опорных моментов в процессе нагружения после трещинообразования, становится малоопределенной величина σ_s (или $R_{s,n}$). Следует сделать следующее замечание, смягчающее остроту проблемы. При малых процентах армирования, что характерно для плитных конструкций, в формуле (7) между величиной $(1/r)$ и $R_{s,n}$ существует почти прямолинейная зависимость. Поэтому не столь важно, какую величину вместо $R_{s,n}$ можно использовать.

Однако несмотря на все преимущества применения метода расчета по предельным состояниям, он представляет серьезную проблему при сочетании с методом конечных элементов, ориентированным на использование современных программных комплексов.

Современные компьютерные программы расчета строительных конструкций слабо увязывают общие методы решения задач строительной механики с современными нормами, учитывающими новые физико-механические модели. Во многих

программах используются линейные зависимости для бетона. В результате нормы проектирования и компьютерные методы развиваются разными путями. В некоторых программах пластические деформации учитываются с помощью единых, малообоснованных и слишком округленных коэффициентов. Умалчивание о примененных алгоритмах снижает доверие к программным комплексам. Уязвимость безбалочных перекрытий в прогибах из-за малой жесткости не исключает необходимости поверочных расчетов (после расчетов на ЭВМ) по первой и второй группам предельных состояний.

Для устранения этого противоречия необходимо решить задачу получения предельного состояния рассчитываемой конструкции средствами метода конечных элементов. То же возможно только при условии учета всех нелинейных свойств, проявляемых этой конструкцией к моменту достижения ею предельного состояния, то есть при учете степени влияния и времени появления каждого отдельного нелинейного свойства.

Данная проблема представляется очень актуальной в современных условиях. Одним из возможных способов ее решения является метод дополнительных конечных элементов, изложенный в монографии А. В. Ермаковой, сочетающий три метода расчета конструкций: конечных элементов, дополнительных нагрузок и предельных состояний [8].

Согласно методике этого расчета, процесс изменения нелинейных свойств отдельного конечного элемента при постепенном достижении им предельного состояния моделируется при помощи специально разработанных дополнительных конечных элементов, позволяющих менять свойства основного элемента. Предлагаемые дополнительные

конечные элементы позволяют строить вектора дополнительных нагрузок независимо от характера наблюдаемых нелинейных свойств основных элементов.

Дополнительные нагрузки могут быть построены тремя способами на основе: дополнительных конечных элементов общего вида, меняющих матрицы жесткости основных элементов; дополнительных элементов первого типа, меняющих напряженное состояние основных элементов, и дополнительных элементов второго типа, меняющих деформированное состояние основных конечных элементов.

Для описания предельного состояния всей конструкции предлагается использовать идеальную модель ее разрушения, представляющую расчетную схему этой конструкции в момент предельного равновесия. Она состоит из двух: расчетной схемы из основных конечных элементов с линейными свойствами и расчетной схемы из дополнительных элементов с нелинейными свойствами, соответствующих данной стадии предельного состояния.

Расчетная схема из дополнительных элементов изменяет исходную схему из линейных элементов таким образом, чтобы она соответствовала достигнутой к данному моменту стадии предельного состояния конструкции; в предельной стадии она превращает исходную расчетную схему в идеальную модель разрушения конструкции.

Из вышесказанного можно сделать вывод, что предлагаемая методика достаточно проста и может служить основой для алгоритмов и программ, реализующих расчет конструкций по предельным состояниям, в том числе и для расчета монолитных железобетонных безбалочных перекрытий с отверстиями. ■

Литература

1. Скоробогатов С. М., Хомяков В. А., Морданов О. Н., Морданова Е. С. Классификация катастроф железобетонных конструкций // Вестник УрГУПС, 2010, № 4. С. 63–71. ISSN 2079-0392.
2. Расчет пластин методами граничной коллокации: монография / О. В. Машкин, В. В. Рогалевич. Екатеринбург: Изд-во АМБ, 2011. 76 с.
3. Железобетонные плиты с отверстием [Зиновьева Р. В. и др.]. М.: Стройиздат, 1975. 112 с.
4. Скоробогатов С. М. Поверочные расчеты безбалочных бескапитальных монолитных железобетонных перекрытий по второй группе предельных состояний (прогибы, трещины) // Для бакалавров, инженеров и магистрантов специальности ПГС. Екатеринбург: УрГУПС, 2011. 80 с.
5. Руководство по расчету статически неопределимых железобетонных конструкций // НИИЖБ. М.: Стройиздат, 1975. 193 с.
6. Руководство по проектированию железобетонных конструкций с безбалочными перекрытиями. М.: Стройиздат, 1979. 63 с.
7. Проектирование железобетонных конструкций: справочное пособие / Под ред. А. Б. Гольшева. Киев: Будівельник, 1990. С. 360–373.
8. Ермакова А. В. Метод дополнительных конечных элементов для расчета железобетонных конструкций по предельным состояниям. М.: АСВ, 2007. 128 с.

References

1. Skorobogatov S. M., Homjakov V. A., Mordanov O. N., Mordanova E. S. Klassifikatsija katastrof zhelezobetonnykh konstruksij [Catastrophes' classification of ferron-concrete constructions] // Vestnik UrGUPS, 2010, № 4. S. 63–71. ISSN 2079-0392.
2. Raschet plastin metodami granichnoj kollokatsii: monografija [Calculation of plates using boundary collocation methods] / O. V. Mashkin, V. V. Rogalevich. Ekaterinburg: Izd-vo AMB, 2011. 76 s.
3. Zhelezobetonnye plity s otverstiem [Ferron-concrete plates with holes] [Zinov'eva R. V. i dr.]. M.: Strojizdat, 1975. 112 s.
4. Skorobogatov S. M. Poverochnye raschety bezbalochnykh beskapitelnykh monolitnykh zhelezobetonnykh perekrytij po vtoroj grappe predelnykh sostojanij (progiby, treschiny) [Checking calculation of girderless non-capital monolithic ferron-concrete floors by the second group of marginal states (deflections, cracks)] // Dlja bakalavrov, inzhenerov i magistrantov specialnosti PGS. Ekaterinburg: UrGUPS, 2011. 80 s.
5. Rukovodstvo po raschetu staticheski neopredelimykh zhelezobetonnykh konstruksij [Guidelines on calculation of statically indeterminate ferron-concrete constructions] // NIIZhB. M.: Strojizdat, 1975. 193 s.
6. Rukovodstvo po proektirovaniju zhelezobetonnykh konstruksij s bezbalochnymi perekrytijami. [Guidelines on designing ferron-concrete constructions with girderless floors] M.: Strojizdat, 1979. 63 s.
7. Proektirovanie zhelezobetonnykh konstruksij: spravocnoe posobie [Designing ferron-concrete constructions: training aid] / Pod red. A. B. Golsheva. Kiev: Budivelnik, 1990. S. 360–373.
8. Ermakova A. V. Metod dopolnitelnykh konechnykh elementov dlja rascheta zhelezobetonnykh konstruksij po predelnykh sostojanijam. [Method of additional finite elements to calculate ferron-concrete constructions by marginal states] M.: ASV, 2007. 128 s.

Статья сдана в редакцию 14 ноября 2011 года

УДК 625.1:625.42

А. В. Гречаник, А. В. Замуховский, Б. В. Наумов

Виброгасящие скрепления для метрополитена

UDC 625.1:625.42

A. V. Grechanik, A. V. Zamukhovsky, B. V. Naumov

Vibration-absorbing fastenings for underground

Аннотация

Защита близкорасположенных зданий и сооружений от низкочастотных вибраций, распространяющихся в грунтах и передающихся через фундаменты зданий на их несущие конструкции, вызывая в них вибрации и вторичный структурный шум, актуальна не только для вновь строящихся, но и для давно эксплуатируемых линий метрополитена.

На основе анализа существующих виброгасящих конструкций предложен новый подход, основанный на ограничении степеней свободы перемещения рельса до одной, в которой регулируется общая жесткость.

Предложенные конструкции пути со скреплениями серии ВГС полностью отвечают всем требованиям метрополитенов, обеспечивают снижение динамических воздействий на подрельсовое основание, исключают отрыв подрельсовых опор от бетонного основания, обеспечивают возможность легкого обслуживания и замены упругих элементов, исключают износ элементов конструкции, благодаря отсутствию в ней пар трения.

Приведено сравнение теоретической и фактической линии влияния вертикальных перемещений рельса с виброгасящими скреплениями

Ключевые слова:

виброзащита зданий и сооружений; виброгасящие скрепления; подрельсовое основание.

Abstract

Protection of close buildings and constructions from low frequency vibrations propagated in soils and transferred through buildings basements on their bearing structures, causing vibration and secondary structure noise is a very topical problem both for underground lines which are being built and which are being used for a long time.

Based on the analysis of existing vibration-absorbing constructions it is offered a new approach grounded on constraint of rail move to one, where total hardness is regulated.

The suggested constructions of a track with fastenings of vibration-absorbing fastenings type completely meet all the requirements of undergrounds, provide reduction of dynamic influences on under-rail base, exclude breakaway of rail support from concrete base, give the possibility of easy service and resilient members replacement, exclude construction elements wear due to the lack of friction pairs.

The comparison of theoretical and actual influence lines of vertical rail move with vibration-absorbing fastenings.

Key words:

vibroprotection of buildings and constructions; vibration-absorbing fastenings; under-rail base.

Гречаник Александр Викторович — канд. техн. наук, ассистент; кафедра «Путь и путевое хозяйство» Московского государственного университета путей сообщения, Москва, Россия. grech84@mail.ru

Замуховский Александр Владимирович — канд. техн. наук, доцент; кафедра «Путь и путевое хозяйство» Московского государственного университета путей сообщения, Москва, Россия. miit_prx@rambler.ru.

Наумов Борис Владимирович — канд. техн. наук, генеральный директор группы компаний АБВ, Москва, Россия. bnaumov@sats.ru.

Aleksander V. Grechanik — PhD, Associate professor; «Track and track facilities» department of Moscow State University of Railway Transport, Moscow, Russia. E-mail: grech84@mail.ru.

Aleksander V. Zamukhovsky — PhD, Associate professor; «Track and track facilities» department of Moscow State University of Railway Transport, Moscow, Russia. E-mail: miitprx@rambler.ru.

Boris V. Naumov — PhD, CEO of ABV companies group; Moscow, Russia. E-mail: bnaumov@sats.ru.

На железных дорогах России остро стоит проблема снижения уровня вибрации при прохождении подвижного состава. В данной статье предлагаем рассмотреть один из вариантов решения этой проблемы на примере метрополитена.

Основной проблемой метрополитена является защита близкорасположенных зданий и сооружений от низкочастотных вибраций, распространяющихся в грунтах и передающихся через фундаменты зданий на их несущие конструкции, вызывая в них вибрации и вторичный структурный шум. Эта проблема актуальна не только для строящихся линий, но и для давно эксплуатируемых. Сегодня в России и за рубежом случаи, когда удавалось решить ее достаточно эффективно, единичны, да и то лишь на коротких участках пути.

Анализ и обобщение методов, примененных при создании виброзащитных конструкций пути метрополитена, показывает, что их можно свести к двум основным способам: а) виброгашение (снижение вибраций, возникающих при взаимодействии пути и подвижного состава, за счет снижения жесткости подрельсовых опор) и б) виброизоляция (уменьшение вибраций, передаваемых от рельса на лотковую часть тоннеля, путем снижения передаточной функции подрельсового основания за счет антирезонанса, то есть использования эффекта того, что генерируемые поездом возбуждающие колебания, частоты которых больше чем собственная частота верхнего строения пути, располагающегося между источником — линией взаимодействия «колесо — рельс» — и лотковой частью тоннеля, не способны вынудить верхнее строение пути к значительным колебаниям, и оно, не раскачавшись само, не раскачает и лотковую часть тоннеля и тоннельную обделку).

Для высокой эффективности виброзащиты необходимо максимальное

выполнение, как минимум, одного из двух условий: снижение динамической жесткости пути и увеличение массы подрельсового основания и снижение динамической жесткости подвешивания подрельсового основания.

Снижение жесткости конструкции осуществляется путем расположения упругих элементов в стыках между ее частями. Вместо жестких опор появляются пружины. Это приводит к тому, что: а) установочная база, ограничивающая элемент конструкции в перемещении по вертикали и поворотах вокруг горизонтальных осей, при преобразовании базовых опор в упругие, предоставит ему свободу перемещения сразу по трем координатам; полезным является вертикальное перемещение, а поворот вокруг горизонтальной оси, параллельной оси рельса, приводит к нарушению геометрии и стабильности и б) направляющая база выражена двумя точками. При снижении жесткости установочной базы элемента и начале перемещения элемента на 5 мм под нагрузкой возникает скольжение этого элемента по направляющей базе, что приводит к износу элемента или поверхностей направляющей базы и нарушению геометрии и стабильности пути.

Особенно открыто последствия первого типа проявляются при снижении жесткости скрепления или подрельсовых опор (шпалы, полушалки), поскольку малые расстояния между базовыми опорами приводят к большим углам вредных поворотов.

Последствия второго типа более опасны в случаях введения упругих элементов под крупноразмерные подрельсовые опоры — лежни, рамы или плиты, — поскольку большая масса элементов создает высокие контактные напряжения на примыкающих поверхностях направляющей базы, тем самым увеличивая силу трения и, как следствие, износ.

Борьба конструкторов с первым из названных последствий ведется давно. В основном, она была сконцентрирована в узле скрепления и привела в конце 90-х годов прошлого века к созданию упругих подрельсовых прокладок с несимметричными по направлениям свойствами, которые позволяют повысить горизонтальную жесткость, не увеличивая вертикальную. Принцип их действия построен на том, что при сжатии подкладки от поворота рельса под воздействием боковой силы происходит деформация прокладки до того предела, где она становится существенно жестче и, тем самым, предотвращает дальнейший поворот рельса.

Принципиально новым решением той же задачи стало скрепление Vanguard фирмы Pandrol, специализирующейся на рельсовых скреплениях (рис. 1).

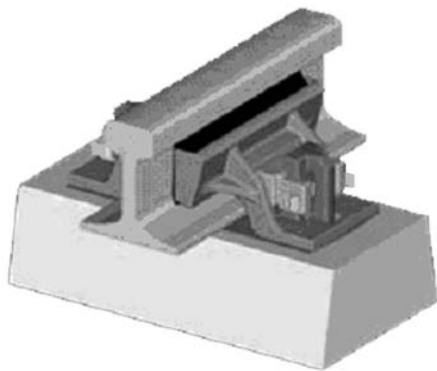


Рис. 1. Скрепление Vanguard

Это скрепление оригинальной конструкции, в котором рельс зажат за шейку, а не за подошву; под поездной нагрузкой метрополитена позволяет рельсу перемещаться по вертикали до 4,5 мм, а по горизонтали до 0,5 мм. При этом снижение виброускорений на тоннельной обделке достигло по данным производителя 10–20 дБ в диапазоне частот от 8 до 63 дБ.

Новый подход к решению проблемы перемещения рельса по вертикали представлен на рис. 2.

Конструкция состоит из подкладки с двумя вертикальными ребрами, в которых закреплена ось через сайлент-блоки. На оси закреплен рычаг, к которому крепится рельс стандартными клеммами от скрепления КБ. Вторым концом рычаг опирается на пружину из полиуретана.

Изменением плеч от шарнира до рельса и до упругого элемента в сочетании с жесткостью упругого элемента можно в процессе конструирования регулировать жесткость подрельсовой опоры в целом, что дополнительно расширяет выбор упругих элементов.

Конструкция обеспечивает соблюдение всех допусков по параметрам пути и способна обеспечивать жесткость пути и нагрузочную способность.

Подход к разработке предложенной конструкции хорошо иллюстрируют схемы на рис. 3 и 4.

На рисунках 3 и 4 приняты следующие обозначения: c_z — приведенная жесткость в вертикальном направлении; c_y — приведенная жесткость в поперечном направлении; c_ϕ — жесткость на поворот рельса вокруг продольной оси (на опрокидывание); b_z — эквивалентный коэффициент вязкого трения в вертикальном направлении; b_y — эквивалентный коэффициент вязкого трения в поперечном направлении.

На рис. 3 рельс имеет три степени свободы (в плоскости чертежа), а на рис. 4 — только две, причем жесткость в направлении оси Oy жесткость узла значительно больше жесткости по направлению Oz .

Новая конструкция пути полностью отвечает всем требованиям метрополитенов, обеспечивает снижение динамических воздействий на подрельсовое основание, исключает отрыв подрельсовых опор от бетонного основания, обеспечивает

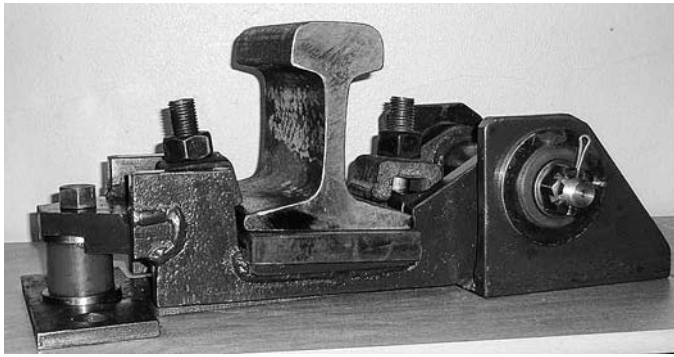


Рис. 2. Виброзащитная конструкция рельсового скрепления

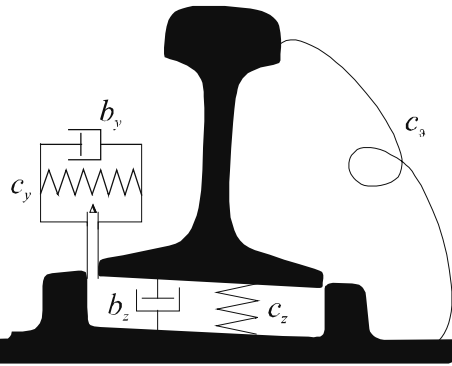


Рис. 3. Эквивалентная схема традиционного промежуточного скрепления

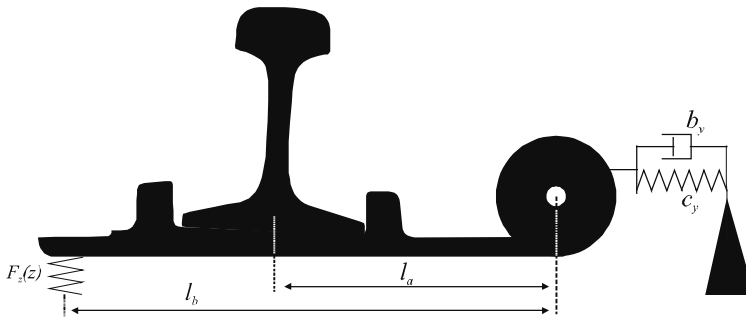


Рис. 4. Эквивалентная схема нового промежуточного скрепления

возможность легкого обслуживания и замены упругих элементов, исключает износ элементов конструкции, благодаря отсутствию в ней пар трения.

Такое конструктивное решение было реализовано в конструкции «Скрепления виброгасящие ВГС 2.50», которые предназначены для установки на деревянные шпалы,

уложенные на щебень или путевой бетон. Впервые такие скрепления были уложены на Сокольнической линии от ПК 015+60 до ПК 017+30 по I и II главным путям перегона Библиотека им. Ленина — Кротопкинская.

В январе 2006-го года проведен контроль работы подрельсового основания на участке с виброгасящими

скреплениями на Сокольнической линии по обоим главным путям. Эффективность виброгашения определялась городской санэпидемстанцией и составила, по ее заключению, в среднем 10 дБ в октавах 31,5 и 63 Гц, что было признано достаточным для обеспечения требований санитарных норм в помещении ГМИИ им. Пушкина, расположенном над линией метрополитена. Основная цель испытаний — оценка стабильности геометрических параметров пути. При этом определялись: стабильность пути в плане; стабильность ширины колеи; величина вертикальных перемещений рельса относительно шпалы; сжатие упругого элемента скрепления (пружины) под поездной нагрузкой; величина горизонтальных перемещений скрепления относительно шпалы.

Стабильность пути в плане и ширины колеи определялась по лентам путеизмерительного вагона.

Вертикальные и горизонтальные перемещения рельса относительно шпалы определялись под поездной нагрузкой с помощью прогибомеров, установленных на шпалах.

По результатам измерения вертикальных перемещений рельса и горизонтальных перемещений скрепления относительно шпалы под поездной нагрузкой определяются статистические характеристики перемещений с расчетом доверительных интервалов величин с вероятностью $p = 0,994$ при нормирующем множителе $l = 2,5$

Получены следующие результаты.

Величина вертикального перемещения рельса опытного пути со скреплениями виброгасящими под поездной нагрузкой, измеренная на прямой и на кривой радиусом 400 м при скорости движения 60 км/ч, не превышает 3,92 мм.

Величина сжатия пружин под нагрузкой путеизмерительного вагона, измеренная на прямой, не превышает 8,04 мм. Максимально вероятное

значение сжатия при этом составляет 8,37 мм (при условии не превышения указанной величины с вероятностью $p = 0,994$) при допусковом расчетном сжатии 10 мм. График сжатия пружин на пути I представлен на рис. 5.

Изменение подуклонки рельса относительно статического положения при проходе подвижного состава не превышает $0,6^\circ$, или $1/96$, при допусковом значении 1° , или $1/60$.

На рис. 5 по оси абсцисс указаны номера шпал, по оси ординат — сжатие пружины, мм. Приняты следующие обозначения: пунктирная линия — среднее значение перемещений, сплошная линия — максимально вероятное значение.

Линия влияния сжатия пружин и, соответственно, вертикального перемещения рельса имеет длину около 4 м, что косвенно обуславливает низкие изгибные напряжения в рельсе по сравнению с типовой конструкцией пути. Такая линия влияния на переходной кривой представлена на рис. 6.

Как видно из рис. 6, фактическая линия влияния лежит вблизи теоретически полученных значений. На рис. 6 по оси абсцисс указано расстояние в метрах, по оси ординат — перемещение рельса, мм. Приняты следующие обозначения: пунктирная линия — теоретическая линия влияния, сплошная — линия влияния, построенная по результатам испытания.

Измеренная линия влияния подтвердила применимость типовой методики расчета прогиба рельса и нагрузки на каждое скрепление к пути на виброгасящих рельсовых скреплениях. Согласно этой методике, нагрузка на одно скрепление при рельсе Р65 примерно на 20% меньше, чем при рельсе Р50, на котором проводились испытания.

Таким образом, применение рельса Р65 позволит создать дополнительный запас прочности и надежности скрепления.

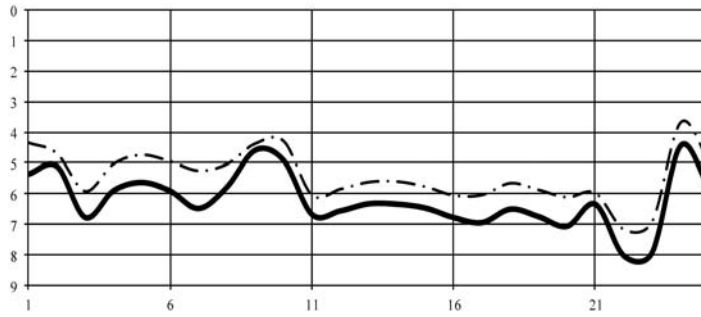


Рис. 5. Сжатие пружин под поездной нагрузкой путь I, круговая кривая радиусом 600 м

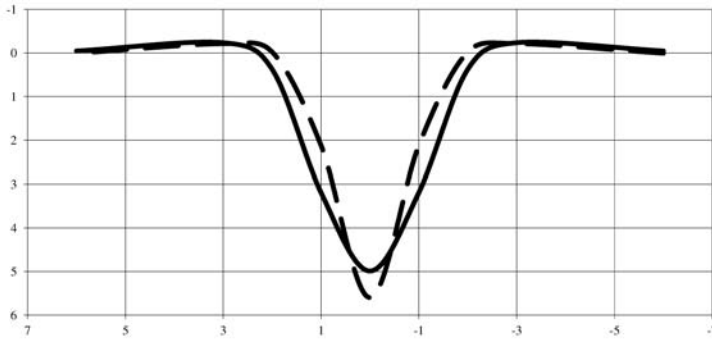


Рис. 6. Линия влияния вертикального перемещения рельса на переходной кривой

Для построения теоретической линии влияния и определения жесткости пути по результатам измерений использовалась методика оценки воздействия подвижного состава на путь по условиям обеспечения его надежности [1], в основу которой положена широко известная гипотеза Винклера для балки, лежащей на сплошном упругом основании [2].

Прогиб балки:

$$y = \frac{k}{2U} \Sigma P \eta,$$

где $k = \sqrt[4]{\frac{U}{EI}}$ — коэффициент относительной жесткости;

$$U = \sqrt[3]{\frac{1}{64EI} \left(\frac{P}{\Sigma y_i} \right)^4} \text{ — модуль упру-}$$

гости пути;

l — расстояние между подрельсовыми опорами;

P — нагрузка от колеса на рельс;
 $\eta = e^{-kx} (\cos kx + \sin kx)$ — параметр, учитывающий влияние соседних осей.

$$ж = l * U \text{ или } ж = l^3 \sqrt[3]{\frac{1}{64EI} \left(\frac{P}{y} \right)^4}.$$

Скрепление виброгасящее ВГС 2-50 было рекомендовано для дальнейшего внедрения и укладки на прямых и в кривых с радиусом более 200 м при установленных скоростях движения не более 80 км/ч (максимальные скорости движения поездов в метрополитенах).

Дальнейшее развитие креплений пошло по двум направлениям. Первое из них — оптимизация конструкции с целью повышения надежности и снижения стоимости. Второе — объединение виброзащитного крепления со шпалой коротышом из композиционного материала. Оба

направления получили свою реализацию. Модернизированное скрепление для пути на деревянных шпалах ВГС2-50 МД серийно производится в настоящее время и устанавливается как на действующие, так и на строящиеся линии метрополитенов (рис. 7).

Скрепление ВГС в сочетании со шпалой-коротышом из композиционного материала (рис. 8) получило обозначение ВГС5-65 и широко используется при новом строительстве Московского метрополитена — более 20 км пути оснащены этими скреплениями.

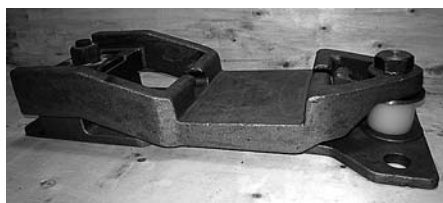


Рис. 7. Модернизированное скрепление для пути на деревянных шпалах ВГС2-50 МД



Рис. 8. Скрепление ВГС в сочетании со шпалой-коротышом из композиционного материала

В настоящее время (октябрь 2011 г.) скрепления ВГС2-50 МД уложены на линии Екатеринбургского метрополитена.

Дальнейшее развитие конструкции пути для метрополитена вытекает из следующих моментов:

— до настоящего времени в метрополитене применяется шпальный

путь, что обусловлено, прежде всего, технологией его укладки;

- шпалы применяются либо деревянные (значительно менее прочные, чем путевой бетон), либо полимербетонные (значительно прочнее путевого бетона). Результатом является нарушение связи «шпала — бетон», что приводит к значительным затратам в текущем содержании пути;
- применяется путевой бетон низких марок для облегчения замены шпал (при замене шпал бетон вокруг них вырубается и заливают вновь).

При новом строительстве сооружение верхнего строения пути является одной из самых продолжительных, трудоемких и слабомеханизированных операций во всем процессе строительства метрополитена. Если современные проходческие комплексы позволили во много раз ускорить процесс сооружения тоннелей, то при сооружении ВСП до сих пор используется технология, мало изменившаяся за последние 80 лет. Здесь и сооружение опалубки из дерева, и установка пути в плане и профиле с помощью подпорок, распорок и домкратов, требующее большого количества ручного труда и непрерывного маркшейдерского контроля, и многое другое. Россия не является в этом вопросе исключением — подобные технологии применяются и в Европе, и в странах Азии. Однако там уже наметились тенденции к переходу к качественно новым технологиям.

Стала заметна тенденция сооружения нижнего строения пути, в том числе и в тоннелях, методом непрерывной укладки бетона со скользящей опалубкой с применением высокоточных систем управления. Эти методы давно и широко применяют при строительстве автодорог и взлетно-посадочных полос аэродромов. Подобные бетоноукладчики не являются новинкой и в России. Их создавали и начинали применять для соору-

жения автодорог в СССР еще в 70-е годы, однако дальнейшего распространения технология у нас не получила. По мере развития техники в мире появились малогабаритные бетоноукладчики, способные осуществлять укладку нижнего строения пути в тоннелях диаметром сначала 8, а потом и 6, и 5,5 м. Более того, новые системы высокоточного управления позволяют бетоноукладчикам со скользящей опалубкой создавать не только нижнее, но и верхнее строение пути, обеспечивая точность, достаточную для последующей установки непосредственно на бетонное основание рельсовых креплений и на них рельса без дополнительных работ по выправке пути в плане и профиле. Таким образом, новая технология становится логичным продолжением уже существующей технологии проходки тоннелей, поскольку бетоноукладчик управляется системой, аналогичной системе управления проходческим комплексом, способной использовать те же координаты. Применение метода сооружения ВСП методом скользящей высокоточной опалубки может обеспечить в два-четыре раза сокращение сроков сооружения пути метрополитена, в два-три раза уменьшить трудозатраты, обеспечить высокое качество пути, не зависящее от человеческого фактора.

Применение высокоточной укладки путевого бетона, производимой в той же системе координат, что и прокладка тоннеля, позволяет применять современные конструкции ВСП:

Литература

1. Методика оценки воздействия подвижного состава на путь по условиям обеспечения его надежности. ЦПТ-52–14. Утв. ЦЗ МПС 16.06.2000.
2. Дарьков А. В., Кузнецов В. И. Основы теории расчета балок на упругом основании. М.: Гос. трансп. жел.-дор. изд-во, 1940. 88 с.

References

1. Metodika otsenki vozdejstvija podvizhnogo sostava na put po uslovijam obespechenija ego nadezhnosti. [Technique of assessing rolling stock influence on a track by conditions of its reliability ensuring] СРТ-52–14. Утв. CZ МРС 16.06.2000.
2. Darjko A. V., Kuznetsov V. I. Osnovy teorii rascheta balok na uprugom osnovanii. [Fundamentals of calculation theory of girders on elastic foundation] M.: Gos. transp. zhel.-dor. izd-vo, 1940. 88 s.

лежневый путь; бесшпальный путь; путь со сплошным опиранием рельса (бесшпальный рельс).

Бесшпальный путь применяется на зарубежных дорогах, например, при реконструкции мостового полотна и пути в тоннелях.

Жесткость подрельсового основания, получаемого таким методом, успешно компенсируется современными рельсовыми креплениями типа ВГС10 (рис. 9). Крепление ВГС10 в настоящее время проходит стендовые испытания в МИИТ.



Рис. 9. Крепление типа ВГС10

В России разработаны, испытаны и все шире применяются на метрополитенах виброгасящие крепления серии ВГС.

Наличие таких креплений в сочетании с опытом работы с бетоноукладчиками непрерывного типа позволяет рассматривать эту технологию как одну из наиболее перспективных для строительства метрополитена высокими темпами. ■

АСПИРАНТСКАЯ ТЕТРАДЬ

УДК 621.332.35

А. О. Грехов

Причины и определение места вероятного обрыва проволок медного несущего троса контактной сети

UDC 621.332.35

A. O. Grekhov

Origins and detection of probable wire break of contact system copper messenger cable

Аннотация

Рассмотрено уравнение несущего троса, представленного в виде гибкой нити. Определено, что величина продольной силы в тросе зависит от стрелы провеса и достигает своего максимального значения в точке крепления несущего троса. Описан процесс обрыва внутренних проволок несущего троса под действием поперечной силы в точке опоры троса в седло. Определены аналитические зависимости для максимального напряжения в точке контакта проволок. Показано, что наибольшего значения поперечные и продольные силы достигают в точке крепления троса в седло. Это позволяет говорить, что обрыв внутренних жил и троса в целом с большой долей вероятности происходит в точке его крепления. Следовательно, диагностировать несущий трос необходимо именно в этих точках, что позволит уменьшить затраты на диагностику и повысить уровень безопасности движения на железнодорожном транспорте.

Ключевые слова:

несущий трос; стрела провеса; продольная сила; внутренняя жила; натяжение; поперечная сила; контактное давление; седло; контактное напряжение.

Abstract

In the article the messenger cable equation, which is presented as torsion fiber is studied. It is detected that the quantity of cable longitudinal force depends on erecting dip and reaches its maximum value in the fixing point of messenger cable. The process of internal wires break of the messenger cable under longitudinal force in the cable support point into a saddle. The analytic dependences for crest voltage in the point of wires contact are identified. It is shown that transverse and longitudinal forces reach their maximum value of cable fixing point into a saddle. It allows to state that the break of inner conductor and a cable in a whole most probably occurs in its fixing point. Therefore it is necessary to diagnose a messenger cable in these points which will allow to reduce costs on diagnostics and rise the rate of railway traffic safety.

Key words:

messenger cable; erecting dip; longitudinal force; inner conductor; voltage; transverse force; contact pressure; saddle; contact voltage.

Андрей Олегович Грехов — старший преподаватель; кафедра «Электроснабжение транспорта» Уральского государственного университета путей сообщения; Екатеринбург, Россия. E-mail: grehov1981@yandex.ru.

Andrey O. Grekhov — the senior teacher of «Transport power supply» of the Ural State University of Railway Transport; Ekaterinburg, Russia; E-mail: grehov1981@yandex.ru.

В связи с развитием скоростного электрифицированного транспорта остро стоит задача обеспечения безопасности движения за счет использования диагностических средств и построения вероятностных моделей развития неисправностей в отдельных элементах контактной подвески. Одним из основных повреждений является обрыв контактного провода или несущего троса, составляющий до 22 % от общего числа повреждений устройств контактной сети (таблица 1).

Одна из главных причин высокого уровня отказов — отсутствие систем диагностики.

Провода контактной подвески характеризуются значительными токовыми, механическими и климатическими нагрузками, что существенно влияет на увеличение скорости процессов старения и повышению вероятности возникновения отказа.

Медный несущий трос является тросом двойной свивки с винтовым расположением проволок. Проволока получается горячей прокаткой или холодной обработкой — так называемым волочением. Волочение состоит в протяжке заготовок диаметром 5–15 мм, последовательно уменьшающихся в сечении, через конические глазки волочильных досок. Образование проволоки из заготовки и последовательное уменьшение размеров ее сечения совершается за счет ее обжатия. Применяемое при волочении проволоки растягивающее усилие создает при проходе ее через глазок напряжение, соответствующее давлению при истечении металла. Металл приводится в пластическое состояние и деформируется. В результате этой обработки образуется наклеп, обуславливающий

неравномерность свойств отдельных проволок от периферии до центра поперечного сечения.

Можно выделить три составляющих старения несущих тросов: механическая усталость, тепловой и электрический износ, коррозионные процессы. Механическая усталость возникает от колебаний и вибраций проводов, особенно заметно такое явление в местах с наличием сосредоточенных масс, увеличенной жесткости. Это места установки зажимов, поддерживающих конструкций. Механическая усталость приводит к обрыву внешних и внутренних проволок несущего троса. К тем же результатам приводит и коррозия проводов, особенно интенсивная в районах промышленных загрязнений. На проводе М-120, использованном в качестве несущего троса в условиях загрязнения воздуха коксохимическим предприятием, обнаружена значительная коррозия проволок наружного повива [1].

Явление механической усталости у несущего троса особенно наблюдается в местах крепления его в седла. При этом происходит разрыв внутренних проволок, а внешние поволочки остаются целыми. Это происходит оттого, что в местах крепления несущего троса в седло наблюдается повышенное напряженное состояние, вызванное давлением седла на трос и равное опорной реакции в седле от нагрузок на трос. Возникающее поперечное давление на трос из-за свивки проволок под углом приводит к появлению между ними контактных напряжений. Величина этих напряжений зависит от множества факторов, но прежде всего от нагрузок на трос, от температурных и динамических воздействий.

Таблица 1

Обрыв несущего троса, по годам

Год	2005	2006	2007	2008	2009	2010	Итого
Обрыв несущего троса	28	33	26	25	21	26	159

Рассмотрим общеизвестное уравнение несущего троса, где трос представляется в виде гибкой нити [2]. Абсолютно гибкий однородный провод постоянного сечения провисает под действием равномерно распределенной нагрузки, и в нем возникают растягивающие усилия. Рассмотрим кривую провисания провода в двух плоскостях — OX и OY (рис. 1).

Выделим элемент провода dL , к которому приложены натяжения T и T_1 , заменяющие действия отброшенных частей провода и направленные по касательной к проводу. Сила, действующая на этот элемент, — $dQ = qdL$ (q — результирующая нагрузка на провод, кН/м). Из условия, что сумма горизонтальных проекций сил равна нулю, получим

$$T \cdot \cos \alpha = T_1 \cdot \cos(\alpha + d\alpha) = H, \quad (1)$$

где $d\alpha$ — приращение угла α на длине dx ; H — горизонтальная составляющая натяжения провода, кН.

Из условия, что сумма проекций всех сил на ось Y равна нулю, получим: $H(y' - dy') - Hy' - qdL = 0$ ($y = \operatorname{tg}\alpha$; dy' — приращение углового коэффициента касательной). После сокращения имеем $Hdy' = qdL$. Известно, что дифференциал дуги равен

$$dL = \sqrt{dx^2 + dy^2} = \sqrt{1 + y'^2} dx. \quad (2)$$

Следовательно, $Hdy' = q\sqrt{1 + y'^2} dx$.

Откуда
$$\frac{dy'}{\sqrt{1 + y'^2}} = \frac{Hdx}{q}.$$

Заменим $\frac{H}{q} = m$, получим

$$\frac{dy'}{\sqrt{1 + y'^2}} = \frac{dx}{m}.$$

Интегрируя последнее уравнение, получим

$$\operatorname{arcsch} y' = \frac{x + C_1}{m}.$$

Откуда
$$sh \frac{x + C_1}{m} dx = dy.$$

Интегрируя еще раз, получаем уравнение искомой кривой

$$y + C_2 = msh \frac{x + C_1}{m}. \quad (3)$$

Поместив начало координат в точку $(-C_1; -C_2)$, заменим приведенное уравнение (3) более простым

$$y = mch \frac{x}{m}. \quad (4)$$

В выбранной новой системе координат ось ординат является осью симметрии кривой, так как положительные и отрицательные значения x при равной их абсолютной величине дают одно и то же значение y . Подставив в уравнении (4) $x = 0$, получим $y = m$.

Расположим начало координат в точке наибольшего провеса нити C . При этом $x = 0$; $y = 0$; $y' = 0$. Подставляя выражение $x = 0$ в выражения (3) и (4) найдем $C_1 = 0$ и $C_2 = m$ и получим

$$y = m \left(ch \frac{x}{m} - 1 \right). \quad (5)$$

Если разложить правую часть уравнения (5) в ряд Маклорена, то получим

$$y = \frac{x^2}{2!m} + \frac{x^4}{4!m^3} + \frac{x^6}{6!m^4} + \dots \quad (6)$$

Для практических расчетов, учитывая, что длина пролета во много раз больше стрелы провеса, в уравнении (6) достаточно оставить только первый член. Заменив значение m , получаем

$$y = \frac{qx^2}{2H}. \quad (7)$$

Если точки подвеса расположены на одном уровне, то значение стрелы

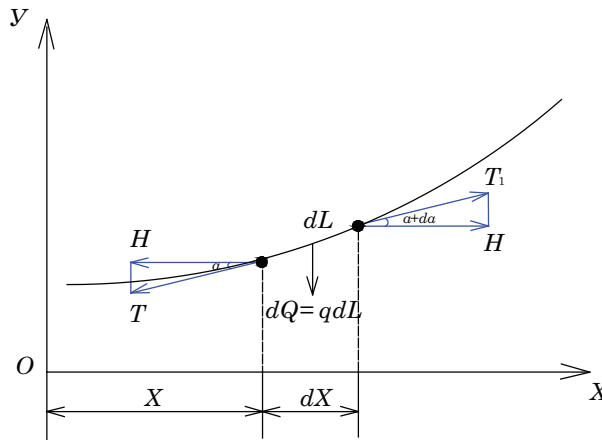


Рис. 1. Силы, действующие на элемент провода

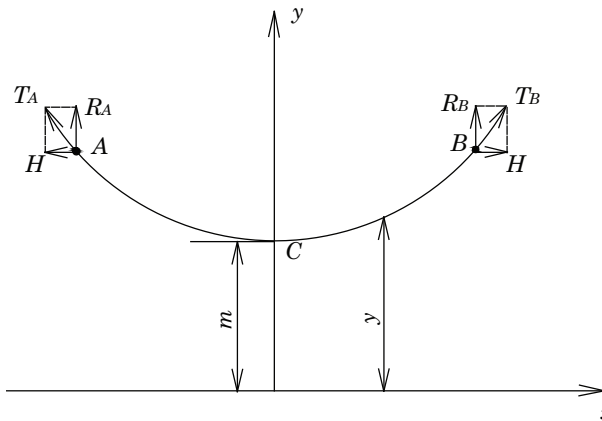


Рис. 2. Кривая провисания свободно подвешенной нити

провеса можно получить, подставив вместо $x = \frac{L}{2}$, то имеем

$$f = \frac{qL^2}{8H}. \quad (8)$$

Уравнение провисания можно представить и в другом виде, используя уравнения (7) и (8):

$$y = \frac{4fx^2}{L^2}. \quad (9)$$

Значение $T = \frac{H}{\cos \alpha}$ (см. рис. 1).

А так как $\cos \alpha = \frac{1}{\sqrt{1 + \operatorname{tg}^2 \alpha}}$ и $\operatorname{tg} \pm = y'$, получим

$$T = H \sqrt{1 + \frac{8fx}{L^2}}. \quad (10)$$

При $x = 0$ $T = H$, следовательно, в точке наибольшего провиса продольная сила натяжения несущего троса равна ее горизонтальной составляющей, а в точке $x = \frac{L}{2}$ величина продольной силы достигает своего максимума. Из выражения (10) видно, что величина продольной силы в тросе зависит от стрелы провиса и достигает своего максимального значения в точке крепления несущего троса.

При растяжении троса рабочей нагрузкой каждая составляющая его

проволока растягивается, изгибается и скручивается. Наибольшее значение имеет растяжение. Центральная проволока троса или каждой его пряди как наиболее короткая при растяжении вытягивается сильнее и рвется раньше других.

Кроме продольных сил в точке крепления на несущий трос действуют поперечные силы, обусловленные его воздействием на седло. Вследствие этих усилий также происходит обрыв внутренних проволок несущего троса. Рассмотрим процесс возникновения поперечной силы в точке опоры несущего троса в седле. Так как несущий трос является канатом двойной свивки, то проволоки располагаются по отношению друг к другу под углом, и в точке их контакта возникают контактные напряжения, а в проволоках возникают упругие деформации.

При сжатии двух тел, имеющих гладкую криволинейную поверхность, в зоне контакта происходит соединение точек поверхностей этих тел. В результате образуется поверхность, называемая поверхностью давления (пятном контакта), ее контур называется контуром давления. На поверхности давления действуют сжимающие напряжения. Расчет общей прочности тел в сечениях, удаленных от места контакта, ведется в соответствии с принципом Сен-Венана без учета особенностей распределения напряжений в зоне контакта. Для определения же местной прочности тела вблизи от точки соприкосновения первостепенную роль играют закон распределения напряжений в зоне контакта и значение максимальных контактных напряжений.

Материал, расположенный непосредственно под зоной контакта, находится в объемном напряженном состоянии, так как сжатие в направлении нормали к площадке контакта (напряжение Q_3 , рис. 3) вызывает расширение объема материала в направлениях, параллельных площадке.

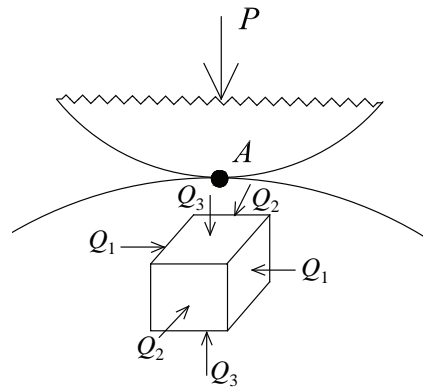


Рис. 3. Расширение объема материала в точке контакта

Поскольку рассматриваемый объем окружен недеформированным материалом, сопротивляющимся расширению, по граням рассматриваемого элемента возникают сжимающие напряжения Q_1 и Q_2 . Эти напряжения, конечно, меньше основных сжимающих напряжений Q_3 , но все же достаточно велики, чтобы оказывать влияние на местную прочность в зоне контакта. В частности, наличие Q_1 и Q_2 , имеющих тот же знак, что и Q_3 , ведет к уменьшению касательных напряжений $\tau = \frac{(Q_1 - Q_3)}{2}$ и повышению сопротивления материала развитию пластических деформаций. В связи с этим материалы в состоянии выдерживать контактные напряжения, в несколько раз превышающие предел прочности Q_B при простом сжатии. Для меди разрушающие контактные напряжения достигают 1200–1500 МПа при $Q_B = 210\text{--}360$ МПа.

В общем случае, как показал Генрих Герц, контур давления является эллипсом. Напряжения в пределах поверхности давления распределены по полуэллипсоиду, причем на границе поверхности касания они равны нулю, а в центре напряжение принимает наибольшее значение

$$Q_{\max} = 1,5 \frac{F}{\pi ab}, \quad (11)$$

где F — сила, с которой тела действуют друг на друга; a и b — длины полуосей эллиптического контура давления, значения которых зависят от геометрии сдавливаемых поверхностей, от модуля упругости, коэффициента Пуассона контактирующих тел и силы F .

Так, при сжатии двух параллельно расположенных цилиндров одинакового радиуса, нагруженных нагрузкой P , образуется поверхность давления. Согласно [3], максимальное сжимающее усилие по длине контакта l находится из выражения

$$Q_{\max} = 0,418 \sqrt{\frac{PE}{l} \cdot \frac{2}{D}}. \quad (12)$$

В несущем тросе контактирующие поверхности проволок расположены под некоторым углом α (рис. 4).

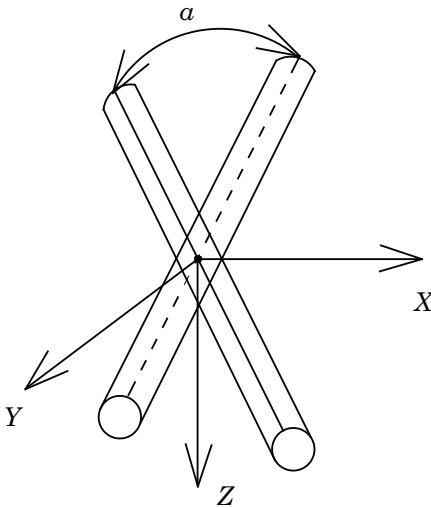


Рис. 4. Расположение контактирующих поверхностей отдельных проволок несущего троса под некоторым углом α

Интенсивность распределения давления на площадке соприкосновения в форме эллипса определяется формулой

$$P(x, y) = q_0 \sqrt{1 - \frac{x^2}{b^2} - \frac{y^2}{b^2(1-e^2)}}, \quad (13)$$

$$\text{где } q_0 = \frac{3P}{2\pi b^2 \sqrt{1-e^2}};$$

$$b = \sqrt{\frac{3}{2\pi} \cdot \frac{PE(e)}{(M+N)(1-e^2)} \cdot \left(\frac{1-\nu_1^2}{E_1} + \frac{1-\nu_2^2}{E_2} \right)};$$

E_1 и E_2 — модуль Юнга материалов соприкасающихся тел;

ν_1, ν_2 — коэффициенты Пуассона.

Эксцентриситет эллипса e определяется из соотношения

$$\frac{M}{N} = \frac{(1-e^2)[K(e) - E(e)]}{E(e) - (1-e^2)K(e)}, \quad (14)$$

$$\text{где } M = \frac{1}{2} \left[\frac{\sin^2 a_1}{r} + \frac{\sin^2(a+a_1)}{r} \right];$$

$$N = \frac{1}{2} \left[\frac{\cos^2 a_1}{r} + \frac{\cos^2(a+a_1)}{r} \right];$$

$$\operatorname{tg} 2a_1 = \frac{\left(-\frac{1}{r} \sin 2a \right)}{\left(\frac{1}{r} + \frac{1}{r} \cos 2a \right)};$$

$K(e)$ и $E(e)$ — полные эллиптические интегралы первого и второго рода; r — радиус кривизны цилиндров, так как проволоки несущего троса имеют одинаковый диаметр, то $r_1 = r_2 = r$.

Для нашего случая напряженное состояние можно представить величиной из двух составляющих: влияние поперечного давления между проволоками и влияние давления при параллельном расположении проволок. Тогда величина максимального напряжения в точке контакта определяется величиной [3]

$$\begin{aligned} \sigma_{\max} = & 0,388 \sqrt{\frac{4PE}{D^2}} \sin \alpha + \\ & + 0,418 \sqrt{\frac{PE}{l} \cdot \frac{2}{D}} \cos \alpha. \end{aligned} \quad (15)$$

Для подвески типа М — 120 + 2 МФ — 100 при угле пересечения проволок $\alpha = 30^\circ$, модуле упругости для меди $E = 12,3 \cdot 10^{10}$ Н/м² и диаметре

проволок троса $M-120 D = 2,80$ мм в каждом пересечении действует сила давления до 10 МПа, при этом максимальное напряжение может превосходить 300 кг/мм^2 .

Контактные напряжения при статическом нагружении не могут вызвать разрушения, а приводят лишь к возникновению местных пластических деформаций. Однако при повторном действии нагрузок в зоне контакта может появиться трещина, которая, постепенно проникая в глубь

проволок несущего троса, может привести к их разрушению.

В данной работе рассмотрены вопросы влияния стрелы провеса на величину продольной силы в несущем тросе, максимальное значение которой достигается в точке крепления несущего троса. Определены аналитические зависимости для поперечных сил, возникающих в точке крепления несущего троса в седло, приводящие к упругим деформациям отдельных проволок и обрыву несущего троса. ■

Литература

1. Ефимов А. В., Галкин А. Г. Надежность и диагностика системы электроснабжения железных дорог. М.: УМК МПС России, 2000. 511 с.
2. Марквардт К. Г., Власов И. И. Контактная сеть. М.: Транспорт, 1977. 271 с.
3. Филин А. П. Прикладная механика твердого деформируемого тела. Т1. М.: Наука. 1975. 856 с.

References

1. Efimov A. V., Galkin A. G. Nadezhnost i diagnostika sistemy elektrosnabzheniya zheleznykh dorog [Reliability and diagnostics of railway power supply system]. М.: УМК МПС России, 2000. 511 s.
2. Markvardt K. G., Vlasov I. I. Kontaktnaja set [Contact wire]. М.: Transport, 1977. 271 s.
3. Filin A. P. Prikladnaya mekhanika tverdogo deformiruемого tela [Applied mechanics of deformable rigid body]. Т1. М.: Nauka. 1975. 856 s.

Статья сдана в редакцию 15 ноября 2011 года

А. Р. Исламов

Имитационное моделирование движения поезда по сопряженным элементам продольного профиля

A. R. Islamov

Simulation modeling of train movement on longitudinal grade transform

Аннотация

Предложено применение имитационного моделирования движения подвижного состава по сопряженным элементам продольного профиля для нахождения оптимальных значений параметров перелома профиля посредством определения сил в межвагонном соединении. Компьютерное моделирование позволяет с учетом конкретной ситуации получить экономически выгодные решения, спрогнозировать поведение самого проектируемого объекта в будущем, что, в свою очередь, облегчает процесс нахождения необходимых решений.

Задача определения сил в межвагонном соединении сводится к решению многоуровневых дифференциальных уравнений при помощи компьютерного моделирования. Задача рассмотрена с учетом изменения существующих норм проектирования железных дорог.

Ключевые слова:

перелом продольного профиля; длина элемента профиля; усилия в автосцепке; скорость движения поезда; радиус вертикальной кривой; уклон.

Abstract

In the article the application of simulation modeling of rolling stock movement on longitudinal grade transform for finding best values of gradient change parameters by defining forces in car-to-car joining is offered. Computer simulation allows to get profitable solutions taking into account concrete situations, to forecast the behavior of projected object in future, which in its turn makes the process of finding solutions easier.

The task of defining forces in car-to-car joining comes to solving differential equations with the help of computer simulation. The task is studied subject to changes of existing norms of railways projecting.

Kew words:

change of longitudinal grade; length of grade element; efforts in automatic coupling; train speed; radius of vertical curve; slope.

Движение подвижного состава через перелом продольного профиля служит типичным примером переходного режима ведения поезда, при котором усилия в автосцепке имеют наибольшее по модулю значения [1].

Именно усилия, возникающие в автосцепных устройствах, из условия:

$$S \leq |N|, \quad (1)$$

где S — усилия в автосцепке; $|N|$ — допустимое усилие, стали решающим фактором для определения максимальных (минимальных) и рекомендуемых величин разности уклонов (Δl) и длин элементов профиля (l), которые являются основными параметрами существующих норм, используемых при проектировании или реконструкции переломов продольного профиля железнодорожной линии [2, 3].

Исследованиями переходных режимов движения поездов и определений усилий в автосцепках занимались многие ученые. В частности, Н. Е. Жуковский указал, что если не принимать во внимание сопротивления относительным перемещениям

экипажей, то при определении усилий в автосцепке поезд можно рассматривать либо как упругий стержень (состав) с грузом на одном из концов (локомотив), либо как систему твердых тел, соединенных между собой упругими связями [4]. М. М. Протодьяконов рассматривал поезд как однородную упругую нить (стержень), при этом он показал, что на максимальную величину перелома продольного профиля влияют масса поезда, его скорость и режим ведения [5]:

$$\Delta i = \frac{[N]}{K(P+Q)}, \quad (2)$$

где $[N]$ — допустимое усилие на автосцепку; $(P+Q)$ — вес поезда; K — коэффициент одновременности действия усилий

$$K = \int \left(\frac{V}{C} \right), \quad (3)$$

где V — скорость поезда, м/с; C — скорость распространения упругой волны в поезде ($C \approx 85$ м/с).

В исследованиях академика В. А. Лазаряна и Е. П. Блохина изначально были предложены расчетные схемы поезда в виде стержня с упругими несовершенствами* (состав) с грузами на концах (тяну-

щий и толкающий локомотивы) либо в виде системы твердых тел, соединенных элементами с упругими несовершенствами. В случае неоднородных поездов, составленных из разнотипных и различно нагруженных вагонов, расчетная схема принималась в виде системы стержней с упругими несовершенствами или системы твердых тел, имеющих различные массы [1]. Пользуясь приведенными схемами, ученые в своих исследованиях провели ряд аналитических расчетов, которые были подтверждены результатами экспериментов (рис. 1 [6]).

На рис. 1 изображены осциллограммы продольных усилий (линии 2–7) в различных сечениях однородного поезда, состоящего из 35 груженых четырехосных полувагонов, сила тяги (линия 1) поезда.

В аналитических расчетах переходных режимов движения поездов исследователи столкнулись с проблемой громоздких вычислений. Для решения этой проблемы В. А. Лазарян, Е. П. Блохин применили аналоговое моделирование, а для вычисления более сложных задач использовалась ЭЦВМ [7].

В качестве расчетной схемы поезда была выбрана одномерная цепочка твердых тел, соединенных

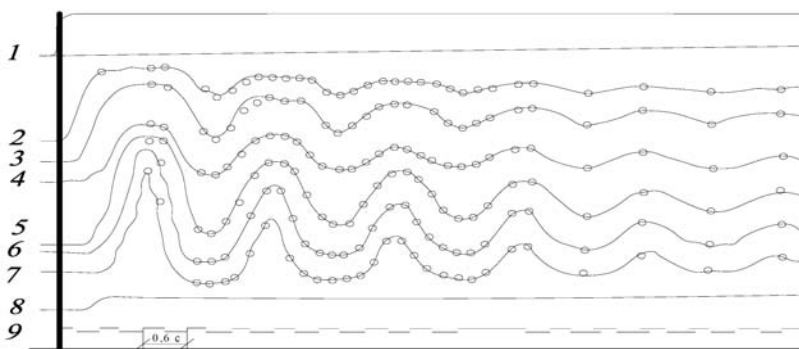


Рис. 1. Сопоставление результатов опыта по троганию предварительно растянутого поезда (осциллограммы) и результатов расчета (кружки)

*Упругие несовершенства — упруго-фрикционные амортизаторы, различно работающие на сжатие и растяжение.

существенно нелинейными деформируемыми элементами. При этом математической моделью выступало дифференциальное уравнение движения поезда:

$$\begin{cases} v_2' = \frac{S_i - S_{i+1} + F_i}{m_i} \\ x_1' = v_1 \\ q_i' = v_{i-1} - v_i \end{cases} \quad (i = 1, 2, \dots), \quad (4)$$

где $v_i = x_i'$ — абсолютная скорость i -го экипажа; S_i, S_{i+1} — силы, действующие на i -е тело, зависят от характеристик деформируемых элементов (межвагонных соединений); F_i — силы, зависящие от режима движения цепочки (поезда); m_i — масса экипажа; x_i — Лагранжева координата центра масс i -го тела (экипажа); $q_i = (x_{i-1} - x_i)$ — относительное перемещение центров масс двух соседних экипажей.

В общем случае внешние силы, действующие на локомотивы (F_i^*) и вагоны (F_i^{**}), представлены в виде

$$F_i^* = P_i + W_i + B_i + F_i, \quad (5)$$

$$F_i^{**} = P_i + W_i + B_i, \quad (6)$$

где P_i — составляющая силы тяжести i -го экипажа; W_i — сила основного сопротивления поступательному движению i -го экипажа; B_i — сила, тормозящая i -й экипаж; F_i — сила тяги локомотива, изменяющаяся в зависимости от скорости движения согласно его тяговой характеристике.

Исследования академика В. А. Лазаряна и Е. П. Блохина вошли в основу норм проектирования продольного профиля железных дорог, используемых и на сегодняшний день. Их опыты выполнены аналитически на ЭЦВМ и практически подтверждены в натуре, в нормах они носят обязательный характер, но рассчитаны на усредненные проектные условия. При этом соблюдение существующих

норм проектирования в ряде случаев приводит к большим запасам, что делает проект более дорогим.

В соответствии с нормами проектирования [2], если $\Delta i \geq 2-5,2^{0/00}$, то смежные элементы профиля в вертикальной плоскости сопрягаются кривой, радиус которой зависит от максимально допустимой скорости поезда для данной категории железной дороги. При этом поезд движется не по элементам с переломом Δi , а по вертикальной кривой, описываемой многоугольником со стороны l . В результате геометрия продольного профиля в местах его перелома: прямолинейный профиль, если l не менее сотни метров; криволинейный профиль, если l — десятки метров ($\min l = 25$ м, зависит от длины рельса).

Радиус вертикальной кривой (R_b) находим из выражения

$$a_b = \frac{V^2}{R_b}, \quad (7)$$

при допустимых условиях плавности движения поезда [a_b] $\leq 0,1-0,4$ м/с²:

$$R_b = \frac{V^2}{[a_b]}, \quad (8)$$

где a_b — центробежное ускорение, возникающее при движении в вертикальной кривой.

Из выражения (8), R_b необходимо задавать в зависимости от скорости движения, $f(V)$, то есть его можно принимать при проектировании не по нормам, а по расчетам. Это говорит о том, что на переломах продольного профиля проектируемой линии можно и нужно принимать необходимые решения по расчетам, варьируя параметры $\Delta i, l$ и R_b , с учетом критериев плавности

$$\frac{da_b}{dt} \leq \left[\frac{da_b}{dt} \right], \quad \frac{da_{ab}}{dt} \leq \left[\frac{da_{ab}}{dt} \right],$$

где $a_{ав}$ — ускорение в автосцепке и безопасности $S \leq [N]$ или $a_{ав} \leq [a_{ав}]$ движения поезда.

То есть важна не только сила, но и её изменение [8].

Учитывая вышесказанное, необходимо исследовать силы в межвагонном пространстве при движении поезда по вертикальной кривой.

С развитием компьютерных технологий появилась возможность моделировать движение поезда по запроектированному профилю и плану в программных комплексах, не прибегая к сложным и громоздким расчетам вручную.

Среди множества компьютерных продуктов, предназначенных для моделирования динамики, кинематики плоских и пространственных механических систем, а также приспособленных к моделированию движения подвижного состава, в России можно выделить программный комплекс «Универсальный механизм» (УМ), разработанный Брянским государственным техническим университетом (руководитель — проф. Д. Ю. Погорелов) [9].

Программный комплекс «Универсальный механизм» предназначен для автоматизации процесса исследования механических объектов, которые могут быть представлены системой абсолютно твердых тел, связанных посредством кинематических и силовых элементов. Механическая

система может быть как плоской, так и пространственной. Практически отсутствуют ограничения на количество тел в системе.

С помощью программного комплекса УМ нами промоделировано движение поезда по участкам с различными (рекомендуемыми, допустимыми по СТН Ц 01–95, а также отличными от норм) переломами продольного профиля с определением сил в межвагонном соединении.

В одном из расчетов был принят поезд, состоящий из 32 вагонов массой по 90 т, длиной по 14,73 м, и локомотива 2 ВЛ-11, движущийся на скоростях определенных по тяговым расчетам. Результаты сил в межвагонных соединениях при проходе заданных участков представлены в виде таблиц (таблица 1) и графиков (рис. 2).

Анализ полученных результатов испытаний показывает:

- на всех участках продольного профиля с переломами, отличными от нормативных по СТН Ц 01–95, силы, действующие на автосцепку при движении поезда по вертикальной кривой, не превышают допустимых (≈ 1300 кН) независимо от величин перелома продольного профиля;
- при увеличении перелома профиля на «горбе» (рис. 3) и движении поезда (с одинаковыми начальными условиями) по вертикальной

Таблица 1

Время хода, с	Пройденное расстояние, м	Сила в межвагонном соединении №, кН										
		1	2	3	4	28	29	30	31	32
0	0	0	0	0	0	0	0	0	0	0
1	17	-0,266	-0,033	-0,006	-0,001	0	0	0	0	0
2	34	-1,139	-0,104	0,209	0,044	0	0	0	0	0
3	51	-27,690	0,521	-0,910	0,414	0	0	0	0	0
...
...
121	2411	-271,8	-263,1	-254,8	-246,0	-42,2	-34,0	-25,5	-17,2	-8,5
122	2430	-222,7	-215,3	-208,0	-200,7	-34,6	-28,0	-21,1	-14,3	-7,2
123	2450	-180,8	-174,8	-168,9	-162,9	-27,6	-22,3	-16,7	-11,4	-5,7

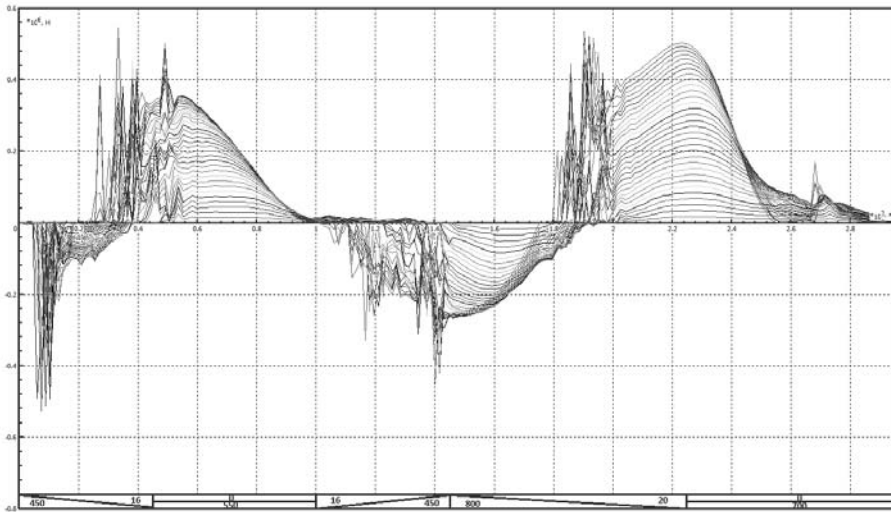


Рис. 2. График изменения сил в межвагонных соединениях при движении поезда по переломам продольного профиля на заданном участке (с отступлением от норм)

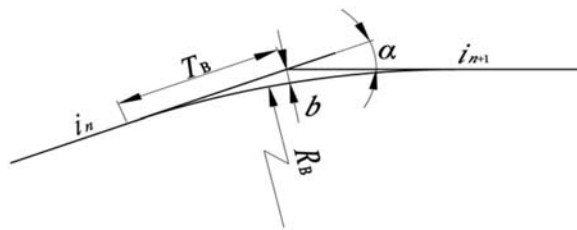


Рис. 3. Смежные элементы профиля с уклонами i_n и i_{n+1}
 T_v — тангенс вертикальной кривой; α — угол поворота;
 b — биссектриса вертикальной кривой

- кривой, происходит уменьшение растягивающих сил в автосцепных устройствах;
- при увеличении перелома профиля в «яме» и движении поезда (с одинаковыми начальными условиями) по вертикальной кривой происходит уменьшение сжимающих сил в автосцепных устройствах;
- с увеличением перелома профиля скорость поезда на выходе остается больше, чем при меньших переломах. При больших переломах поезд раньше начинает входить в вертикальную кривую и преодолевает меньшие высоты.

Вывод: применение увеличенных переломов, рассчитанных посредством имитационного моделирования, не исключается, а следовательно, требования допустимых норм Δi и l при проектировании профиля не могут считаться обязательными.

Для проектируемой (реконструируемой) железнодорожной линии с учетом конкретной ситуации должны быть созданы свои нормы. При этом компьютерное моделирование движения подвижного состава поможет не только получить экономически более выгодные решения, но и спрогнозировать поведение самого проектируемого объекта в будущем. ■

Литература

1. Лазарян В. А., Блохин Е. П. О математическом моделировании движения поезда по переломам продольного профиля пути: сб. науч. тр. / Моск. ин-т инж. ж.-д. трансп. М.: 1974. С. 83–123.
2. СТН Ц 01–95. Железные дороги колеи 1520 мм. М.: МПС, 1995.
3. СНиП 32-01–95. Железные дороги колеи 1520 мм. М., 1995.
4. Жуковский Н. Е. Теория упругости. Железные дороги. Автомобили / Под ред. А. П. Котельникова: ПСС в 16 т. М. Л.: ОНТИ НКТП СССР, Гл. ред. авиац. лит., 1937. Т. VIII. С. 256–270.
5. Протодяконов М. М. Проектирование продольного профиля железных дорог при электрической, тепловозной и паровой тяге с автосцепкой. М.: Трансжелдориздат, 1957.
6. Лазарян В. А., Блохин Е. П., Манашкин Л. А., Бадикова Л. С. Интегральная оценка поведения связей в поезде и определение их параметров по результатам натуральных испытаний: сб. науч. тр. / Днепропетровский ин-т инж. ж.-д. трансп. М.: Транспорт, 1971. С. 3–17.
7. Лазарян В. А., Блохин Е. П., Белик Л. В. Применение ЭЦВМ к исследованию переходных режимов движения поездов: сб. науч. тр. / Днепропетровский ин-т инж. ж.-д. трансп. М.: Транспорт, 1970. С. 83–123.
8. Аккерман Г. Л., Аккерман С. Г. Требования к величинам переломов профиля. Путь и железнодорожное строительство: сб. науч. тр. Екатеринбург: Изд-во УрГУПС, 2008. С. 5–8.
9. Универсальный механизм: официальный сайт программного продукта «УМ». URL: <http://www.umlub.ru> (дата обращения: 11.09.2011).

References

1. Lazarjan V. A., Blokhin E. P. O matematicheskom modelirovanii dvizhenija poezda po perelomam prodolnogo profilja puti [About mathematical modeling of train movement on breaks of track longitudinal grades]: sb. nauch. tr. / Mosk. in-t inzh. zh.-d. transp. M.: 1974. S. 83–123.
2. STN C 01–95. Zheleznye dorogi kolei 1520 mm. [Railways of 1520 mm track] M.: MPS, СНиП 32-01–95. Железные дороги колеи 1520 мм. М., 1995.
3. SNiP 32-01–95. Zheleznye dorogi kolei 1520 mm. [Railways of 1520 mm track] M., 1995.
4. Zhukovskij N. E. Sobranie sochinenij. [Collected works] T. VIII. M.-L.: ONTI, 1937. S. 256–270.
5. Protodjakonov M. M. Proektirovanie prodolnogo profilja zheleznykh dorog pri elektricheskoi, teplovoznnoj i parovoi tjage s avtostsepkoi. [Railway longitudinal grade designing by electrical, diesel and steam traction with automatic coupling] M.: Transzheldorizdat, 1957.
6. Lazarjan V. A., Blokhin E. P., Manashkin L. A., Badikova L. S. Integralnaja otsenka povedenija svjazej v poezde i opredelenie ikh parametrov po rezultatam naturalnykh ispytanij [Integral estimate of communication installation in trains and identification of their parameters by natural testing results]: sb. nauch. tr. / Dnepropetrovskij in-t inzh. zh.-d. transp. M.: Transport, 1971.
7. Lazarjan V. A., Blokhin E. P., Belik L. V. Primenenie ECVM k issledovaniju perekodnykh rezhimov dvizhenija poezdov [Use of electronic digital computers when making research on transient modes of trains movement] sb. nauch. tr. / Dnepropetrovskij in-t inzh. zh.-d. transp. M.: Transport, 1970. S. 83–123.
8. Akkerman G. L., Akkerman S. G. Trebovanija k velichinam perelomov profilja//Put i zheleznodorozhnoe stroitelstvo [Requirements to values of breaks in grades]: sb. nauch. tr. Ekaterinburg: Izd-vo UrGUPS, 2008. S. 5–8.
9. Universalnyj mekhanizm: ofitsialnyj sajt programmno go produkta «UM». [Universal mechanisms: official web-site of software product 'UM'] URL: <http://www.umlub.ru> (data obrashchenija: 11.09.2011).

Статья сдана в редакцию 18 ноября 2011 года

Уважаемые коллеги!

Информирую вас о требованиях, предъявляемых к оформлению статей.

При наборе используйте Word-2003 или Word-2007; шрифт (по всему тексту, в том числе в рисунках и таблицах) — тип Times, размер шрифта — 14, межстрочное расстояние — 1,5, абзацный отступ — 1,25 (1,27) см, поля — 2 см; расстановка переносов по всему тексту — автоматическая.

Набор формул: простые формулы и сочетания символов ($x^2 < y^2$; $E = mc^2$; $a^2 + b^2 = c^2$; Q_{i-1} ; ψ_j) — только в текстовом режиме, сложные

$$\left(s^2 = \frac{1}{n-1} \left[\sum_{j=1}^e x_j^2 n_j - \frac{1}{n} \left(\sum_{j=1}^e x_j n_j \right)^2 \right] \right); \left(\frac{\sigma_a}{[n]} \right)$$

или S_i^m) — только в редакторе формул (встроен в Word).

Написание букв: русские (а, б, в, А, Б, В), греческие (Θ, Σ, Ω, Ψ, α, β, δ, ε, λ, π), а также цифры и функции (1, 2, 3; I, II, III; max, lg, sin и т.п.) пишутся только прямо; латинские (a, b, n, A, B, N и т.д.) — только курсивом. Исключение — курсив во вспомогательном тексте (слова «Таблица» и «Рис.», примечания в рисунках и ссылки в тексте на эти примечания).

Оформление текста: левый верхний край — инициалы, фамилия; заголовков — все буквы ПРОПИСНЫЕ, жирные, расположение — по центру набора; таблиц и рисунков: в таблицах размер шрифта — на полтора-два размера меньше, чем в основном тексте (11,5–12), расположение текста в «шапке» таблицы — по центру, в столбцах — по ширине; межстрочное расстояние — 1; слово «Таблица» — курсивное начертание, в правый край таблицы; название таблицы — начертание нормальное (прямое), расположение — по центру таблицы. В рисунках (графи-

ках, диаграммах): размер подрисуночной подписи — 14, расположение — по центру набора, слово «Рис.» — курсив, название рисунка — нормальное начертание, описание рисунка (экспликация) — нормальное начертание, условные обозначения — курсивное начертание, их расшифровка — нормальное. Расположение таблиц и рисунков — строго после ссылки на них.

Кроме того, рисунки обязательно прилагаются к материалу (один рисунок — один файл; формат — *.jpg).

Ссылки на литературу в тексте пишутся в квадратных скобках ([1], [1, 2] или [3–5]); нумерация сквозная. Список литературы/источников оформляется по ГОСТ 7.0.5–2008.

В конце статьи обязательно ставится дата отсылки материала в редакцию.

Объем статьи — не более 14-ти страниц.

Название файла: Фамилия. Первое слово заголовка. Многоточие. Последнее слово заголовка (Сидоров. Синтез... электроприводом).

К материалу (статье) обязательно прилагаются (отдельным файлом): УДК, сведения об авторе, аннотация, ключевые слова (название файла: УДК 000. Сидоров. Синтез... электроприводом).

Материалы для очередного номера журнала «Вестник УрГУПС» принимаются до 30 числа первого месяца квартала (до 30-го января, 30-го апреля, до 30-го июля, до 30-го октября). Материалы, поступившие в редакцию после 30-го числа, будут опубликованы только в следующем номере.

Успешной работы!

*Л. Барышникова,
литературный и выпускающий
редактор журнала «Вестник УрГУПС»*



ИЗДАТЕЛЬСТВО УрГУПС

Предоставляет весь спектр
редакционно-издательских услуг

ДОПЕЧАТНАЯ ПОДГОТОВКА

- Редактирование текстов любой сложности
- Рецензирование
(с привлечением опытных рецензентов,
имеющих научную степень в соответствующей области науки)
- Корректурa
- Дизайн и верстка
- Препресс
(подготовка работы для сдачи в типографию)
- Сдача файлов и контроль прохождения
работы в типографии

ПЕЧАТНЫЕ, ПЕРЕПЛЕТНЫЕ РАБОТЫ

- Оперативная полноцветная, одноцветная
и многоцветная печать на цифровом оборудовании
- Широкоформатная печать на плоттере
- Несколько видов переплета
- Ламинирование

ВСЕГДА В ПРОДАЖЕ

- Научная и учебно-методическая литература,
выпущенная в издательстве УрГУПС.
Каталог литературы можно найти
на сайте университета (www.usurt.ru)
в разделе «Издательская деятельность»

По вопросам приобретения книг
и возможного сотрудничества обращаться:

620034, Екатеринбург, ул. Колмогорова, 66, главный учебный корпус, к. 193.

Телефон: (343) 221-24-90.

E-mail: AKoltyshev@rio.usurt.ru.

Сайт: www.usurt.ru.